

4852.17

LWÓWSKIE

CZASOPISMO LOTNICZE

Nr. 8. (ROK III. 1935. Nr. 2).

LWÓW, W GRUDNIU 1935.

**Laboratorium
Aerodynamiczne**

Politechniki Lwowskiej
we Lwowie, ul. Leona Sapiehy I. 12

**przeprowadza pomiary i ba-
dania aerodynamiczne na mo-
delach lotniczych dla kon-
struktorów i wytwórni.**



LWOWSKIE

CZASOPISMO LOTNICZE

ORGAN

LABORATORJUM AERODYNAMICZNEGO POLITECHNIKI LWOWSKIEJ I INSTYTUTU TECHNIKI SZYBOWNICTWA

DODATEK DO „CZASOPISMA TECHNICZNEGO“

KOMITET REDAKCYJNY:

Prof. Inż. STANISŁAW ŁUKASIEWICZ
Naczelný Kierownik I. T. S.Dr. Inż. ZYGMUNT FUCHS
Kierownik Lab. Aerođ. Politechniki Lw.

REDAKTOR NACZELNY I ODPOWIEDZIALNY: Dr. Inż. ZYGMUNT FUCHS

BIULETYN LABORATORJUM AERODYNAMICZNEGO

Dr. Inż. ZYGMUNT FUCHS

Wyniki badań aerodynamicznych płatowca „Pou du Ciel“.

Résultats des essais aérodynamiques de l'avion „Pou - du - Ciel“.

La grande popularité de l'avion „Pou-du-Ciel“ construit par H. Mignet a décidé le Laboratoire Aérodynamique de l'École Polytechnique de Lwów à effectuer des essais en soufflerie d'une maquette de cet avion à la balance à six composantes. La maquette était exécutée sans moteur, dans l'écule 1:10, la partie avant du fuselage étant quelque peu arrondie, différente de l'original, et la cabine du pilote étant close. Les figures et tableaux ci-joints représentent les résultats des mesures. On a fait les calculs pour trois positions différentes du centre de gravité afin de démontrer l'influence de la position du centre de gravité sur la stabilité longitudinale de l'avion. On a constaté que l'avion est très instable pour la position du centre de gravité déterminée par les rapports $\frac{x_0}{l} = 0,489$, $\frac{y_0}{l} = 0,107$ (fig. 1).

Les conditions de la stabilité longitudinale s'améliorent au fur et à mesure qu'on déplace le centre de gravité vers l'avant, la coordonnée y_0 ne changeant pas. Pour les valeurs $\frac{x_0}{l} = 0,586$, $\frac{y_0}{l} = 0,107$ l'avion est déjà stable pour tous les angles de braquage de l'aile supérieure par rapport à l'aile inférieure β essayés. Les fig. 2/8 représentent „l'efficacité statique de l'empennage horizontal“. L'avion possède de stabilité de route ($C_m G_k = f(\alpha_k)$) fig. 2/9, 2/10) et le moment de roulis ($M G_k$) par rapport à un axe horizontal situé dans le plan de symétrie et passant par le centre de gravité incline automatiquement l'avion pour virer, à peu près indépendamment de la grandeur du braquage du gouvernail de direction β_k .

Popularność płatowca „Pou du Ciel“, konstrukcji H. Mignet'a, skłania nas do podania szczegółowych wyników badań aerodynamicznych, przeprowadzonych w Laboratorium Aerodynamicznym Politechniki Lwowskiej¹⁾. Badania przeprowadzono na modelu w skali 1:10

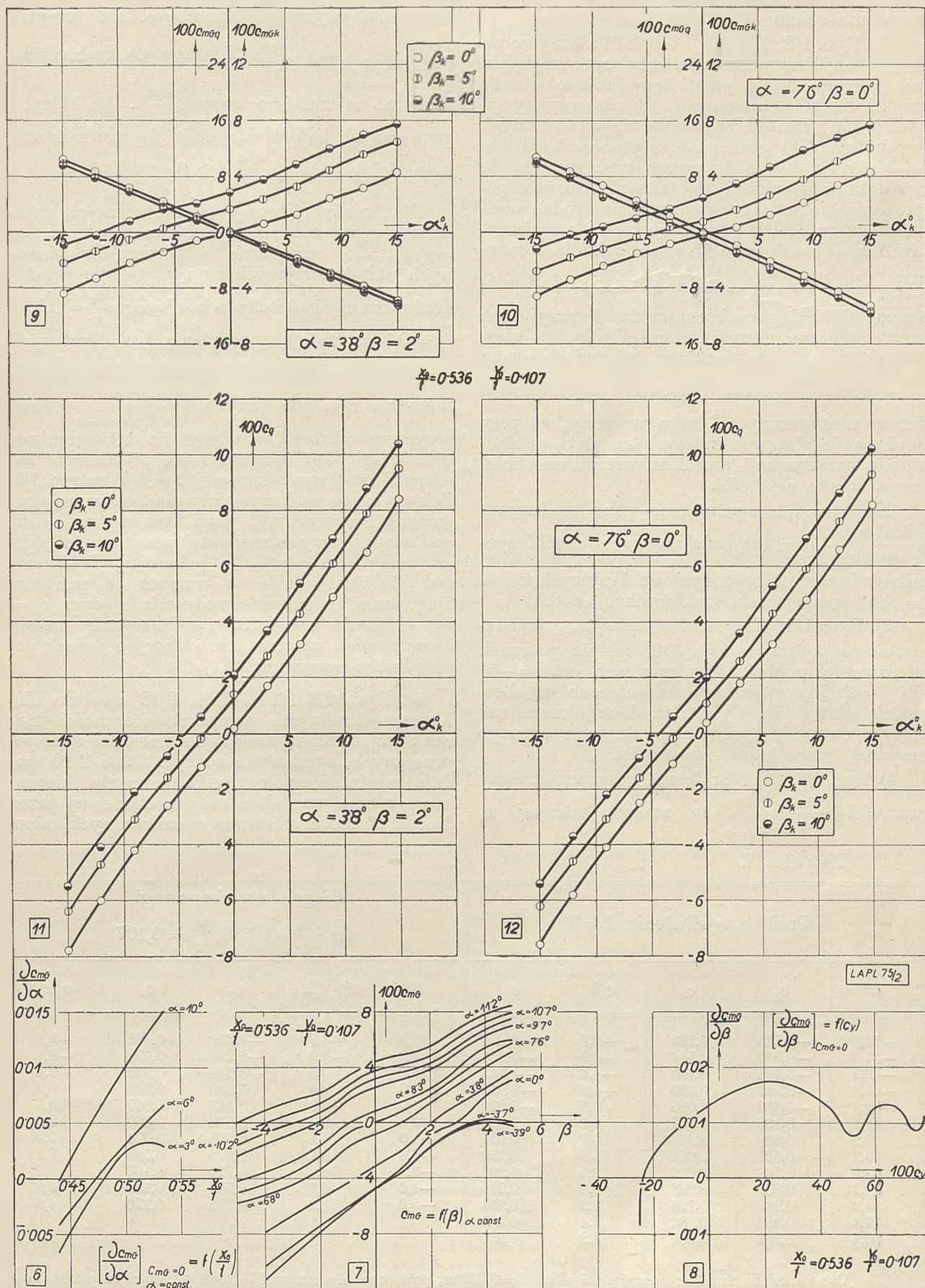
wykonanym na podstawie danych zamieszczonych w publikacji Henri Mignet'a: „Le Sport de l'Air“, Paris, 1934, jednak bez silnika i ze zmienionym nieco przodem kadłuba przez jego zaokrąglenie. Poza tym zakryto kabinę pilota (ryc. 1). W pierwszym rzędzie chodziło bowiem o zbadanie samego układu jako takiego.

Pomiary wykonano na wadze aerodynamicznej o sześciu składowych. Kąt natarcia α mierzony był na płacie dolnym. Sklinowanie płata górnego względem dolnego przyjęto jako kąt β , odpowiadający wychyleniu steru poziomego. Poza tym jako organ sterujący posiada model tylko ster kierunkowy, którego wychylenia oznaczono przez β_k . Znaki kątów i momentów określone są na ryc. 1. Wszystkie współczynniki odniesione są do powierzchni $F=0,1188 \text{ m}^2$, będącej sumą największych rzutów obu płatów i do ciśnienia prędkości $q=49 \text{ kg/m}^2$, a poza tym współczynniki momentów do największej głębokości jednego płata $l=0,140 \text{ m}$.

Wyniki pomiarów przedstawiają następujące wykresy na ryc. 1 i 2, tudzież tabele I, II i III:

1). Ryc. 1/1 i tabela I: Biegunowa profilu, biegunowa płatowca dla $\beta=0^\circ$, biegunowa równowagi dla położenia środka ciężkości o współrzędnych $x_0=75 \text{ mm}$, $y_0=15 \text{ mm}$, odniesionych do krawędzi natarcia płata dolnego, tudzież krzywa doskonałości dla płatowca przy $\beta=0^\circ$. Z biegunowej równowagi wynika, że $c_{y \max} = 0,775$, $\left(\frac{c_y}{c_x}\right)_{\text{opt}} = 9,4$, które to wartości są oczywiście dalekie od doskonałości. Na uwagę za-

¹⁾ Wyciąg z tych badań opublikowano w *Skrzydlatęj Polsce* Nr. 7, 1935, str. 181–182.



Ryc. 2.

Wykresy dla modelu płatowca „Pou du Ciel”, przedstawiające wyniki pomiarów aerodynamicznych, służące do oceny wyczynów, stateczności i sterowności płatowca w locie.

sługuje stosunkowo płaski przebieg biegunowych dla stanów w pobliżu $c_y \max$.

2). Ryc. 1/2, 1/3, 1/4 i tabela II: Krzywe zależności współczynnika momentu c_{mG} względem osi przechodzącej przez trzy różne obrane środki ciężkości prostopadłe do płaszczyzny symetrii płatowca od kąta natarcia α dla różnych wychyleń płata górnego β w granicach od $\beta = -5^\circ$ do $\beta = 5^\circ$. Z krzywych tych wynika, że warunki stateczności podłużnej płatowca poprawiają się w miarę przesuwania środka ciężkości naprzód. Dla środka ciężkości o współrzędnych $x_0 = 75 \text{ mm}$, $y_0 = 15 \text{ mm}$, czyli dla stosunków $\frac{x_0}{t} = 0,536$, $\frac{y_0}{t} = 0,107$ płatowiec jest stateczny dla całego zakresu kątów β przyjętych przy pomiarze. Przy przesunięciu środka ciężkości w tył do punktu odpowiadającemu $\frac{x_0}{t} = 0,439$, $\frac{y_0}{t} = 0,107$ płatowiec staje się wybitnie niestateczny. Z tego widzimy, że przy wykonaniu płatowca należy z należytą dokładnością przestrzegać postulatu właściwego położenia środka ciężkości.

Na ryc. 1/4 wyznaczono ponadto krzywą $\left(\frac{\partial c_{mG}}{\partial \alpha}\right)_{c_{mG}=0} = f(\alpha)$, podającą wartości współczynników kątowych stycznych do krzywych $c_{mG} = f(\alpha)$ w miejscach, w których $c_{mG} = 0$.

3). Ryc. 1/5: Krzywa $\beta = f(\alpha)$ $c_{mG}=0$, wyznaczona na podstawie ryc. 1/4, spełnia warunek sterowności podłużnej w granicach od $\beta = -5^\circ$ do $\beta = 4^\circ$; kąty ujemne β ograniczone są obecnością głowy pilota pod skrzydłem górnym, zaś kąty dodatnie β (pochylenie skrzydła górnego naprzód) warunkiem sterowności.

4). Ryc. 2/6, 2/7, 2/8: Celem wykazania zmiany wartości $\left(\frac{\partial c_{mG}}{\partial \alpha}\right)_{c_{mG}=0}$ ze zmianą odciętej x_0

środką ciężkości przy stałych kątach natarcia ($\alpha = \text{const}$) wyznaczono na ryc. 2/6 krzywe $\left(\frac{\partial c_{mG}}{\partial \alpha}\right)_{c_{mG}=0} = f\left(\frac{x_0}{t}\right)$. Z krzywych tych można

odeczytać najmniejsze wartości $\frac{x_0}{t}$, dla których przy danych kątach α spełnia się warunek stateczności podłużnej $\frac{\partial c_{mG}}{\partial \alpha} > 0$.

Dla oceny „statycznej skuteczności usterezenia” wyznaczono na ryc. 2/7 zależności $c_{mG} = f(\beta)_{\alpha=\text{const}}$ otrzymane z przekrojów pionowych układu krzywych na ryc. 1/4 dla położenia środka ciężkości odpowiadającego $\frac{x_0}{t} = 0,536$, $\frac{y_0}{t} = 0,107$. Badając pochylenia tych krzywych w punktach odpowiadających $c_{mG} = 0$, wykreślono na ryc. 2/8 krzywą $\left(\frac{\partial c_{mG}}{\partial \beta}\right)_{c_{mG}=0} = f(c_y)$, przy czym wartości c_y odczytano z biegunowej równowagi; kąt α zmienia się przytem w zależności od β wedle krzywej $\beta = f(\alpha)$ na ryc. 1/5. Tak wyznaczona krzywa określa „statyczną skuteczność usterezenia”, czyli zmianę momentu podłużnego przy zamierzonej zmianie kąta „sklinowania” obu płatów o jednostkę. Widoczne jest, że skuteczność ta wzrasta od punktów biegunowej równowagi odpowiadającym $c_y = -0,25$ do $c_y = 0,20$, zaś następnie maleje i naprzemian wzrasta, nie osiągając jednak poprzedniego maximum.

5). Ryc. 2/9, 2/10, 2/11, 2/12 i tabela III: Krzywe określające warunki stateczności kierunkowej, tudzież wartości momentów i sił poprzecznych, a mianowicie: ryc. 2/9 i 2/10 podają zależność współczynnika momentu kierunkowego c_{mGk} względem osi przechodzącej przez środek ciężkości płatowca o współrzędnych, odpo-

Tabela I.

Profil o wydłużeniu $\lambda = 5$					Biegunowa równowagi dla $\frac{x_0}{t} = 0,536$, $\frac{y_0}{t} = 0,107$				
α^0	c_y	c_z	c_y/c_z	c_m	β^0	$\alpha^0_{c_{mG}=0}$	c_y	c_z	c_y/c_z
-14,3	-0,525	0,194	-2,7	-0,229	5,0	-3,7	-0,251	0,082	-3,1
-11,3	-0,509	0,144	-3,5	-0,203	4,0	-3,9	-0,238	0,077	-3,1
-8,4	-0,431	0,100	-4,3	-0,143	3,0	0,0	-0,015	0,035	-0,4
-5,6	-0,242	0,050	-4,9	-0,056	2,0	3,8	0,240	0,035	6,9
-2,8	-0,062	0,025	-2,5	-0,013	1,0	6,8	0,443	0,047	9,4
0,1	0,133	0,017	8,0	0,029	0,0	7,6	0,518	0,060	8,6
2,9	0,326	0,018	18,1	0,074	-1,0	8,3	0,535	0,074	7,9
5,7	0,574	0,034	16,8	0,152	-2,0	9,7	0,670	0,095	7,1
8,5	0,768	0,062	12,5	0,220	-3,0	10,2	0,717	0,107	6,7
11,4	0,837	0,088	9,5	0,235	-4,0	10,7	0,755	0,130	5,8
14,3	0,917	0,126	7,3	0,254	-5,0	11,2	0,775	0,170	4,6
17,3	0,988	0,182	5,4	0,280					
20,3	0,962	0,301	3,2	0,339					

Dane modelu profilu: Rozpiętość płata $b = 0,700 \text{ m}$, powierzchnia rzutu $F = 0,098 \text{ m}^2$, ciężciwa odniesienia $t = 0,140 \text{ m}$, ciśnienie prędkości $q = 56,25 \text{ kg/m}^2$

Dane modelu płatowca: Rozpiętość $b = 0,600 \text{ m}$, powierzchnia rzutu $F = 0,1188 \text{ m}^2$, ciężciwa odniesienia $t = 0,140 \text{ m}$, ciśnienie prędkości $q = 49 \text{ kg/m}^2$.

Kąty natarcia α^0 mierzono względem ciężciwy odniesienia płata dolnego.

Tabela II. Wyniki dla wyznaczenia biegunowej równowagi płatownca dla
środką ciężkości określonego przez $\frac{x_o}{t}=0,536$, $\frac{y_o}{t}=0,107$

$\beta = 5^\circ$					$\beta = 4^\circ$					$\beta = 3^\circ$				
α^0	c_y	c_x	c_y/c_x	c_{mG}	α^0	c_y	c_x	c_y/c_x	c_{mG}	α^0	c_y	c_x	c_y/c_x	c_{mG}
-5,4	-0,334	0,107	-3,1	-0,025	-5,5	-0,314	0,098	-3,2	-0,024	-5,5	-0,285	0,088	-3,2	-0,020
-2,6	-0,198	0,070	-2,8	0,012	-2,6	-0,174	0,063	-2,8	0,010	-2,7	-0,140	0,053	-2,6	-0,001
0,2	-0,042	0,043	-1,0	0,032	0,2	-0,016	0,039	-0,4	0,020	0,2	0,007	0,037	0,2	-0,002
3,1	0,110	0,033	3,3	0,034	3,0	0,132	0,034	3,9	0,024	3,0	0,158	0,033	4,8	0,011
5,9	0,268	0,037	7,2	0,048	5,9	0,284	0,037	7,7	0,032	5,8	0,323	0,039	8,3	0,021
8,7	0,425	0,048	8,9	0,060	8,7	0,463	0,049	9,4	0,059	8,6	0,491	0,052	9,4	0,041
11,5	0,600	0,069	8,7	0,087						11,5	0,654	0,077	8,5	0,072
14,3	0,760	0,098	7,8	0,134										
17,2	0,908	0,139	6,5	0,178										

$\beta = 2^\circ$					$\beta = 1^\circ$					$\beta = 0^\circ$				
α^0	c_y	c_x	c_y/c_x	c_{mG}	α^0	c_y	c_x	c_y/c_x	c_{mG}	α^0	c_y	c_x	c_y/c_x	c_{mG}
-5,5	-0,257	0,079	-3,3	-0,025	-5,6	-0,228	0,070	-3,3	-0,035	-5,6	-0,196	0,063	-3,1	-0,044
-2,7	-0,115	0,049	-2,3	-0,013	-2,7	-0,070	0,044	-1,6	-0,022	-2,7	-0,056	0,043	-1,3	-0,046
0,1	0,042	0,036	1,2	-0,007	0,1	0,068	0,035	1,9	-0,032	0,1	0,096	0,034	2,8	-0,045
3,0	0,197	0,034	5,8	-0,002	3,0	0,214	0,035	6,1	-0,025	2,9	0,251	0,037	6,8	-0,031
5,8	0,350	0,041	8,5	0,009	5,8	0,389	0,044	8,8	-0,006	5,7	0,415	0,047	8,8	-0,019
8,6	0,518	0,057	9,1	0,025	8,6	0,549	0,062	8,9	0,017	8,6	0,576	0,067	8,6	0,010
11,4	0,668	0,081	8,2	0,056	11,4	0,692	0,092	7,5	0,041	11,4	0,728	0,101	7,2	0,048
14,3	0,824	0,122	6,8	0,100	14,2	0,851	0,133	6,4	0,091	14,2	0,865	0,145	6,0	0,086
17,1	0,957	0,183	5,2	0,138	17,1	0,977	0,204	4,8	0,152	16,1	0,948	0,203	4,7	0,130
18,1	0,995	0,208	4,8	0,169	20,1	0,962	0,303	3,2	0,200	17,1	0,954	0,231	4,1	0,143
20,1	0,983	0,286	3,4	0,195						18,2	0,929	0,274	3,4	0,157

$\beta = -1^\circ$					$\beta = -2^\circ$					$\beta = -3^\circ$				
α^0	c_y	c_x	c_y/c_x	c_{mG}	α^0	c_y	c_x	c_y/c_x	c_{mG}	α^0	c_y	c_x	c_y/c_x	c_{mG}
5,7	0,449	0,052	8,6	-0,027	5,7	0,472	0,058	8,1	-0,043	5,6	0,486	0,062	7,8	-0,054
8,5	0,595	0,075	7,9	0,002	8,5	0,612	0,081	7,6	-0,016	8,5	0,621	0,086	7,2	-0,025
11,4	0,730	0,104	7,0	0,036	11,4	0,756	0,119	6,4	0,023	11,3	0,768	0,127	6,0	0,019
14,2	0,859	0,161	5,3	0,071	14,2	0,868	0,190	4,6	0,064	14,3	0,845	0,212	4,0	0,055

$\beta = -4^\circ$					$\beta = -5^\circ$				
α^0	c_y	c_x	c_y/c_x	c_{mG}	α^0	c_y	c_x	c_y/c_x	c_{mG}
-5,7	-0,075	0,055	-1,4	-0,111	5,6	0,507	0,067	7,6	-0,063
-2,9	0,058	0,046	1,3	-0,112	8,5	0,644	0,094	6,9	-0,037
0,0	0,205	0,043	4,8	-0,103	11,3	0,784	0,144	5,4	0,011
2,8	0,366	0,051	7,2	-0,089	14,3	0,812	0,243	3,3	0,070

α^0	c_y	c_x	c_y/c_x	c_{mG}	α^0	c_y	c_x	c_y/c_x	c_{mG}
5,6	0,537	0,075	7,2	-0,066	5,6	0,537	0,075	7,2	-0,066
8,4	0,674	0,107	6,3	-0,032	8,4	0,674	0,107	6,3	-0,032
11,3	0,777	0,173	4,5	0,001	11,3	0,777	0,173	4,5	0,001
14,3	0,800	0,263	3,0	0,073	14,3	0,800	0,263	3,0	0,073

Tabela III. Wyniki pomiarów służące do oceny stateczności kierunkowej i poprzecznej dla środka ciężkości określonego przez $\frac{x_0}{t}=0,536$, $\frac{y_0}{t}=0,107$

$\alpha=3,8^\circ \quad \beta=2^\circ$											
$\beta_k=0^\circ$				$\beta_k=5^\circ$				$\beta_k=10^\circ$			
α_k^0	c_q	$c_{m G k}$	$c_{m G q}$	α_k^0	c_q	$c_{m G k}$	$c_{m G q}$	α_k^0	c_q	$c_{m G k}$	$c_{m G q}$
-15	-0,078	-0,044	0,104	-15	-0,064	-0,022	0,099	-15	-0,055	-0,009	0,097
-12	-0,060	-0,033	0,086	-12	-0,047	-0,013	0,078	-12	-0,041	-0,002	0,079
-9	-0,042	-0,022	0,064	-9	-0,031	-0,005	0,059	-9	-0,021	0,008	0,059
-6	-0,026	-0,014	0,044	-6	-0,016	0,003	0,038	-6	-0,008	0,017	0,036
-3	-0,012	-0,006	0,022	-3	-0,002	0,009	0,019	-3	0,006	0,021	0,017
0	0,002	0,000	0,001	0	0,014	0,017	-0,002	0	0,021	0,029	-0,008
3	0,017	0,006	-0,020	3	0,028	0,024	-0,022	3	0,037	0,038	-0,023
6	0,032	0,013	-0,037	6	0,043	0,033	-0,041	6	0,054	0,049	-0,044
9	0,049	0,025	-0,058	9	0,061	0,045	-0,060	9	0,070	0,060	-0,064
12	0,065	0,032	-0,076	12	0,079	0,056	-0,082	12	0,088	0,070	-0,084
15	0,084	0,043	-0,098	15	0,095	0,065	-0,103	15	0,104	0,077	-0,101

$\alpha=7,6^\circ \quad \beta=0^\circ$											
$\beta_k=0^\circ$				$\beta_k=5^\circ$				$\beta_k=10^\circ$			
α_k^0	c_q	$c_{m G k}$	$c_{m G q}$	α_k^0	c_q	$c_{m G k}$	$c_{m G q}$	α_k^0	c_q	$c_{m G k}$	$c_{m G q}$
-15	-0,076	-0,046	0,107	-15	-0,062	-0,028	0,101	-15	-0,054	-0,012	0,099
-12	-0,058	-0,034	0,087	-12	-0,046	-0,018	0,078	-12	-0,037	-0,002	0,079
-9	-0,041	-0,024	0,067	-9	-0,031	-0,012	0,052	-9	-0,022	0,004	0,060
-6	-0,025	-0,015	0,046	-6	-0,016	-0,003	0,036	-6	-0,009	0,010	0,039
-3	-0,011	-0,008	0,024	-3	-0,002	0,004	0,015	-3	0,006	0,017	0,014
0	0,004	-0,001	0,002	0	0,011	0,008	-0,001	0	0,020	0,025	-0,008
3	0,018	0,004	-0,018	3	0,026	0,016	-0,028	3	0,036	0,035	-0,029
6	0,032	0,013	-0,041	6	0,043	0,027	-0,049	6	0,053	0,047	-0,053
9	0,048	0,022	-0,062	9	0,059	0,038	-0,072	9	0,070	0,059	-0,071
12	0,066	0,034	-0,085	12	0,076	0,051	-0,094	12	0,086	0,068	-0,093
15	0,084	0,043	-0,105	15	0,093	0,060	-0,113	15	0,102	0,077	-0,116

wiadających stosunkom $\frac{x_0}{t}=0,536$, $\frac{y_0}{t}=0,107$,

w płaszczyźnie symetrii prostopadle do kierunku strugi powietrza od kąta kierunkowego α_k przy różnych wychyleniach steru kierunkowego β_k dla kąta natarcia $\alpha=3,8^\circ$ przy $\beta=2^\circ$, tudzież dla położenia płatowca w pobliżu $c_{y \max}$ przy $\alpha=7,6^\circ$ i $\beta=0^\circ$; oba te położenia płatowca odpowiadają punktom biegunowej równowagi na ryc. 1/1. Wykresy te wykazują, że płatowiec jest stateczny kierunkowo dla całego zakresu przyjętych przy pomiarze kątów, gdyż $\frac{\partial c_{m G k}}{\partial \alpha_k} > 0$.

Na tych samych rycinach podano też zależność współczynnika momentu poprzecznego $c_{m G q}$ względem osi przechodzącej poziomo w płaszczyźnie symetrii przez środek ciężkości od kąta kierunkowego α_k przy różnych wychyleniach β_k steru kierunkowego dla podanych położen równowagi. Widoczne jest, że wartości $c_{m G q}$ dla różnych β_k różnią się nieznacznie pomiędzy sobą, czyli wpływ kąta β_k jest mały. Ujemnym kątom kierunkowym odpowiadają dodatnie momenty poprzeczne, czyli przy skręceniu płatowca na prawo pochyla się płatowiec w ten sposób, że lewa część skrzydła przesuwa się ku

górze, zaś prawa dół. Jeżeli zwrócimy uwagę na stany równowagi ($c_{m G k}=0$) przy różnych położeniach steru kierunkowego, widzimy, że płatowiec układa się z powodu momentu poprzecznego do skrętu. Jeśli wskutek działania pewnej przyczyny płatowiec wykona skręt (α_k) ze stanu równowagi, to równocześnie przechylą się dokoła osi momentu poprzecznego; wskutek działania jednak momentu kierunkowego będzie dążył do powrotu do stanu równowagi, przy czem równocześnie będzie malała wielkość momentu poprzecznego.

Ryc. 2/11 i 2/12 przedstawiają zależność współczynnika siły poprzecznej c_q od kąta kierunkowego α_k przy różnych wartościach β_k dla kątów natarcia α i wychylenia górnego skrzydła β , odpowiadających określonym powyżej stanom równowagi. Wzrastającym wartościom α_k odpowiadają większe wartości współczynnika c_q . Ponieważ przy skręceniu płatowca o kąt α_k poza położenie równowagi pojawia się moment kierunkowy, sprowadzający płatowiec do poprzedniego położenia, przeto równocześnie zanika przyrost siły poprzecznej, wywołany dodatkowym obrotem o kąt α_k . Wzrastającym wartościom kąta β_k odpowiadają wzrastające wartości c_q przy równych zresztą warunkach.

Pomiary szybowców na wadze aerodynamicznej o sześciu składowych.

CZĘŚĆ II.

Szybowiec ITS IV b dwuosobowy i szybowiec akrobacyjny CW 7.

Essais des planeurs à la balance aérodynamique à six composantes.

Deuxième partie.

Planeur ITS IV b biplace et planeur d'acrobatie CW 7.

Comme suite aux résultats des essais des planeurs publiés dans le numéro 7 de ce périodique, 1935, nous donnons à présent les résultats des essais aérodynamiques du planeur ITS IV b construit dans l'Institut de la Technique du Vol sans Moteur à Lwów ainsi que ceux du planeur d'acrobatie CW 7 construit par l'ing. W. Czerwiński. Les essais ont été exécutés au Laboratoire Aérodynamique de l'École Polytechnique de Lwów.

Les mesures comprennent principalement des essais de la stabilité longitudinale et de route ainsi que la dépendance du moment de roulis de l'angle de braquage des ailerons. L'aileron gauche était, lors des essais, toujours braqué vers le bas de l'angle β_{Ll} , et l'aileron droit toujours vers le haut de l'angle β_{Lp} , où $(\beta_{Li}) = (\beta_{Lp})$. Les essais de la stabilité de route ont été faits pour des angles de centrage des planeurs correspondant à la condition de stabilité longitudinale ($c_{mG} = 0$) ainsi que pour des positions des planeurs voisines à $c_{y \max}$ de la polaire d'équilibre.

Les résultats des essais démontrent que les deux planeurs ont de stabilité longitudinale et de route.

Uwzględniając potrzebę publikowania własności aerodynamicznych nowych konstrukcji szybowców, podajemy wyniki pomiarów tunelowych przy pomocy wagi o sześciu składowych szybowca dwuosobowego ITS IV b i szybowca akrobacyjnego CW 7., konstrukcji Inż. Czerwińskiego Wacława.

Wszelkie oznaczenia i określenia pozostawiono takie same, jak w poprzednich publikacjach¹⁾. Zasadnicze wymiary modeli, warunki pomiaru i określenia znaków kątów, momentów i sił podano na ryc. 1 i 3.

Wyniki pomiarów ujęto w następujące wykresy:

1). Ryc. 1/1 i 3/1: Biegunowa szybowca, biegunowa równowagi, krzywa momentu, krzywa doskonałości $c_y/c_x = f(c_y)$. Moment wyznaczono dla ITS IV b względem prostej, przechodzącej prostopadle do płaszczyzny symetrii płata przez punkt przecięcia się cięciwy profilu w płaszczyźnie symetrii płata ze styczną do profilu prostopadłą do tej cięciwy (punkt 0 na ryc. 1 przy profilu Bobek 6), zaś dla CW 7 względem prostej przechodzącej prostopadle do płaszczyzny symetrii płata przez punkt przecięcia się cięciwy profilu, łączącej jego ostrze ze środkiem koła ściśle stycznego przy krawędzi natarcia, z obrysem profilu (punkt 0 na ryc. 3 przy profilu W 192). Spółczynnik momentu c_m odniesiono do głębokości t płata w płaszczyźnie symetrii.

¹⁾ Porównaj: „Lwowskie Czasopismo Lotnicze“ Nr. 7 z r. 1935, str. 4—9.

2). Ryc. 1/2 i 3/2: Krzywe zależności wartości współczynnika momentu c_{mG} względem prostopadłej do płaszczyzny symetrii przez środek ciężkości szybowca od kąta natarcia α dla różnych wychyleń β steru wysokości. Z krzywych tych wynika, że oba szybowce posiadają stateczność podłużną dla całego zakresu przyjętych do pomiaru kątów natarcia, gdyż spełnia się warunek $\frac{\partial c_{mG}}{\partial \alpha} > 0$ dla $c_{mG} = 0$. Prócz tego

podano wartości $\frac{\partial c_{mG}}{\partial \alpha}$ dla $c_{mG} = 0$.

3). Ryc. 1/3 i 3/3: Krzywe $\beta = f(\alpha)_{c_{mG}=0}$ wedle wykresów na ryc. 1/2 i 3/2 mogą posłużyć do oceny sterowności podłużnej szybowców.

Widoczne jest, że warunek $\frac{\partial \beta}{\partial \alpha} < 0$ spełniony jest dla całego zakresu przyjętych kątów natarcia i szybowce są dostatecznie czułe na stery wysokości w zakresie stanów, odpowiadających „zdrowej strudze“.

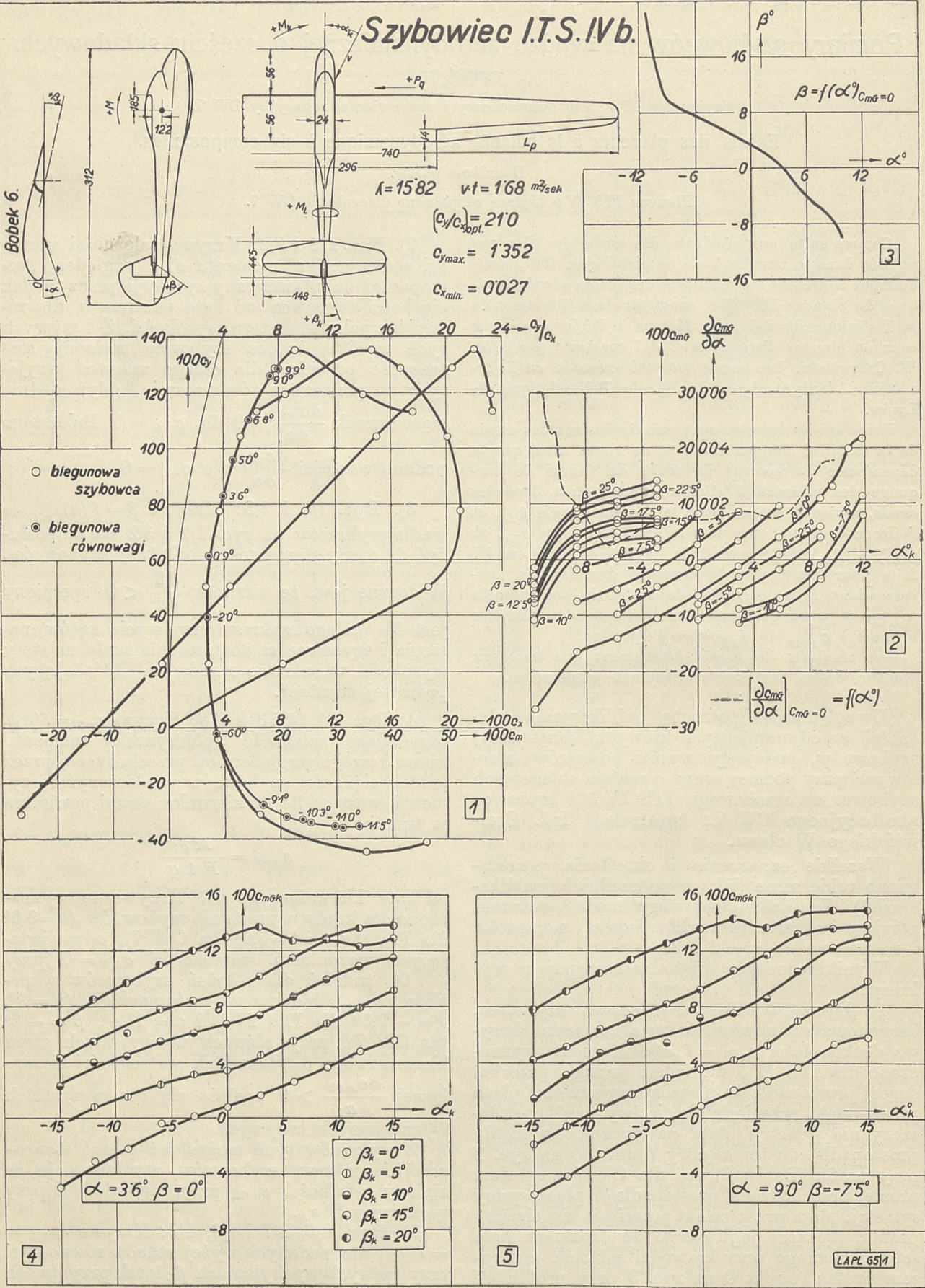
4). Ryc. 1/4, 1/5 i 3/4, 3/5: Krzywe $c_{mGk} = f(\alpha_k)$, określające zależność współczynnika momentu kierunkowego względem osi przechodzącej przez środek ciężkości szybowców w płaszczyźnie symetrii prostopadle do kierunku strugi powietrza w tunelu

$$c_{mGk} = \frac{M_{Gk}}{F \cdot t \cdot q}$$

od kąta kierunkowego α_k . Krzywe te wyznaczono dla kątów wyważenia szybowców ($\alpha = 3,6^\circ$ dla ITS IV b i $\alpha = 5,6^\circ$ dla CW 7), odpowiadających warunkowi stateczności $c_{mG} = 0$ przy $\beta = 0^\circ$, tudzież dla położeń szybowców w pobliżu $c_{y \max}$ biegunowej równowagi ($\alpha = 9^\circ$, $\beta = -7,5^\circ$ dla ITS IV b i $\alpha = 11,4^\circ$, $\beta = -6^\circ$ dla CW 7), przy różnych wychyleniach steru kierunkowego β_k . Warunek stateczności kierunkowej $\frac{\partial c_{mGk}}{\partial \alpha_k} > 0$ spełnia się dla wszystkich wyznaczonych krzywych.

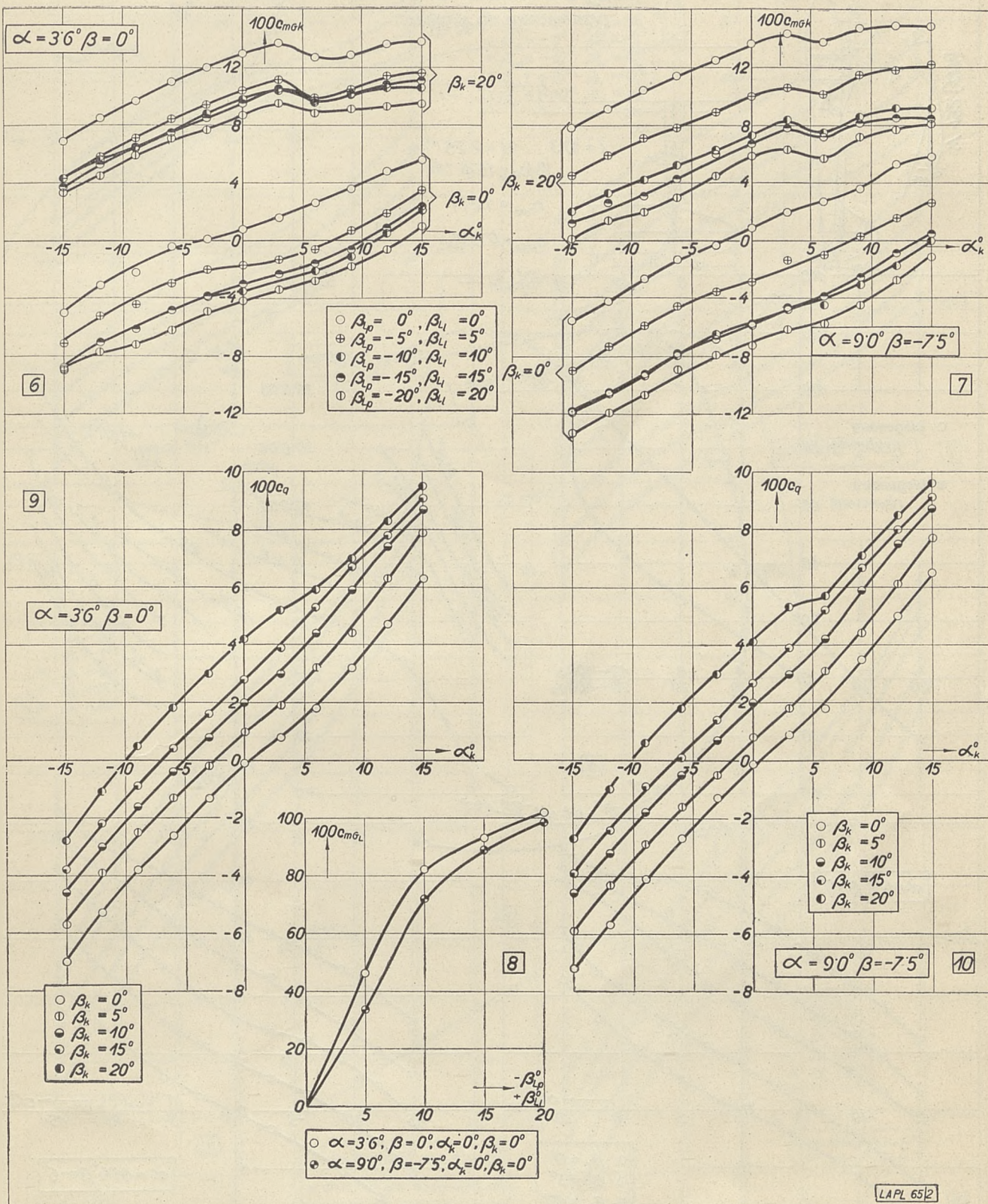
Z wykresów tych można też ocenić sterowność kierunkową szybowców, a mianowicie ze zmiany wielkości c_{mGk} przy zmianie β_k przy tych samych α_k .

5). Ryc. 2/6, 2/7 i 4/6, 4/7: Krzywe $c_{mGk} = f(\alpha_k)$ dla podanych wyżej stanów równowagi przy różnych wychyleniach β_L lotek przy dwóch skrajnych położeniach steru kierunkowego: $\beta_k = 0^\circ$ i $\beta_k = 20^\circ$; lotka lewa była przy pomiarze stale wychylana na dół o kąt β_{Ll} , zaś prawa do góry o kąt β_{Lp} , przyczem $|\beta_{Ll}| = |\beta_{Lp}|$.



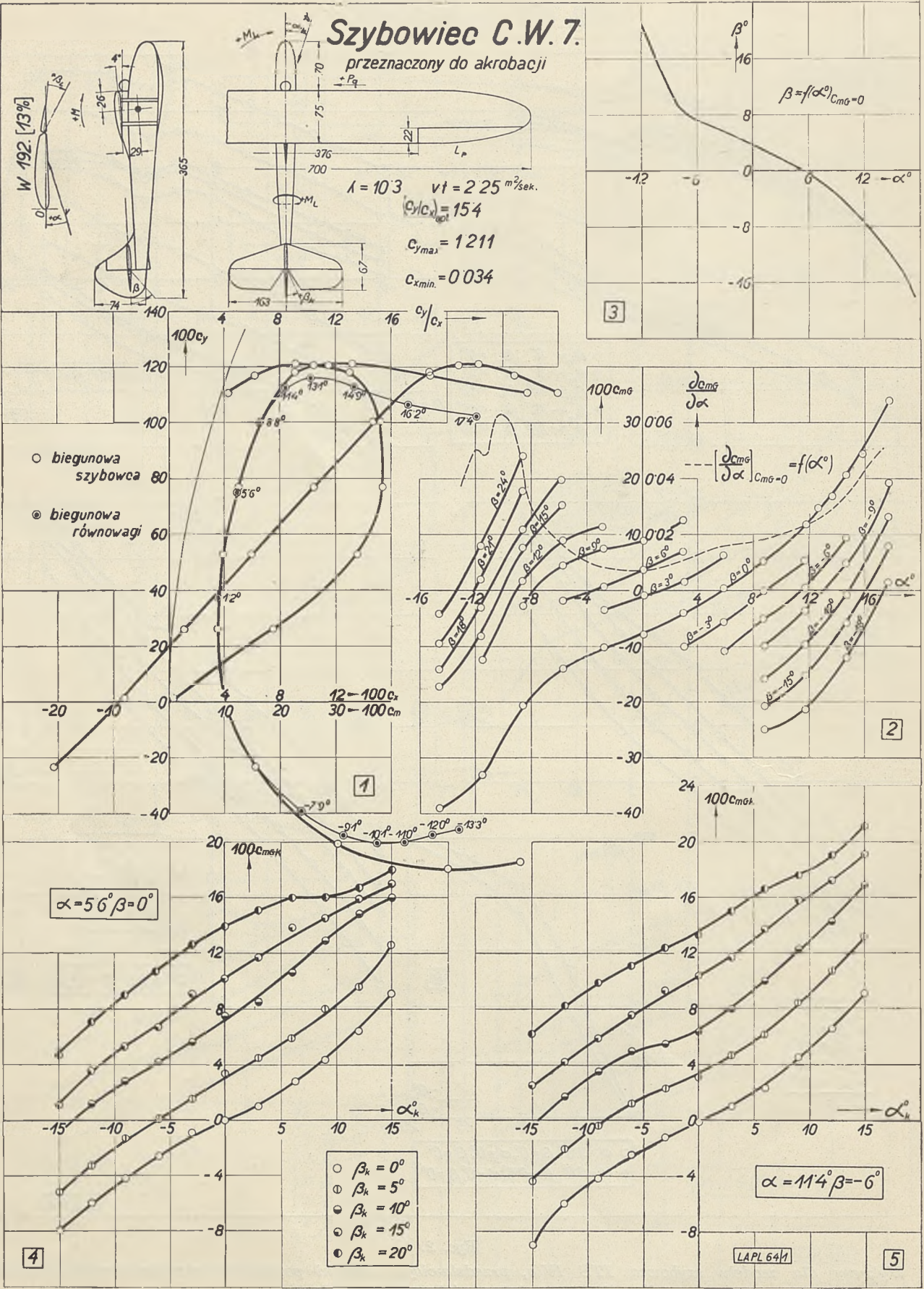
Ryc. 1.

Wykresy dla modelu szybowca ITS IV b, przedstawiające wyniki pomiarów aerodynamicznych, służące do oceny stateczności szybowca w locie.



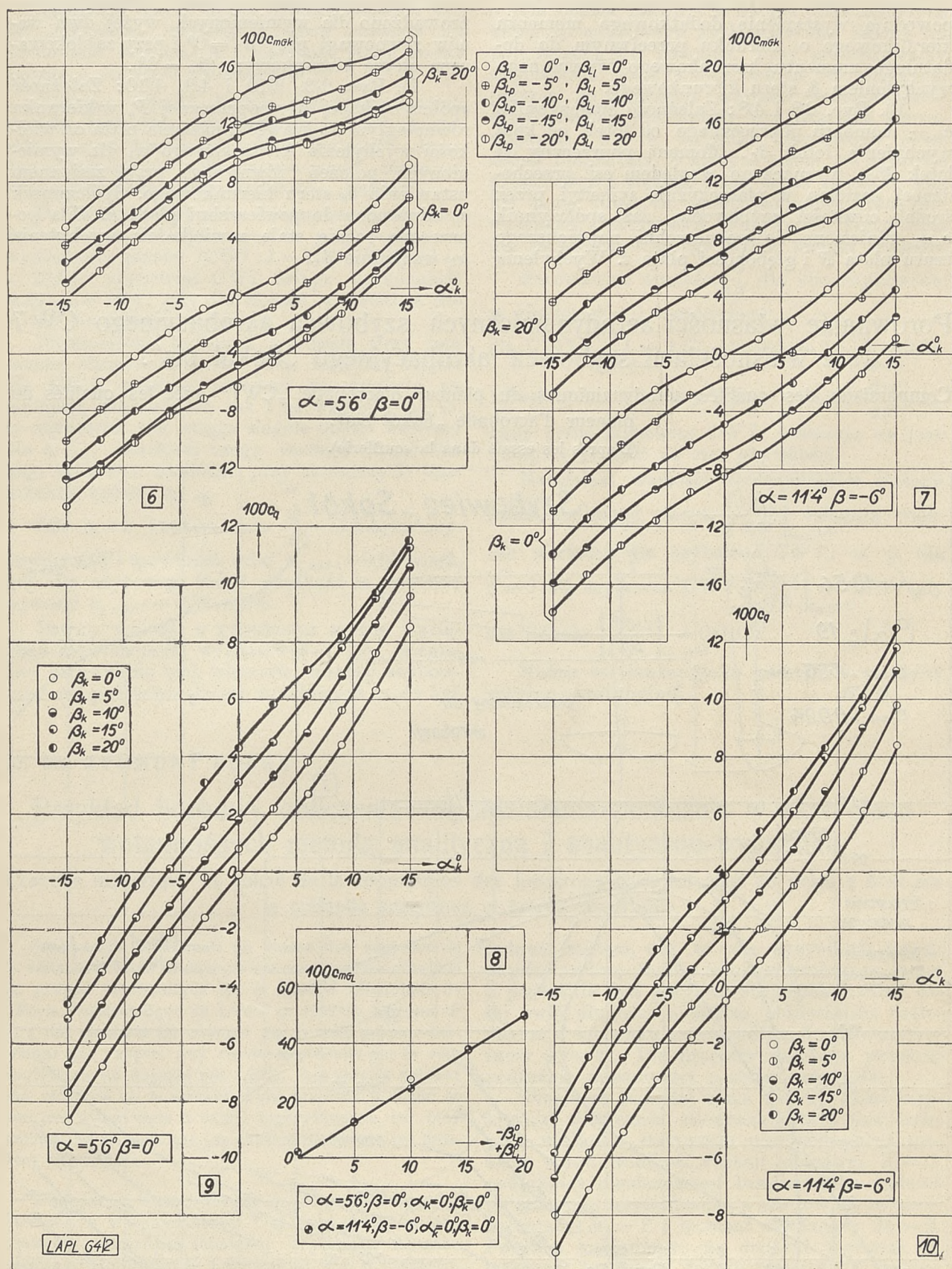
Ryc. 2.

Wykresy dla modelu szybowca ITS IV b, przedstawiające wyniki pomiarów aerodynamicznych, służące do oceny stateczności szybowca w locie.



Ryc. 3.

Wykresy dla modelu szybowca akrobacyjnego CW 7, przedstawiające wyniki pomiarów aerodynamicznych, służące do oceny stateczności szybowca w locie.



Ryc. 4.

Wykresy dla modelu szybowca akrobacyjnego CW 7, przedstawiające wyniki pomiarów aerodynamicznych, służące do oceny stateczności szybowca w locie.

Ogłaszając wyniki badań aerodynamicznych modeli szybowców, będziemy w miarę możliwości dla porównania zestawiać je z wynikami badań modeli maszyn o podobnym przeznaczeniu.

Podając wyniki badań aerodynamicznych modelu szybowca akrobacyjnego CW7, zestawiamy je z wynikami badań Instytutu Aerodynamicznego w Warszawie nad modelem również akrobacyjnego szybowca „Sokół”¹⁾.

Porównanie wykresów biegunowych dla modeli szybowców wykazuje, że przy podobnym wydłużeniu płatów (CW7: $\lambda = 10,3$; Sokół: $\lambda = 10,54$) szybowiec CW7 osiąga doskonałość $(c_y/c_x)_{max} = 15,4$, gdy dla Sokoła wielkość ta dochodzi do $(c_y/c_x)_{max} = 19$.

Najmniejsza szybkość opadania przy tem samym obciążeniu na m^2 pow. skrzydeł będzie dla CW7 większa zarówno ze względu na mniejszą doskonałość jak i ze względu na to, że szybowiec ten osiąga wogóle niższe wartości dla $c_{y\ max}$, skutkiem czego wartość (c_y/c_x) dla tego szybowca zachodzi przy mniejszych wartościach spólc. c_y .

Dla $c_y = 1$ i obciążenia $\frac{Q}{S} = 13,5\ kg/m^2$ szybowiec CW7 powinien mieć $v_{y\ c_y=1} = 0,97\ m/sek$, gdy dla szybowca Sokół prędkość ta powinna wynosić $v_{y\ c_y=1} = 0,82\ m/sek$.

Pewne wnioski o zwrotności można wyciągnąć z porównania wykresów $\beta = f(\alpha)$. Względne porównanie tych własności między szybowcami na podstawie badań tunelowych może być

o tyle bliższe prawdy, że naogół dla podobnych kategorii szybowców rozłożenie mas dokoła osi poprzecznej jest podobne. Przy porównywaniu sterowności rzeczywistej dokoła osi podłużnej jedynie na podstawie wartości współczynników aerodynamicznych należy być znacznie ostrożniejszym. Np. w wypadku szybowców o tej samej rozpiętości, z których jeden ma skrzydło prostokątne i ciężkie, drugi silnie zbieżne i lekkie przy równych współczynnikach aerodynamicznych, rzeczywista sterowność poprzeczna dla szybowca drugiego będzie naogół większa.

Porównując wartości $\frac{\partial \alpha}{\partial \beta}$ dla obu szybowców w okolicy $\beta = 0$, znajdujemy

dla CW7 $\left(\frac{\partial \alpha}{\partial \beta}\right)_{\beta=0} = 1,67$, dla Sokoła $\left(\frac{\partial \alpha}{\partial \beta}\right)_{\beta=0} = 2,33$.

Również dla innych β niższe wartości $\frac{\partial \alpha}{\partial \beta}$, osiągnięte przez szybowiec CW7, wskazują na jego mniejszą czułość na ster głębokości.

Natomiast wartości współczynników stateczności podłużnej statyt. $\left[\frac{\partial c_{mG}}{\partial \alpha}\right]_{c_{mG}=0}$ osiągają większe wartości dla szybowca CW7; n. p. dla

$\beta = 0$ dla szybowca CW7 $\left[\frac{\partial c_{mG}}{\partial \alpha}\right]_{c_{mG}=0} = 0,016$, gdy

dla Sokoła $\left[\frac{\partial c_{mG}}{\partial \alpha}\right]_{c_{mG}=0} = 0,0108$.

Można to uważać jako zaletę dla maszyny szkolno-akrobacyjnej. W. S.

Dr. Inż. ZYGMUNT FUCHS

Przykład liczbowy obliczenia współdziałania podłużnic w skrzydłach wolnonośnych metodą analityczną i analityczno-wykreślną.

Exemple numérique du calcul de la coopération des longerons dans les ailes en porte à faux par la méthode analytique et grapho-analytique.

Cet exemple constituait un thème des exercices de la résistance et de la statique des constructions d'avions au groupe aéronautique de la Faculté Mécanique de l'Ecole Polytechnique de Lwów en 1934/35. L'erreur en % des résultats fin obtenus par la voie grapho-analytique par rapport aux résultats obtenus par la voie analytique ne dépasse pas 4,26%. Les calculs doivent être effectués en se servant d'une machine à calcul et non pas d'une règle à calcul logarithmique, car bien souvent ce ne sont que les chiffres ultérieurs qui décident du résultat.

Podajemy opracowanie jednego z tematów ćwiczeń z wytrzymałości i statyki ustrojów lotniczych na grupie lotniczej Wydziału Mechanicznego Politechniki Lwowskiej w r. n. 1934/35, a mianowicie obliczenie współdziałania podłużnic w skrzydłach jednopłatów w wypadku, gdy dwie identyczne podłużnice o zmiennym przekroju, utwierdzone doskonale na jednym końcu, połączone są ze sobą sztywnie na drugim końcu

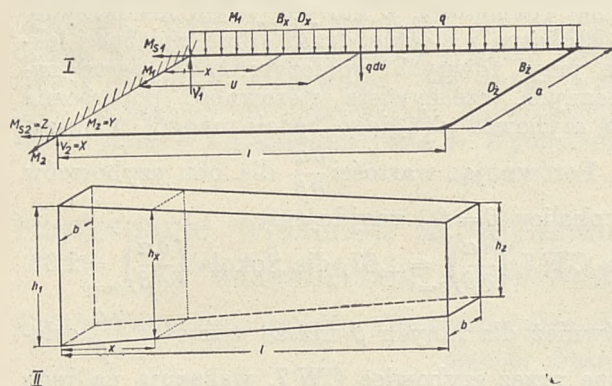
jednym żebrem, tak, że osie wszystkich trzech prętów tworzą płaską ramę prostokątną; jedna z podłużnic jest przytem obciążona wzdłuż całej swej długości ciężarem jednostajnie rozłożonym w kierunku prostopadłym do płaszczyzny ramy (ryc. 1). Dla prostoty założono przekrój podłużnic prostokątny o stałej szerokości.

Określona powyżej rama tworzy układ trzykrotnie statycznie niewyznaczalny, przyczem jako wielkości statycznie niewyznaczalne możemy obrać: wielkość reakcji pionowej $V_2 = X$ podłużnicy nieobciążonej bezpośrednio, tudzież jej momenty utwierdzenia, a mianowicie moment zginający $M_2 = Y$ i moment skręcający $M_3 = Z$. Poza tem zakładamy, że dodatni kierunek X wskazuje ku górze, dodatni moment Y wygina odnośną podłużnicę wypukłością ku górze, zaś dodatni moment Z skręca podłużnicę dla obserwatora, ustawionego wzdłuż wektora M_3 , w kierunku zgodnym z ruchem wskazówki na tarczy zegara.

Zagadnienie przeliczono wedle rozwiązania podanego przez prof. Dr. M. T. Hubera w „Spraw-

¹⁾ Wyniki te ogłaszamy za zezwoleniem konstruktora.

wozdaniu Instytutu Badań Technicznych Lotnictwa", Nr. 6 z r. 1931 przy zastosowaniu metody Castigliano'a, z pominięciem wpływu sił ścinających. Zagadnienie rozwiązano na dwa sposoby, a mianowicie raz czysto analitycznie, drugi zaś raz przez zastosowanie wykreślnej metody rozwiązywania całek.



Ryc. 1.

- I. Schemat ramy, utworzonej przez dwie podłużnice i żebro, tudzież obciążenia.
II. Oznaczenia zasadniczych wymiarów podłużnicy.

Wprowadzamy następujące oznaczenia: niechaj B_x oznacza zmienną sztywność przy zginaniu obu jednakowych podłużnic w miejscu o odciętej x , D_x zmienną sztywność przy skręcaniu podłużnic w tem samym miejscu, zaś B_z i D_z stałą sztywność przy zginaniu wzgl. przy skręcaniu żebra, łączącego obie podłużnice. Następnie wprowadzamy oznaczenia funkcyj:

$$\beta = \int_0^l \frac{x^2 dx}{B_x}, \quad \beta' = \int_0^l \frac{x dx}{B_x}, \quad \beta'' = \int_0^l \frac{dx}{B_x},$$

$$\delta = \int_0^l \frac{dx}{D_x},$$

gdzie l oznacza długość podłużnicy, tudzież:

$$\beta_z = \frac{1}{B_z} \int_0^a x^2 dx = \frac{1}{B_z} \frac{a^3}{3}$$

$$\beta'_z = \frac{1}{B_z} \int_0^a x dx = \frac{1}{B_z} \frac{a^2}{2}$$

$$\delta_z = \frac{1}{D_z} \int_0^a dx = \frac{a}{D_z},$$

gdzie $a=100\text{ cm}$ oznacza odstęp pomiędzy podłużnicami odpowiadający długości żebra.

$$K = 2\beta + \frac{a^2}{2} \delta + l^2 \delta_z + \beta_z - \frac{a}{2} \beta'_z =$$

$$= 2\beta + \frac{a^2}{2} \delta + \frac{al^2}{D_z} + \frac{a^3}{12 B_z}$$

$$\beta = \int_0^l \frac{x^2 dx}{B_x} = \frac{750^3}{15187500} \Big|_0^{l=250} \left[\frac{1}{2 \left(1 - \frac{x}{750}\right)^2} - \frac{2}{1 - \frac{x}{750}} - \ln \left(1 - \frac{x}{750}\right) \right] = 0.875 \frac{\text{cm}}{\text{kg}},$$

$$\beta' = \int_0^l \frac{x dx}{B_x} = \frac{750^2}{15187500} \Big|_0^{l=250} \left[\frac{1}{2 \left(1 - \frac{x}{750}\right)^2} - \frac{1}{1 - \frac{x}{750}} \right] = 0.004629629 \frac{1}{\text{kg}}$$

$$L = 2\beta' + l\delta_z = 2\beta' + \frac{al}{D_z}$$

$$N = 2\beta'' + \delta_z = 2\beta'' + \frac{a}{D_z}$$

$$R_1 = \int_0^l q du \int_0^u \frac{(u-x)x}{B_x} dx$$

$$R_2 = \int_0^l q du \int_0^u \frac{u-x}{B_x} dx.$$

Natenczas następujące równania, odpowiadające równaniom 9a i 10a cytowanej pracy prof. Hubera, służą do wyznaczenia wymienionych trzech wielkości statycznie niewyznaczalnych:

$$KX - LY + R_1 = 0$$

$$LX - NY + R_2 = 0$$

$$X = \frac{2}{a} Z,$$

z których:

$$X = V_2 = \frac{LR_2 - NR_1}{KN - L^2}$$

$$Y = M_2 = \frac{KR_2 - LR_1}{KN - L^2}$$

$$Z = M_{s_2} = \frac{a}{2} X.$$

Założmy obecnie, że przekrój podłużnicy jest prostokątem o bokach b i h_x , przyczem $b=2,5\text{ cm}$, zaś $(h_x)_{x=0} = h_1 = 9\text{ cm}$, tudzież $(h_x)_{x=l=250\text{ cm}} = h_2 = 6\text{ cm}$; materiał podłużnic określony jest przez pierwszy współczynnik sprężystości $E = 10^5\text{ kg/cm}^2$ i drugi współczynnik sprężystości $G = 10^4\text{ kg/cm}^2$. Natenczas:

$$B_x = \frac{b h_x^3}{12} E, \quad D_x = \frac{b^3 h_x}{12} G^1).$$

Ponieważ, jak łatwo stwierdzić:

$$h_x = h_1 \left(1 - \frac{x}{750}\right)$$

przy założeniu długości podłużnic $l=250\text{ cm}$, przeto:

$$B_x = 15187500 \left(1 - \frac{x}{750}\right)^3 \text{ kg cm}^2$$

$$D_x = 468750 \left(1 - \frac{x}{750}\right) \text{ kg cm}^2.$$

Dla żeberka obieramy:

$$B_z = 5 \cdot 10^5 \text{ kg cm}^2$$

$$D_z = 5 \cdot 5 \cdot 10^3 \text{ kg cm}^2.$$

Obecnie wyznaczamy wartości całek:

¹⁾ Föppl A. i L.: „Drang und Zwang“, II T., München-Berlin 1920, str. 90, wzór 60.

$$\beta'' = \int_0^l \frac{dx}{B_x} = \frac{750}{15187500} \Big|_0^{l=250} \frac{1}{2 \left(1 - \frac{x}{750}\right)^2} = 0.00003086419 \frac{1}{kg \text{ cm}}$$

$$\delta = \int_0^l \frac{dx}{D_x} = -\frac{750}{468750} \Big|_0^{l=250} \ln \left(1 - \frac{x}{750}\right) = 0.0006504 \frac{1}{kg \text{ cm}}$$

$$\beta_z = \frac{a^3}{3 B_z} = 0.66667 \frac{cm}{kg}, \quad \beta'_z = \frac{a^2}{2 B_z} = 0.01 \frac{1}{kg}, \quad \delta_z = \frac{a}{D_z} = 0.018182 \frac{1}{kg \text{ cm}}$$

$$F_1(u) = \int_0^u \frac{(u-x)x}{B_x} dx = \frac{750^2}{2 \cdot 15187500} \left\{ u - \frac{750}{1 - \frac{u}{750}} + 2 \ln \left(1 - \frac{u}{750}\right) - 750 \right\}$$

$$\int_0^l F_1(u) du = \frac{750^4}{15187500} \Big|_0^{l=250} \left\{ \frac{1}{4} \left(1 - \frac{u}{750}\right)^2 + \left(1 - \frac{u}{750}\right) - \left(\frac{3}{2} - \frac{u}{750}\right) \ln \left(1 - \frac{u}{750}\right) \right\} = 17.84896 \frac{cm^2}{kg}$$

Zakładając $q = 0.4 \text{ kg/cm}$, otrzymujemy:

$$R_1 = q \int_0^l F_1(u) du = 7.139584 \text{ cm}$$

$$F_2(u) = \int_0^u \frac{u-x}{B_x} dx = \frac{750}{15187500} \left\{ \frac{u-750}{2 \left(1 - \frac{u}{750}\right)^2} + \frac{750}{1 - \frac{u}{750}} - \frac{1}{2} (u+750) \right\}$$

$$\int_0^l F_2(u) du = \frac{750^3}{15187500} \Big|_0^{l=250} \left\{ \left(1 - \frac{u}{750}\right) - \frac{1}{4} \left(1 - \frac{u}{750}\right)^2 - \frac{1}{2} \ln \left(1 - \frac{u}{750}\right) \right\} = 0.230667 \frac{cm}{kg},$$

skąd:

$$R_2 = q \int_0^l F_2(u) du = 0.0922668.$$

Na podstawie otrzymanych wyników wyznaczamy wartości:

$$K = 2\beta + \frac{a^2}{2} \delta + \frac{al^2}{D_z} + \frac{a^3}{12 B_z} = 1141.53227 \frac{cm}{kg}$$

$$L = 2\beta' + \frac{al}{D_z} = 4.554759 \frac{1}{kg}$$

$$N = 2\beta'' + \frac{a}{D_z} = 0.01824373 \frac{1}{kg \text{ cm}}.$$

Wobec tego reakcja:

$$V_2 = \frac{L R_2 - N R_1}{K N - L^2} = 3.626 \text{ kg}$$

tudzież momenty utwierdzenia:

$$M_2 = \frac{K R_2 - L R_1}{K N - L^2} = 910.33 \text{ kg cm}$$

$$M_{s_1} = \frac{a}{2} V_2 = 181.30 \text{ kg cm}$$

Współdziałanie podłużnicy nieobciążonej z podłużnicą obciążoną jednostajnie wzdłuż całej swej długości ciężarem $q \text{ kg/cm}$ b wynosi:

$$w\% = 100 \frac{M_2}{\frac{1}{2} q l^2} = 7.28\%.$$

Obecnie podajemy wyniki otrzymane przy pomocy wykreślnej metody rozwiązywania wyszczególnionych powyżej całek. Wszystkie wykresy wraz z wynikami otrzymanymi przez pla-

nimetrywanie pól, zawartych pomiędzy krzywymi i osiami współrzędnych, przedstawione są na ryc. 2. Wartości współrzędnych dla funkcji:

$$\frac{1}{D_x} = f(x), \quad \frac{1}{B_x} = f(x), \quad \frac{x}{B_x} = f(x), \quad \frac{x^2}{B_x} = f(x)$$

podane są w tabeli I, zaś dla funkcji:

$$\frac{u-x}{B_x} = f(x), \quad \frac{(u-x)x}{B_x} = f(x)$$

w tabeli III. Tabela II zawiera zestawienie wartości całek:

$$\int_0^l \frac{dx}{D_x}, \quad \int_0^l \frac{dx}{B_x}, \quad \int_0^l \frac{x dx}{B_x}, \quad \int_0^l \frac{x^2 dx}{B_x}$$

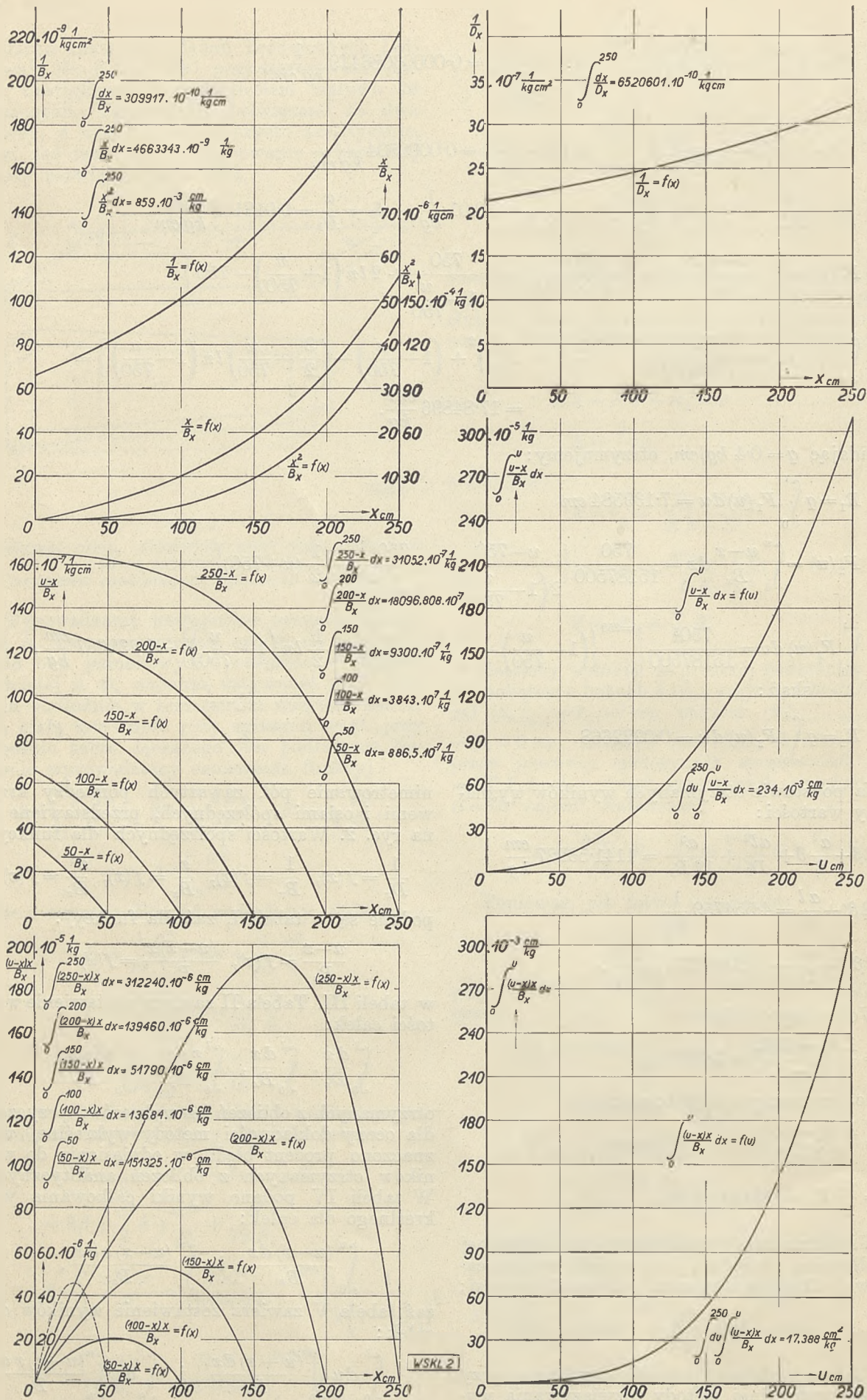
otrzymanych z obliczeń i z wykresów, przyczem dla oceny dokładności metody wykreślnej wyznaczono procent błędu w odniesieniu do wyników otrzymanych z obliczeń analitycznych. W tabeli IV podano wyniki całkowania wykreślonego dla całek:

$$\int_0^u \frac{(u-x) dx}{B_x} \quad \text{ i } \quad \int_0^u \frac{(u-x)x dx}{B_x},$$

zaś tabela V zawiera zestawienie wyników dla całek:

$$\int_0^l du \int_0^u \frac{(u-x) dx}{B_x} \quad \text{ i } \quad \int_0^l du \int_0^u \frac{(u-x)x dx}{B_x}$$

otrzymanych z obliczenia analitycznego i z wykresów.



Ryc. 2.

Wykresy funkcji dla wykreślnego wyznaczenia całek przy obliczeniu współrzędnej podłużnej.

Tabela I.

x_{cm}	$D_x \text{ kg cm}^2$	$10^{11} \frac{1}{D_x} \frac{1}{\text{kg cm}^2}$	$B_x \text{ kg cm}^2$	$10^{13} \frac{1}{B_x} \frac{1}{\text{kg cm}^2}$	$10^{12} \frac{x}{B_x} \frac{1}{\text{kg cm}}$	$10^{11} \frac{x^2}{B_x} \frac{1}{\text{kg}}$
0	468750,0	213333	15187500	658436	0	0
50	437498,4	228572	12347700	809867	4049335	20246675
100	406251,6	246152	9886600	1011470	10114700	101147000
150	375004,7	266663	7776300	1285950	19289250	289338750
200	343753,1	290906	5989600	1669560	33391200	667824000
250	312501,6	319998	4500100	2222170	55554250	1388856250

Tabela II.

	$10^8 \int_0^{250} \frac{dx}{D_x} \frac{1}{\text{kg cm}}$	$10^{11} \int_0^{250} \frac{dx}{B_x} \frac{1}{\text{kg cm}}$	$10^9 \int_0^{250} \frac{x}{B_x} dx \frac{1}{\text{kg}}$	$10^3 \int_0^{250} \frac{x^2}{B_x} dx \frac{\text{cm}}{\text{kg}}$
z obliczenia	65040	3086419	4629629	875
z wykresu	65206	3099173	4663343	859
błąd w %	+0,25	+0,41	+0,72	-1,8

Tabela III.

		$10^{12} \frac{u-x}{B_x} \frac{1}{\text{kg cm}}$					$10^{12} \frac{(u-x)x}{B_x} \frac{1}{\text{kg}}$				
x_{cm}	u_{cm}	50	100	150	200	250	50	100	150	200	250
0		3292181	6584360	9876540	13168720	16460900	0	0	0	0	0
10		2741942	6169369				27419420	61693690			
20		2142122	5712327	9282530	12852730	16422940	42842440	114246540	185650600	257054600	328458800
30		1488427	5209496				44652810	156284880			
40		776102	4656613	8537120	12417630	16298140	31044080	186264520	341484800	496705200	651925600
50	0		4049337				0	202466850			
60			3332263	7610090	11837920	16065750		202935780	456605400	710275200	963945000
70			2650246					185517220			
80			1847182	6465140	11083090	15701050		147774560	517211200	886647200	1256084000
90			966202					86958180			
100	0		5057350	10114700	15172000			0	505735000	1011470000	1517200000
120			3332740	8887900	14441800				399928800	1066476000	1733016000
140			1223810	7342860	13461900				171333400	1023000400	1884666000
150			0						0		
160				5410010	12172520					865601600	1947603200
180				2999850	10499470					539973000	1889904600
200				0	8348220					0	1669644000
220					5597320						1231410400
240					2094060						502574400
250					0						0

Tabela IV.

u_{cm}	50	100	150	200	250
$10^9 \int_0^u \frac{u-x}{B_x} dx \frac{1}{\text{kg}}$	88650	384300	930000	1809681	3105200
$10^8 \int_0^u \frac{(u-x)x}{B_x} dx \frac{\text{cm}}{\text{kg}}$	151325	1368400	5179000	13946000	31224000

Tabela V.

	$\int_0^z du \int_0^u \frac{u-x}{B_x} \frac{dx}{kg} \frac{cm}{kg}$	$\int_0^z du \int_0^u \frac{(u-x)x}{B_x} \frac{dx}{kg} \frac{cm^2}{kg}$
z obliczenia . .	0,230667	17,84896
z wykresu	0,234000	17,38800
błąd w %	+1,44	-2,58

Na podstawie wyników otrzymanych metodą wykreślną obliczamy wartości:

$$K = 1141,5086 \frac{cm}{kg}$$
$$L = 4,5548267 \frac{1}{kg}$$
$$N = 0,01824398 \frac{1}{kg \text{ cm}}$$
$$R_1 = 6,9552 \text{ cm}$$
$$R_2 = 0,0936$$
$$V_2 = 3,755 \text{ kg}$$
$$M_2 = 948,926 \text{ kg cm}$$
$$M_{s_2} = 187,752 \text{ kg cm,}$$

wobec czego współdziałanie podłużnicy nieobciążonej bezpośrednio z podłużnicą obciążoną ciężarem $q \text{ kg/cm b}$:

$$w = 7,59\%.$$

Procent błędu dla wyników końcowych otrzymanych drogą analityczno-wykreślną w stosunku do wyników otrzymanych metodą czysto analityczną wynosi:

dla $V_2 \dots + 3,56\%$
 $M_2 \dots + 4,24\%$
 $M_{s_2} \dots + 3,56\%$
 $w \dots + 4,26\%,$

co wobec przybliżeń stosowanych przy założeniach jest niewątpliwie wystarczające dla celów technicznych.

Należy podkreślić, że przy obliczeniach analitycznych powinno się liczyć na maszynie do rachowania, a nie na suwaku logarytmicznym, gdyż niejednokrotnie dopiero dalsze cyfry znaczące decydują o wyniku.

BIULETYN INSTYTUTU TECHNIKI SZYBOWNICTWA

† NOWOTNY ADAM — JABŁOŃSKI ZYGMUNT STEFAN.

Pomiar stateczności statycznej podłużnej szybowców w locie.

Mesure en vol de la stabilité statique longitudinale des planeurs.

L'article présente la méthodes d'exécution des mesures en vol de la stabilité statique longitudinale des planeurs et donne un exemple pratique d'exécution des mesures basées sur cette méthode.

L' I. T. S. s'est chargé de l'élaboration de la mesure en vol de la stabilité statique longitudinale des planeurs en prenant en considération le remplacement par une mesure de l'évaluation subjective des qualités du vol des planeurs par les pilotes.

Cette méthode se base sur la mesure des coefficients c_m pour différentes positions du centre de gravité et pour le même braquage du gouvernail de profondeur $\beta = \text{const.}$

Le raisonnement des auteurs motivant cette méthode est le suivant:

Ayant rappelé la définition de la stabilité statique les auteurs transforment les formules dans une forme plus convenable à l'application dans la pratique de mesures, en exprimant le coefficient de

la stabilité statique longitudinale par $\mu' = \frac{dc_{mg}}{dc_n} (5a)$ au lieu de $\frac{dc_{mg}}{di}$, car la détermination du coefficient

c_n est plus facile en se basant sur la vitesse du vol et le poids en vol que la mesure de l'angle d'attaque.

La mesure consiste dans la détermination 1) de $\frac{dc_n}{d\beta}$ (coefficient de maniabilité) et 2) de $\left(\frac{\partial c_{mg}}{\partial c_n}\right)_{\beta=\text{const.}}$

La valeur du coefficient de maniabilité peut être du gouvernail de profondeur correspondant à cette vitesse et l'inclinaison de la corde de l'aile sur l'horizontale.

On a fait la mesure du coefficient du maniabilité pour différentes positions du centre de gravité. Les changes de la position du centre de gravité ont été obtenues en plaçant des poids convenables sur le nez, ou la queue du planeur. Le résultat fut la détermination de $c_n = f(\beta)$ pour différentes positions du centre de gravité (fig. 7 et 8).

On a évalué la valeur de $\frac{\partial c_{mg}}{\partial c_n}$ par la voie suivante: on déterminait différentes positions du centre de gravité et on trouvait pour ces positions les valeurs de c_n correspondant à l'état d'équilibre.

On calculait les valeurs du coefficient c_m par rapport à la position choisie du centre de gravité en se servant de la formule (14). On a obtenu ainsi les courbes $c_{mg} = f(c_n)_{\beta=\text{const.}}$; la pente de ces cour-

bes a déterminé $\mu = \frac{\partial c_{mg}}{\partial c_n}$.

En connaissant $\frac{dc_n}{d\beta}$ et $\frac{\partial c_{mg}}{\partial c_n}$, on calculait à l'aide de la formule (8) les valeurs du coefficient d'efficacité $\frac{\partial c_{mg}}{\partial \beta}$.

Les mesures ont été faites sur planeur I. T. S. II à l'aide de l'instrument Askania à enrégistrement quadruple qui notait:

1. la pression dynamique (la vitesse)
2. la position de la corde de l'aile par rapport à l'horizontale (à l'aide d'une petite pendule).

La braquage du gouvernail de profondeur β déterminé à l'aide d'un instrument construit par l'I. T. S. et la position du centre de gravité par le pesage sur deux bascules.

Dans la suite de l'article les auteurs discutent le degré d'exactitude des mesures et donnent des conclusions.

Przegląd treści.

1. Oznaczenia.
2. Wstęp. Cel pomiarów.
3. Rodzaje pomiarów.
4. Definicja stateczności. Problem.
5. Określenie współczynników.
6. Sposób pomiaru w locie współczynników:
 - a) współczynnika zwrotności,
 - b) współczynnika stateczności statycznej,
 - c) współczynnika czułości (skuteczności) steru.
7. Instrumenty.
8. Stopień dokładności.
9. Zestawienie wyników.
10. Wnioski.
11. Przypuszczalne przyczyny różnic pomiarów w locie i tunelu.
12. Zakończenie.
14. Literatura.

1. Oznaczenia.

α^0 — kąt natarcia wzgl. cięciwy płata.
 β^0 — kąt wychylenia steru wysokości.
 φ^0 — kąt nachylenia cięciwy płata wzgl. poziomu.

c_y — współczynnik wyporu szybowca.
 c_x — współczynnik oporu szybowca.
 c_r — współczynnik reakcji aerodynamicznej.
 c_n — współczynnik składowej normalnej reakcji aerodynamicznej.
 c_t — współczynnik składowej stycznej reakcji aerodynamicznej.

c_m — współczynnik mom. szyb. wzgl. krawędzi natarcia.

c_{mg} — współczynnik mom. szyb. wzgl. środka ciężkości.

M_q kgm — moment aerodynamiczny wzgl. środka ciężkości szybowca.

δ kg/m³ — ciężar właściwy powietrza.

g m/sek² — przyspieszenie grawitacji.

q kg/m² — ciśnienie szybkości.

v m/sek — szybkość lotu szybowca.

S m² — powierzchnia nośna.

Z m — głębokość płata.

Q kg — ciężar szybowca w locie.

Q/S kg/m² — obciążenie jednostkowe.

t_0, t_1 m — odległość środka ciężkości od przedniej krawędzi (w kierunku stycznej do cięciwy).

n_0, n_1 m — odległość środka ciężkości od przedniej krawędzi (w kierunku normalnej do cięciwy).

$\mu = \frac{\partial c_{mg}}{\partial c_n}$ — współczynnik stateczności statycznej podł.

$\nu = \frac{\partial c_{mg}}{\partial \beta}$ — współczynnik czułości steru wysokości.

$\varrho = \frac{\partial c_n}{\partial \beta}$ współczynnik zwrotności.

k — współczynnik Toussaint'a.

2. Wstęp. Cel pomiarów w locie.

Na wzór pomiarów wykonanych zagranicą (Niemcy, Holandia, U. S. A.) na samolotach motorowych, Instytut Techniki Szybownictwa we Lwowie wykonał w ubiegłym roku pomiary stateczności statycznej podłużnej szybowców w locie.

Pomiary w locie stawiają sobie najczęściej za zadanie wyznaczenie wielkości współczynników, charakteryzujących własności aerodynamiczne szybowców. Pomiary takie stanowią ostateczną kontrolę przewidywań konstruktora, opartych (przynajmniej dotychczas) na pomiarach laboratoryjnych. Więc przez pomiary w locie i następne ich porównanie z badaniami tunelowymi, możemy wyznaczyć poprawki, które należałoby uwzględniać przy określaniu własności nowych szybowców, dla których mamy wykonane dmuchania w tunelu aerodynamicznym.

3. Rodzaje pomiarów w locie.

Własności szybowców, określone na podstawie badań tunelowych, mogą być sprawdzone w locie jakościowo lub ilościowo.

Badania w locie dla jakościowego określenia stateczności, sterowności i wogóle sprawności szybowca, mają jedynie za cel sprawdzenie przez jednego lub wielu pilotów czy szybowiec jest zdalny do użytku, do którego był zgóry przeznaczony; czy nie przedstawia specjalnych trudności w pilotażu i czy spełnia założone warunki bezpieczeństwa.

Widać z tego, że oceny jakościowe, przeprowadzane przez instytucje kontrolujące są zależne od „nastroju“ pilota, który przeprowadza badanie. Jego wnioski są wnioskami subiektywnymi, które zasadniczo nie powinny być miarodajnymi dla techniki. Zbyt daleko posuniętą subiektywności tych wniosków zmniejsza się przez wypośrodkowanie „wrażen“ poszczególnych pilotów, oblatujących badaną maszynę. Stąd konieczność wprowadzenia jednostajnych druków z pytaniami dla pilotów.

Próby jakościowe mimo swych wad nie mogą być zarzucone. Należy je uważać za badania wstępne, (które pozwalają na usunięcie bardziej uchwytynych dla pilota właściwości ujemnych maszyn: np. drgania, zbyt widoczna niestateczność i t. p.), przed podjęciem badań właściwych, którymi mogą być jedynie pomiary ilościowe. — Wprawdzie i przy pomiarach ilościowych wpływ pilota („l'équation personnelle“) się objawia, lecz jest on tak mały, że można go zupełnie pominąć. Podczas takiego ilościowego pomiaru pilot nie mówi i nie pisze, gdyż przyrządy rejestrują

$$(1) \quad M_G = -P_n(t-a) - P_t \cdot n = M_0 - P_n t - P_t n$$

$$M_G = c_{mg} \frac{\delta}{2g} v^2 Sl.$$

W celu uproszczenia rozważań przyjęto, że płat oddziaływa tylko na usterzenie poziome [4, 5, 6, 18]. Inne elementy uważamy za wolne od wpływu płata. Stąd wniosek, że moment, a więc i współczynnik c_{mg} jest funkcją tylko dwu zmiennych: kąta natarcia płata i oraz kąta wychylenia steru wysokości β . W rzeczywistości wszystkie elementy szybowca znajdują się w polu oddziaływania płata. Zależność tę możemy wyrazić w formie

$$(2) \quad \dots \dots c_{mg} = f(i^0, \beta^0) \text{ lub} \\ c_{mg} = f(c_n, \beta^0).$$

Przyrost momentu reakcji aerodynamicznej przy zmianie kąta natarcia o Δi jest równy

$$(3) \quad \dots \dots \Delta M_G = \frac{\delta}{2g} v^2 Sl \frac{dc_{mg}}{di} \Delta i$$

Zaś stosunek przyrostu momentu do przyrostu kąta wynosi:

$$(4) \quad \dots \dots \frac{\Delta M_G}{\Delta i} = \frac{\delta}{2g} v^2 Sl \frac{dc_{mg}}{di}$$

Oznaczamy:

$$(5) \quad \dots \dots \mu = \frac{dc_{mg}}{di}.$$

Jest to współczynnik zależny jedynie od własności aerodynamicznych szybowca. Wielkość tę nazywamy współczynnikiem stateczności statycznej podłużnej²⁾ lub statecznością właściwą [13, 18, 4].

Dla lotu statecznego trwałego muszą być spełnione następujące warunki:

a) dla równowagi

$$M_G = 0$$

b) dla stateczności

$$\frac{dM_G}{di} > 0.$$

Przechodząc do współczynników, warunki te możemy przedstawić w formie:

$$a') \quad c_{mg} = 0$$

$$b') \quad \frac{dc_{mg}}{dc_n} > 0.$$

Ponieważ możemy przyjąć z dostateczną ścisłością, że w zakresie użytkowych kątów natarcia współczynnik c_n jest proporcjonalny do $\sin i$, za-

²⁾ Alayrac przyjmuje za współczynnik stateczności statycznej podłużnej wyrażenie:

$$I_s = \frac{dM_G}{di} = \frac{\delta}{2g} v^2 Sl \mu,$$

zaś Toussaint:

$$T_s = \frac{g}{Q} \frac{dM_G}{di} = \frac{g}{Q} \frac{\delta}{2g} v^2 Sl \mu = \frac{g}{Q} I_s.$$

Są to współczynniki niewygodne w użyciu, gdyż uwzględniają własności konstrukcyjne szybowców (ciężar, powierzchnia nośna, głębokość płata).

tem miarą stateczności statycznej podłużnej może być wyrażenie:

$$(5a) \quad \dots \dots \mu' = \frac{dc_{mg}}{dc_n}$$

oznaczające stosunek przyrostu współczynnika momentu do przyrostu współczynnika składowej normalnej reakcji aerodynamicznej.

Ta wartość jest wygodniejszą do wyznaczenia, ponieważ zamiast pomiaru kąta natarcia płata, wystarczy zmierzyć szybkość szybowca względem powietrza co jest znacznie łatwiejsze do wykonania.

Z drugiej strony w locie rzeczywistym jedynie istotną wielkością, od której zależy rodzaj ruchu i jego bezpieczeństwo, jest wartość siły nośnej, a nie wielkość geometryczna kąta natarcia.

Wiemy już, że

$$(2a) \quad \dots \dots c_{mg} = f(c_n, \beta).$$

Różniczka zupełna współczynnika momentu szybowca wynosi:

$$(6) \quad \dots \dots dc_{mg} = \frac{\partial c_{mg}}{\partial c_n} dc_n + \frac{\partial c_{mg}}{\partial \beta} d\beta$$

Jeśli dla pewnej pary wartości c_n oraz β szybowiec jest w równowadze (pomiar wykonujemy dla lotu ślizgowego), wówczas z warunku równowagi mamy:

$$dc_{mg} = 0,$$

czyli:

$$(6a) \quad \dots \dots \frac{\partial c_{mg}}{\partial c_n} dc_n + \frac{\partial c_{mg}}{\partial \beta} d\beta = 0$$

Dalej

$$(7) \quad \dots \dots \frac{\partial c_{mg}}{\partial c_n} = - \frac{\partial c_{mg}}{\partial \beta} \cdot \frac{d\beta}{dc_n},$$

względnie

$$(8) \quad \dots \dots \frac{\partial c_{mg}}{\partial \beta} = - \frac{\partial c_{mg}}{\partial c_n} \cdot \frac{dc_n}{d\beta}.$$

Z zależności (7) i (8) możemy skorzystać dla wyznaczenia jednego ze współczynników, jeżeli dwa z nich potrafimy zmierzyć. Współczynniki te nazywamy [4, 18, 13]:

$\frac{\partial c_{mg}}{\partial c_n} = \mu$ — współczynnikiem stateczności statycznej podłużnej lub statecznością właściwą.

$\frac{\partial c_{mg}}{\partial \beta} = V$ — współczynnikiem skuteczności statycznej (lub czułości) steru wysokości.

(9) $\frac{dc_n}{d\beta} = - \frac{V}{\mu} = \varrho$ — współczynnikiem zwrotności.

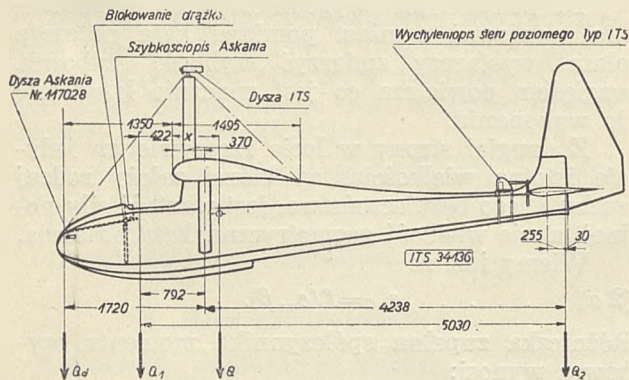
6. Pomiar w locie współczynników, odnoszących się do stateczności statycznej podłużnej.

a) Współczynnik zwrotności.

Współczynnik $\frac{d\beta}{dc_n}$ względnie $\frac{dc_n}{d\beta}$, podający

zmianę współczynnika siły normalnej w zależności od kąta wychylenia steru, a będący przyjętą miarą zwrotności, można wyznaczyć, mierząc

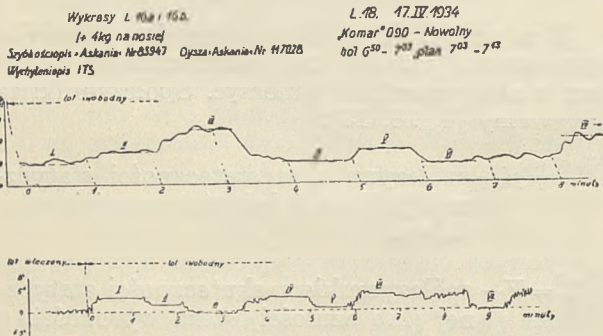
w locie szybowym jednostajnym przynależne sobie wartości szybkości po torze, kąta wychylenia steru poziomego i kąta nachylenia płata względem poziomu. Do tego celu wystarczą trzy przyrządy: szybkościopis, wychyleniopis steru poziomego oraz pochyleniopis wahadełkowy. Ryc. 4 podaje nam schemat rozmieszczenia przyrządów pomiarowych.



Ryc. 4.

Schemat rozmieszczenia przyrządów pomiarowych.

Postępowanie w czasie pomiaru było następujące: w locie ustalamy przez pewien okres czasu, wynoszący ≈ 1 min., szybkości stopniowe co 10 km/h , rozpoczynając od szybkości 100 do 120 km/h , a kończąc na szybkości najmniejszej (chcemy wykorzystać cały zakres szybkości). — W tym celu potrzebne jest urządzenie do blokowania drążka sterowego. Po ustaleniu się danej szybkości zaznaczamy zapomocą synchronizatora początek pomiaru na wszystkich przyrządach. Następnie trzymając nieruchomo stery, należy przeczekać około 1 min., zaznaczyć znów koniec pomiaru na danej szybkości. Późem przechodzimy do pomiaru przy innej szybkości — postępując jak poprzednio.



Ryc. 5.

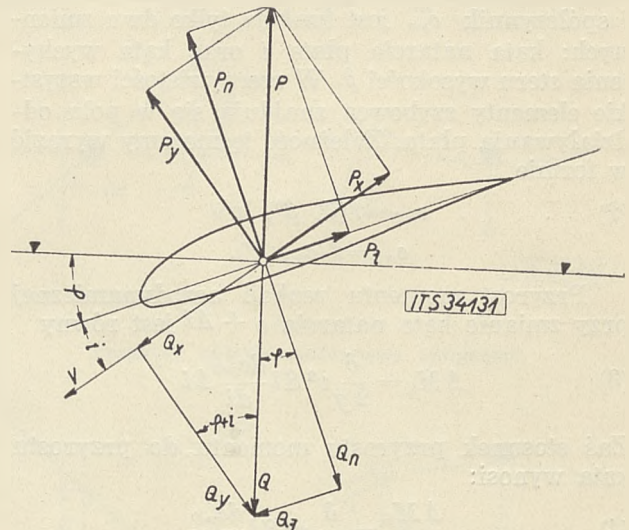
Dane z pomiarów w locie.

Jako wynik pomiaru otrzymamy wykresy (ryc. 5): szybkości, względnie ciśnienia szybkości, wychylenia steru wysokości oraz kąta pochylenia cięciwy płata jako funkcje czasu. Mamy więc wyznaczone następujące zależności:

$$\begin{aligned} q &= f(t) \\ \beta &= f(t) \\ \varphi &= f(t) \end{aligned}$$

Eliminując t , uzależnić możemy te wartości bezpośrednio od siebie. Dla każdej wartości t , otrzymujemy dwójki liczb, charakteryzujące lot szybowca w danej chwili.

Znając obciążenie jednostki powierzchni nośnej dla danego q możemy wyznaczyć wielkość współczynnika wypadkowej aerodynamicznej szybowca. Mamy bowiem (ryc. 6)



Ryc. 6.

Uproszczony schemat sił działających na płat.

$$c_r q \cdot S = Q, \text{ skąd}$$

$$(10) \quad \dots \quad c_r = \frac{Q/S}{q}$$

Wiemy także, że

$$P_n = P \cos \varphi, \text{ a więc także}$$

$$(11) \quad \dots \quad c_n = c_r \cos \varphi = \frac{Q/S}{q} \cos \varphi$$

Mając dane:

$$q = f(\beta) \text{ oraz}$$

$$c_n = f(q, \varphi), \text{ wyznaczymy zależność}$$

$$c_n = f(\beta).$$

Na Tab. I i Tab. II mamy zestawione wyniki pomiarów. Na ryc. 7 i ryc. 8 przedstawiono graficznie zależności $c_n = f(\beta)$ dla różnych położeń środka ciężkości. Krzywe te pozwalają nam na wyznaczenie wartości współczynnika zwrotności szybowca

$$\varphi = \frac{dc_n}{d\beta}.$$

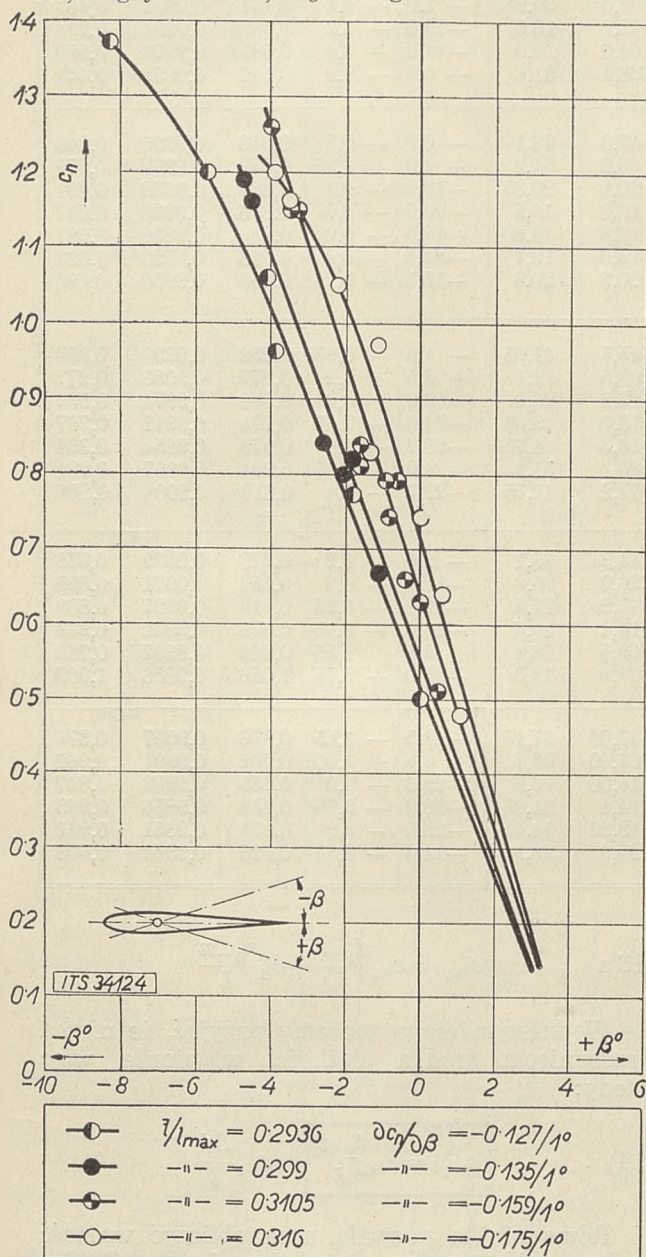
b) Współczynnik stateczności statycznej.

Pomiar współczynnika stateczności statycznej podłużnej polega na pomiarze zwrotności przy różnych położeniach środka ciężkości.

Przed każdym lotem należy wyznaczyć położenie środka ciężkości szybowca (na wadze). — Przez umieszczenie balastu na nosie, względnie na końcu kadłuba zmieniamy przed każdym lotem położenie środka ciężkości. Jeżeli normalnie środek ciężkości leży w $\approx 0,3$ głębokości płata,

to dla przeciętnego szybowca wystarczy przez dodanie maksymalnie 10 kg na nosie, względnie 5 kg na ogonie, przesunięcie środka ciężkości od $\sim 0,2$ do $\sim 0,5 l$.

Większe przesunięcia są niepotrzebne i niewskazane. Ze względu na bezpieczeństwo pilota należy balast zmieniać stopniowo, co 1 kg na nosie, względnie co 0,5 kg na ogonie. Zwrotność bo-



Ryc. 7.

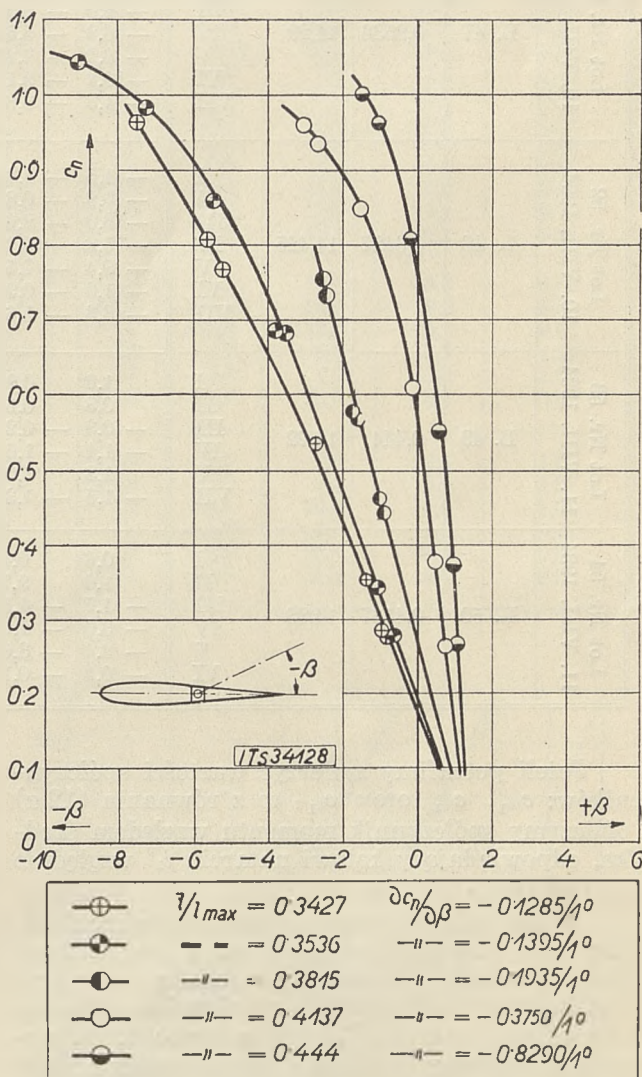
Wykresy c_n jako funkcja β dla szybowca „Komar“.

wiem szybowca zmienia się znacznie ze zmianą położenia środka ciężkości. Przy stopniowej zmianie balastu, pilotowi nie trudno ocenić dopuszczalną, ze względu na bezpieczeństwo, granicę przesunięcia środka ciężkości.

Jako wynik pomiarów przeprowadzonych dla kilku położenia środka ciężkości, otrzymaliśmy pęk krzywych (por. ryc. 7 i ryc. 8): $c_n = f(\beta)$. Każda z tych krzywych przynależy do jednego środka ciężkości.

W locie ślizgowym (stan równowagi statycz-

nej) wypadkowa reakcji aerodynamicznej przechodzi przez środek ciężkości szybowca i jest równa co do wartości ciężarowi. Moment jej względem środka ciężkości jest równy zeru. Jeżeli temu stanowi ruchu odpowiada kąt natarcia i^0 , to współczynniki charakteryzujące własności aerodynamiczne szybowca mają odpowiednie pojedyncze wartości: c_n , c_l , c_r oraz c_m . Jeżeli teraz pod wpływem krótkotrwałego zaburzenia kąt natarcia zmieni się, osiągając wielkości i_1^0 , to reakcja aerodynamiczna ogólnie przesunie się i wtedy daje moment względem środka ciężkości. Moment ten (jeżeli szybowiec jest stateczny statycznie) stara się przywrócić szybowiec do stanu



Ryc. 8.

Wykresy c_n jako funkcja β dla szybowca ITS II.

ruchu przed zaburzeniem. Temu nowemu kątowi natarcia $\angle i_1^0$ odpowiadają współczynniki: c_{n1} , c_{l1} , c_{r1} oraz c_{m1} . Współczynnik momentu względem środka ciężkości szybowca w pierwszym wypadku jest równy [13]:

$$(12) \quad \dots \quad c_{mG} = c_m - \frac{t}{l} c_n - \frac{n}{l} c_l = 0$$

W drugim zaś odpowiednio:

$$(12a) \quad \dots \quad c_{m1G} = c_{m1} - \frac{t}{l} c_{n1} - \frac{n}{l} c_{l1} = 0,$$

Tabela I. Zestawienie wyników z pomiarów dla szybowca „ITS II”.

L. p. i data lotu	L. p. wy- kresu	t/l_{max}	$k\text{ kg/m}^2$	Odcinek wykresu	$\beta\text{ mm}$ odczyt	β°	$q\text{ mm}$ odczyt	q kg/m^2	$\varphi\text{ mm}$ odczyt	φ°	$c_r = \frac{k}{q}$	$\cos \varphi$	$c_n = \frac{c_r}{\cos \varphi}$
Lot Nr. 49 9. VIII. 1934	L. 45	0,3815	13,95	I	— 2,8	— 2,5	17,8	18,4	— 18,5	— 6,4	0,758	0,9938	0,754
				II	— 1,8	— 1,6	24,5	24,5	— 12,0	— 4,2	0,5695	0,9974	0,568
				III	— 1,1	— 1,0	32,0	30,25	— 7,0	— 2,4	0,461	0,9991	0,461
				IV	— 2,7	— 2,4	18,2	18,9	— 19,0	— 6,6	0,7385	0,9934	0,734
				V	— 1,9	— 1,7	24,0	24,0	— 11,5	— 4,0	0,581	0,9976	0,580
				VI	— 1,0	— 0,9	33,4	31,6	— 6,3	— 2,2	0,442	0,9998	0,441
Lot Nr. 51 10. VIII. 1934	L. 47	0,3536	14,29	I	— 1,3	— 1,1	47,0	42,1	— 0,8	— 0,3	0,840	0,9999	0,340
				II	— 0,7	— 0,6	60,0	51,2	+ 4,0	+ 1,35	0,279	0,9997	0,279
				III	— 4,0	— 3,5	20,2	20,85	— 18,5	— 6,4	0,685	0,9938	0,681
				IV	— 6,2	— 5,5	16,0	16,5	— 23,0	— 8,0	0,866	0,9903	0,857
				V	— 8,2	— 7,25	13,8	14,35	— 28,5	— 9,9	0,996	0,9850	0,981
				VI	— 10,2	— 9,1	13,0	13,7	— 31,5	— 10,9	1,043	0,9820	1,024
				VII	— 4,3	— 3,8	20,3	20,8	— 16,5	— 5,75	0,686	0,9950	0,683
Lot Nr. 52 10. VIII. 1934	L. 48	0,3427	14,425	I	— 1,5	— 1,35	45,5	41,05	— 1,0	— 0,35	0,852	0,9999	0,352
				II	— 0,8	— 0,8	61,5	52,1	+ 3,5	+ 1,2	0,277	0,9998	0,277
				III	— 3,0	— 2,65	27,5	26,8	— 12,0	— 4,2	0,539	0,9974	0,537
				IV	— 5,8	— 5,2	18,0	18,65	— 22,0	— 7,65	0,774	0,9911	0,767
				V	— 8,4	— 7,5	14,3	14,75	— 28,2	— 9,8	0,978	0,9854	0,964
				VI	— 1,0	— 0,95	60	51,2	+ 4,0	+ 1,35	0,284	0,9997	0,284
				VII	— 6,3	— 5,6	17,2	17,75	— 22,5	— 7,8	0,813	0,9908	0,806
Lot Nr. 53 11. VIII. 1934	L. 49	0,444	14,22	I	1,2	0,95	41,3	38,1	— 2,0	— 0,7	0,373	0,9999	0,373
				II	0,8	0,60	26,0	25,6	— 12,5	— 4,3	0,556	0,0971	0,555
				III	— 0,3	— 0,2	17,0	17,5	— 20,0	— 6,95	0,815	0,9927	0,809
				IV	— 1,1	— 1,0	14,2	14,6	— 26,3	— 9,15	0,975	0,9872	0,963
				V	1,3	1,05	63,5	53,4	4,5	1,55	0,266	0,9997	0,266
				VII	— 1,5	— 1,3	13,8	14,0	— 28,0	— 9,75	1,016	0,9856	1,002
Lot Nr. 54 11. VIII. 1934	L. 50	0,4137	14,88	I	0,6	0,45	40,00	37,15	— 4,5	— 1,55	0,376	0,9997	0,376
				II	1,0	9,75	64,00	53,7	+ 4,5	+ 1,50	0,262	0,9997	0,262
				III	— 1,7	— 1,5	16,00	16,5	— 23,0	— 8,0	0,855	0,9903	0,847
				IV	— 3,0	— 2,65	14,4	14,85	— 28,0	— 9,75	0,948	0,9856	0,943
				V	— 3,4	— 3,0	13,95	14,45	— 28,5	— 9,9	0,975	0,9851	0,961
				VI	— 0,1	— 0,1	22,9	23,1	— 14,0	— 4,85	0,610	0,9964	0,608

Jeżeli potrafimy zmierzyć wartości współczynników: c_{m1} , c_{n1} oraz c_{t1} , to z równania (12 a) obliczymy współczynnik momentu względem środka, odpowiadający kątowi natarcia i_1^0 względnie wartości c_{n1} .

W tym celu przesuwamy środek ciężkości tak, aby przy locie na kącie natarcia i_1^0 , wypadkowa reakcja aerodynamiczna przechodziła przez środek ciężkości G_1 . (Musimy pamiętać o zachowaniu stałego kąta $\angle \beta^0$, gdyż w przeciwnym wypadku szybowiec zmieniłby swój kształt i kąty i_1^0 odpowiadałyby inne wartości współczynników) i znanym sposobem wyznaczamy $c_n = f(\beta)$. Dla tego nowego środka ciężkości G_1 równanie na wyznaczenie współczynnika momentu względem niego ma postać:

$$(12\ b) \quad c_{m1G1} = c_{m1} - \frac{t_1}{l} c_{n1} - \frac{n_1}{l} c_{t1} = 0.$$

Odejmując stronami równanie (12 b) od równania (12 a) otrzymamy:

$$(12) \quad c_{m1G} - c_{m1G1} = c_{n1} \frac{t_1 - t}{l} + c_{t1} \frac{n_1 - n}{l}$$

Ale wiemy, że $c_{m1G1} = 0$ (lot ślizgowy, stat. statycznie) więc ostatecznie otrzymamy:

$$(13\ a) \quad \dots c_{m1G} = c_{n1} \frac{t_1 - t}{l} + c_{t1} \frac{n_1 - n}{l}$$

W dalszym ciągu możemy przyjąć, że nie ma przesunięcia środka ciężkości w pionie, więc wtedy:

$$(14) \quad \dots c_{m1G} = c_{n1} \frac{t_1 - t}{l} = c_{n1} \frac{\Delta t}{l}$$

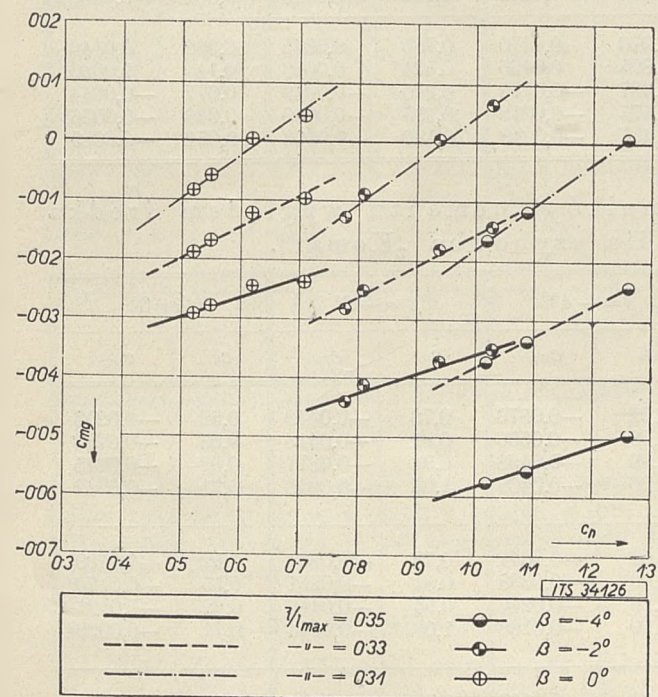
Równanie to pozwala nam obliczyć wartość współczynnika momentu względem środka G (dowolnie obranego), odpowiadającego wartości współczynnika siły normalnej c_{n1} . Przesunięcie środka ciężkości wyznaczamy rachunkiem, wając szybowiec przed każdym lotem na dwu waga. (Por. ryc. 3 a).

Zmieniając kilkakrotnie położenie środka i mierząc odpowiednie współczynniki c_n , odpowiadające lotowi jednostajnemu, przy zachowaniu stałego kąta wychylenia steru wysokości, obliczyć możemy wartości współczynników momentu względem dowolnego środka ciężkości. Nanosząc te wartości na wykres (ryc. 9 i 10), otrzymamy zależność

$$c_{mG} = f(c_n) \quad \beta = \text{const.}$$

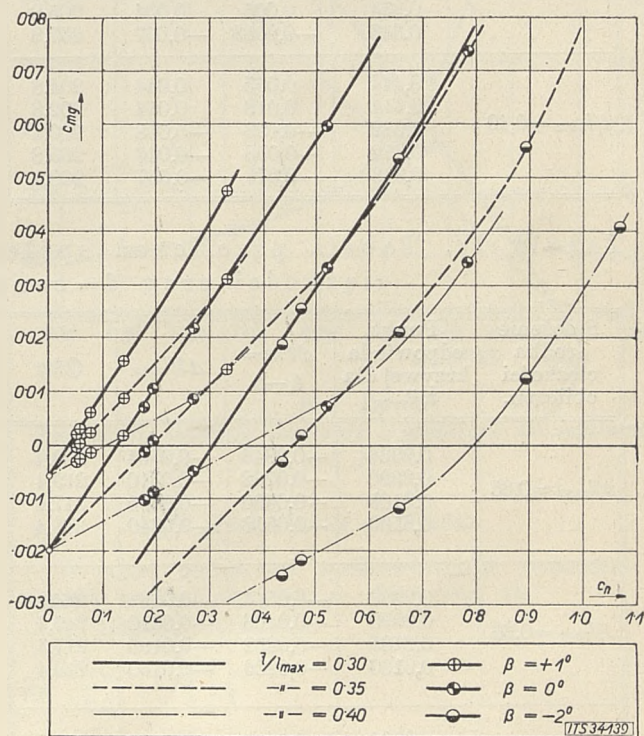
Tabela II. Zestawienie wyników z pomiarów dla szybowca „Komar”.

L. p. i data lotu	L. p. wykresu	l/l_{max}	$k=Q/S$ kg/m^2	Odcinek wykresu	β mm odczyt	β°	q mm odczyt	q kg/m^2	$c_n \cong \frac{k}{q}$
L. 16 17. IV. 1984	L. 14 a i 14 b	0,316	12,56	I	— 6,5	—3,9	8,5	10,5	1,20
				II	— 6,0	—3,5	8,8	10,8	1,16
				III	0,0	0,0	15,0	17,0	0,74
				IV	2,0	1,1	24,0	26,0	0,48
				V	1,2	0,6	17,5	19,6	0,64
				VI	— 1,8	—1,1	11,0	13,0	0,97
				VII	— 3,8	—2,2	10,0	12,0	1,05
				VIII	— 2,2	—1,3	13,0	15,1	0,83
L. 18 17. IV. 1984	L. 16 a i 16 b	0,3105	12,62	I	— 6,0	—3,9	9,0	11,0	1,15
				II	— 2,7	—1,6	13,5	15,6	0,81
				III	0,8	0,45	23,0	25,0	0,51
				IV	— 5,5	—3,3	9,0	11,0	1,15
				V	— 1,0	—0,6	14,0	16,0	0,79
				VI	— 6,6	—4,0	8,0	10,0	1,26
				VII	0,0	0,0	18,0	20,0	0,63
				IX	— 1,5	—0,9	14,0	16,0	0,79
L. 20 17. IV. 1984	L. 18 a i 18 b			X	— 0,6	—0,4	17,2	19,3	0,66
				XI	— 1,3	—0,8	15,0	17,0	0,74
				XII	— 2,8	—1,6	13,0	15,1	0,84
L. 26 19. IV. 1984	L. 24 a i 24 b	0,2990	12,73	I	— 2,0	—1,1	17,0	19,0	0,67
				II	— 3,5	—2,05	14,0	16,0	0,80
				III	— 4,7	—2,6	13,0	15,1	0,84
				IV a	— 8,5	—4,7	8,7	10,7	1,19
				IV b	— 8,2	—4,5	9,0	11,0	1,16
				V	— 3,0	—1,8	13,5	15,6	0,82
L. 28 19. IV. 1984	L. 26 a i 26 b	0,2936	12,78	I	— 9,5	—5,7	8,6	10,6	1,20
				II	—14,5	—8,3	7,5	9,3	1,37
				III	— 7,0	—4,1	10,0	12,0	1,06
				IV	— 3,0	—1,8	14,5	16,6	0,77
				V	0,0	0,0	23,4	25,4	0,50
				VI	— 6,5	—3,9	11,3	13,3	0,96



Ryc. 9.

Zależność c_{mg} jako funkcji c_n przy $\beta = \text{const.}$ dla szybowca „Komar”.



Ryc. 10.

Zależność c_{mg} jako funkcji c_n przy $\beta = \text{const.}$ dla szybowca ITS 11.

Z pochylenia tej krzywej możemy wyznaczyć wartość współczynnika stateczności statycznej podłużnej:

$$\mu = \frac{\partial c_{mG}}{\partial c_n}$$

dla danego środka ciężkości i danego kąta β .

Przy przeliczeniu postępujemy w następujący sposób: każdą z krzywych podanych na ryc. 7 i ryc. 8 możemy przedstawić w postaci:

$$c_n = f\left(\beta; \frac{t}{l_{max}}\right) = \text{const.}$$

Kładąc $\beta = \text{const}$, łatwo wyznaczyć zależność

$$c_n = f_1\left(\frac{t}{l_{max}}\right)_{\beta=\text{const.}}$$

Wystarczy w tym celu przecinać pęk krzywych $c_n = f(\beta)$ prostymi $\beta = \text{const}$.

Tablice III i IV podają nam zestawienie przeliczenia współczynników momentu dla różnych środków ciężkości. Wartości te następnie naniesiono na wykresy (ryc. 9 i 10).

Tabela III. Tabela przeliczeń współczynników momentu względem środka ciężkości przy $\beta = \text{const}$ dla szybowca ITS II.

Położenie środka ciężkości obliczen.	Punkt odpowiada krzywej dla t_1/l_{max}	$\Delta t m =$ $= t_1 - t$	$\Delta t/l_{max}$	$Q \text{ kg}$	$\beta = -2^\circ$		$\beta = 0^\circ$		$\beta = +1^\circ$	
					c_n	c_{mG}	c_n	c_{mG}	c_n	c_{mG}
$t/l_{max} = 0,30$	0,444	0,180	0,144	204,8	1,07	0,154	0,785	0,113	0,332	0,048
	0,414	0,1425	0,114	202,8	0,895	0,102	0,524	0,0597	0,140	0,016
	0,382	0,1020	0,082	200,8	0,657	0,0538	0,270	0,0221	0,077	0,0063
	0,354	0,0675	0,054	205,8	0,475	0,0256	0,195	0,0105	0,056	0,0030
	0,343	0,0537	0,043	207,8	0,437	0,0188	0,180	0,0077	0,051	0,0022
$t/l_{max} = 0,35$	0,444	0,118	0,094	204,8	1,07	0,1006	0,785	0,0738	0,332	0,0312
	0,414	0,080	0,064	202,8	0,895	0,0573	0,524	0,0336	0,140	0,0089
	0,382	0,040	0,032	200,8	0,657	0,0211	0,270	0,0087	0,077	0,0025
	0,354	0,005	0,004	205,8	0,475	0,0019	0,195	0,0008	0,056	0,0002
	0,343	-0,0088	-0,007	207,8	0,437	-0,0031	0,180	-0,0013	0,051	-0,00036
$t/l_{max} = 0,40$	0,444	0,055	0,044	204,8	1,070	0,0470	0,785	0,0345	0,332	0,0146
	0,414	0,018	0,014	202,8	0,895	0,0125	0,524	0,0073	0,140	0,0020
	0,382	-0,023	-0,018	200,8	0,657	-0,0118	0,270	-0,0049	0,077	-0,0014
	0,352	-0,058	-0,046	205,8	0,475	-0,0218	0,195	-0,0090	0,056	-0,0026
	0,343	-0,071	-0,057	208,8	0,437	-0,0249	0,180	-0,0103	0,051	-0,0029

Tabela IV. Tabela przeliczeń współczynników momentu względem środka ciężkości przy $\beta = \text{const}$ dla szybowca „Komar”.

Położenie środka ciężkości obliczen.	Punkt odpowiada krzywej dla t_1/l_{max}	$\Delta t m =$ $t_1 - t$	$\Delta t/l_{max}$	$Q \text{ kg}$	$\beta = -4^\circ$		$\beta = -2^\circ$		$\beta = 0^\circ$	
					c_n	c_{mG}	c_n	c_{mG}	c_n	c_{mG}
$t/l_{max} = 0,35$	0,2936	-0,0843	-0,0564	220,4	1,02	-0,0576	0,78	-0,0440	0,52	-0,0293
	0,2990	-0,0762	-0,0510	219,4	1,09	-0,0556	0,81	-0,0413	0,55	-0,0280
	0,3105	-0,0590	-0,0395	217,4	1,26	-0,0498	0,94	-0,0371	0,62	-0,0245
	0,3160	-0,0508	-0,0340	216,4	1,20	-0,0408	1,03	-0,0350	0,71	-0,0242
$t/l_{max} = 0,33$	0,2936	-0,0544	-0,0364	220,4	1,02	-0,0371	0,78	-0,0284	0,52	-0,0189
	0,2990	-0,0463	-0,0310	219,4	1,09	-0,0338	0,81	-0,0251	0,55	-0,0170
	0,3105	-0,0292	-0,0195	217,4	1,26	-0,0246	0,94	-0,0183	0,62	-0,0121
	0,3160	-0,0209	-0,0140	216,4	1,20	-0,0168	1,03	-0,0144	0,71	-0,00994
$t/l_{max} = 0,31$	0,2936	-0,0245	-0,0164	220,4	1,02	-0,0167	0,78	-0,0128	0,52	-0,0085
	0,2990	-0,0164	-0,0110	219,4	1,09	-0,0120	0,81	-0,0089	0,55	-0,0060
	0,3105	0,00075	0,0005	217,4	1,26	0,0006	0,94	0,00047	0,62	0,0003
	0,3160	0,0089	0,0060	216,4	1,20	0,0072	1,03	0,0062	0,71	0,0043

c) Współczynnik czułości steru.

Znając wartości odpowiadające sobie współczynnika stateczności statycznej podłużnej

$\mu = \frac{\partial c_{mG}}{\partial c_n}$ oraz współczynnika zwrotności szybowca

$\varrho = \frac{d c_n}{d \beta}$, obliczyć możemy wartość współczynnika czułości (skuteczności) steru wysokości z równania (8).

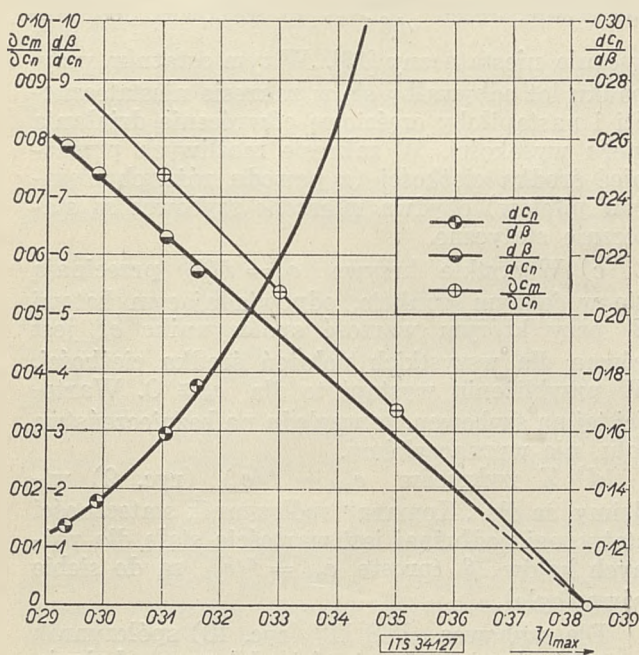
7. Instrumenty.

Podczas pomiarów stateczności statycznej podłużnej na szybowcach w locie mierzone były następujące wielkości:

1. Ciśnienie dynamiczne $q = \frac{\rho v^2}{2}$.
2. Kąt wychylenia steru wysokości $\pm \beta^\circ$.
3. Kąt nachylenia cięciwy płata względem poziomu $\nabla \varphi$.

Wielkość ciśnienia dynamicznego mierzyły dwa tachografy „Askania“ z dyszami Venturiego, wycechowane według q w tunelu aerodynamicznym. Operowanie ciśnieniem prędkości niezależna nam pomiar od zmian temperatury i gęstości powietrza ze zmianą wysokości. Jeden tachograf typu normalnego z dyszą dobraną tak, aby można było uzyskać całą szerokość skali przy możliwych w czasie pomiarów prędkościach. Przyrząd umieszczony był w kabinie pilota. — Drugi tachograf, podobnej konstrukcji jest częścią czworopisu „Askania“. Na wspólnym bębnie znaczą swoje wychylenia: tachograf, dwa barografy i pochyleniomierz wahadełkowy. Położenie zerowe wahadełka jest odniesione do poziomego położenia cięciwy płata. Steropis ITS posiada mechaniczne, dźwigniowe przeniesienie ruchu steru bezpośrednio na ramię piszące (ryc. 14). Szereg otworów na dźwigni pozwala dobrać najkorzystniejszą przekładnię dla wyzyskania skali.

Wszystkie przyrządy posiadały dodatkowe piórka synchronizatora, uruchamiane elektrycznie (konstrukcja ITS) przez pilota. Umożliwia to dokładną synchronizację punktów pomiarowych nawet na bębnach o różnych szybkościach obrotowych.



Ryc. 11.

Zestawienie wyników pomiarów i przeliczeń dla szybowca „Komar“.

Mechanizmy zegarowe wszystkich przyrządów były wprawiane w ruch z kabiny pilota. — Wszystkie przyrządy przed pomiarami były dokładnie cechowane.

8. Stopień dokładności.

Jak wiemy dokładność przyrządów zależna jest w znacznym stopniu od warunków ich pracy. Aby te błędy zmniejszyć do możliwie najmniejszych granic, loty należy przeprowadzać w spokojnym powietrzu. Jeżeli jest wiatr, można wykonywać loty na takiej wysokości, na której

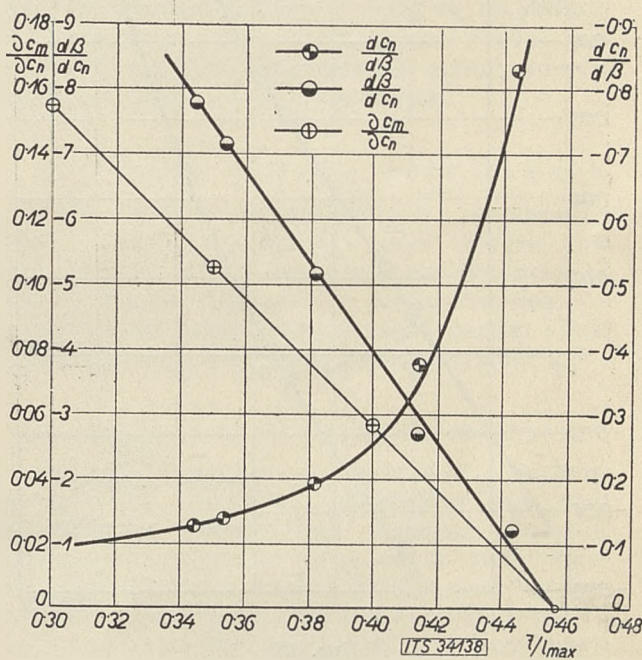
pulsacje spowodowane nierównościami terenu nie będą odczuwalne. Jeżeli gradient temperatury jest mały, wówczas nawet przy silnym wietrze wystarczy wysokość około 500 m. Dnie, względnie pory dnia o silnej termice nie nadają się do tego rodzaju lotów.

ITS wykonywał pomiary rankiem w godz. 4—7 oraz wieczorami między godz. 7—8.

Starano się bowiem pracować przy jaknajlepszych warunkach.

Niżej podajemy błędy odczytów na przyrządach pomiarowych:

Wielkość	Błąd	Wielkość	Błąd	Uwaga
Ciężar Q	0,5 kg	Ciśnienie prędkości q	0,2 kg/m ²	Wartość obl. z krzywych cechow.
		Nachylenia steru wysokości β	0,2°	
Powierzchnia S	0,02 m	Pochylenia cięciwy płata φ	0,2°	



Ryc. 12.

Zestawienie wyników pomiarów i przeliczeń dla szybowca ITS II.

9. Zestawienie wyników.

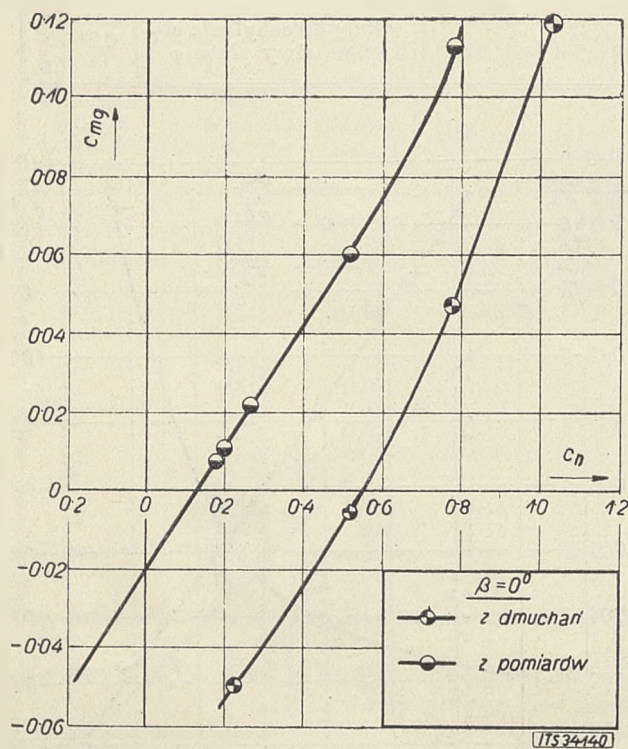
Wyniki pomiarów współczynników przedstawiamy wykreślić na ryc. 11 i ryc. 12. w postaci zależności:

$$\begin{aligned}
 a) \quad \frac{\partial c_{mG}}{\partial c_n} &= f\left(\frac{t}{l}\right) \\
 b) \quad \frac{\partial c_n}{\partial \beta} &= f\left(\frac{t}{l}\right) \\
 c) \quad \frac{\partial \beta}{\partial c_n} &= f\left(\frac{t}{l}\right)
 \end{aligned}$$

Porównując wartości współczynników wyznaczonych na podstawie pomiarów w locie i tunelu aerodynamicznym, zauważymy dostateczną zgodność obu rodzajów pomiarów. Małe stosunkowo różnice dadzą się uzasadnić (patrz niżej). Na ogół współczynniki otrzymane w tunelu aerodynamicznym są większe niż wymierzone w locie rzeczywistym. W celu porównania ze sobą wielkości współczynników, przeliczono je dla położenia środka ciężkości, określonego stosunkiem $\frac{t}{l_{max}} = 0,300$. Dla szybowca ITS II współczynnik stateczności statycznej podłużnej, odniesiony do współczynnika siły normalnej wyznaczony w locie jest równy $\mu_l = 0,155$ (ryc. 13), podczas gdy ten sam współczynnik wyznaczony na podstawie dmuchań tunelowych wynosi:

$$\mu_t = 0,174.$$

(Przesunięcie krzywych z lotu i badań tunelowych spowodowane może być różnymi kątami zaklinowania statecznika w locie i w tunelu).



Ryc. 13.

Wykres stateczności statycznej dla szybowca ITS II uzyskany z pomiarów w tunelu i w locie (dla $\frac{t}{l} = 0,3$).

Ten sam współczynnik dla szybowca „Komara“, dla tego samego położenia środka ciężkości, wyznaczony w locie jest równy

$$\mu_l = 0,084.$$

Wartość współczynnika statycznej skuteczności steru z pomiarów w locie wynosi dla tego samego położenia środka ciężkości dla szybowca ITS II

$$\nu_{ITS II} = 0,0142.$$

Dla „Komara“ współczynnik statycznej skuteczności steru (dla $\frac{t}{l_{max}} = 0,3$) wyznaczony w locie

jest równy

$$\nu_K = 0,0116.$$

Jest on znacznie mniejszy niż dla szybowca ITS II. Jest to zgodne z rzeczywistością, gdyż jak wiemy stery niedzielone, a taki jest u „Komara“, mimo większej wartości $\frac{dc_n}{d\beta}$ są mniej skuteczne niż te ostatnie.

10. Wnioski z pomiarów w locie.

a) Z wykresu funkcji (ryc. 8 i ryc. 7): $c_n = f(\beta)$ ($\frac{t}{l} = \text{const}$) widzimy, że przesuwanie środka ciężkości do tyłu zwiększa zwrotność szybowca, gdyż wartość $\varphi = \frac{dc_n}{d\beta}$ rośnie ze wzrostem stosunku $\frac{t}{l_{max}}$.

b) Z przebiegu krzywych $c_n = f(\beta)$ od razu widać, czy dany szybowiec jest statycznie stateczny, czy też nie. Jeżeli $\frac{dc_n}{d\beta} < 0$, to przy omówionych ruchach kąta β szybowiec jest stateczny statycznie. Jeżeli $\frac{dc_n}{d\beta} > 0$, to szybowiec jest statycznie niestateczny [13]. W tym ostatnim przypadku lot odbywałby się w zakresie niestateczności i nastąpiłoby częściowe odwrócenie działania steru wysokości. W zakresie możliwych przesunięć środka ciężkości (z powodu różnych ciężarów pilotów) obydwie mierzone szybowce są statecznie statyczne.

c) Wszystkie krzywe $c_n = f(\beta)$ przecinają się w jednym punkcie, odpowiadającym kątowi β , przy którym wartość współczynnika c_{mg} jest równa dla wszystkich położów środka ciężkości. W przybliżeniu wystąpi to dla $c_n \approx 0$. Wartości tej na szybowcu, ze względu na bezpieczeństwo lotu, nie wyznaczaliśmy.

d) Z wykresów $c_{mg} = f(c_n)$ (ryc. 9) widzimy, że dla „Komara“ współczynnik stateczności statycznej podłużnej jest wartością stałą dla różnych kątów β (proste $c_{mg} = f(c_n)$ są do siebie równoległe).

Dla szybowca „ITS II“ (ryc. 10) współczynnik ten zmienia się w zależności od kąta wychylenia steru wysokości, co jest zgodne z rzeczywistością, gdyż te same krzywe, wyznaczone na podstawie badań tunelowych, mają ten sam charakter.

Wartość współczynnika rośnie przy zmniejszaniu się kąta β (c_n rośnie). Na wykresach (ryc. 11 i ryc. 12) nanieśliśmy średnią wartość współczynnika stateczności statycznej podłużnej t. zn. dla $\beta = 0^\circ$.

Wartość współczynnika μ maleje z przesuwaniem się środka ciężkości ku tyłowi szybowca.

e) Zależności: $\frac{\partial c_{mg}}{\partial c_n} = f\left(\frac{t}{l}\right)$ oraz $\frac{d\beta}{dc_n} = f\left(\frac{t}{l}\right)$ przedstawiają się prostymi, przecinającymi się na osi $\left(\frac{t}{l_{max}}\right)$ (por. ryc. 11 i 12) przy pewnej war-

tości tego stosunku, różnej dla każdego z badanych szybowców. Przy tym stosunku $\left(\frac{l}{l_{max}}\right)$ współczynnik zwrotności szybowca jest nieskończenie wielki. Jest to graniczne położenie środka ciężkości. Dla mniejszych wartości stosunku $\left(\frac{l}{l_{max}}\right)$

od krytycznej, lot odbywa się w zakresie stateczności statycznej; dla wartości większych przechodzimy do zakresu niestateczności.

Spółczynnik zwrotności ze zmianą środka ciężkości, zmienia się hiperbolicznie, rosnąc przy przesuwaniu środka ku tyłowi.

Spółczynnik czułości usterzenia jest niezależny od położenia środka ciężkości, gdyż otrzymujemy go jako iloraz rzędnych dwu funkcji, przedstawionych prostymi, przecinającymi się na osi odciętych. Wiemy, że stosunek taki jest stały.

f) Łatwo spostrzec, że pochodna (ryc. 11 i 12)

$$\frac{d\left(\frac{\partial c_{mG}}{\partial c_n}\right)}{d\left(\frac{x}{l_{max}}\right)} = \sigma$$

jest wartością stałą dla obydwu szybowców.

Wartość ta wynosi dla badanych szybowców: $\sigma \cong -1$.

(Ścisłe: dla „Komara” $\sigma_k = -1,05$, zaś dla „ITS II” $\sigma_{ITS II} = -1,02$).

Wynik pomiaru jest zgodny z rozważaniem teoretycznym. Łatwo bowiem wykazać rachunkiem, że $\sigma \cong -1$.

11. Przypuszczalne przyczyny różnic między pomiarami w locie i tunelu aerodynamicznym.

Aby pomiary w locie przyniosły przewidywaną korzyść, należy wyniki, uzyskane podczas tych pomiarów — porównać z podobnymi — uzyskanymi w tunelu aerodynamicznym.

Dmuchaając modele w tunelu aerodynamicznym porobiliśmy wiele założeń upraszczających których słuszność sprawdzamy właśnie podczas pomiarów, wykonywanych w locie normalnym, rzeczywistym.

Przez porównanie wyników uzyskanych w obu rodzajach pomiarów, wyznaczyć możemy poprawki, które należałoby uwzględnić, przeliczając własności (nowych szybowców) na podstawie dmuchań tunelowych, które są mniej kosztowne, no i łatwiejsze w wykonaniu niż pomiary na szybowcach w locie.

Instytut Techniki Szybownictwa nie podaje wielkości poprawek, które wyznaczyć można dopiero po wykonaniu bardzo licznych pomiarów w locie. Na tem miejscu podajemy tylko drogę, którądy pójść należało, aby te poprawki, dostatecznie dobrane dla obliczeń technicznych — uyskać.

Aby takie pomiary przeprowadzić, trzeba dużego taboru szybowców, trzeba mieć wyszkolony w tym kierunku personel pomiarowy no i w końcu specjalnie wykonane przyrządy, aby sprowadzić do minimum wpływ błędów pomiarowych.

Porównując wartości współczynników wyznaczonych w locie ze współczynnikami uzyskanymi w tunelu dla szybowca ITS II, widzimy, że wiel-

kości ich dość dobrze się zgadzają. Z powodu różnych warunków w jakich odbywają się obydwa rodzaje pomiarów, różnice te winny wystąpić, zwłaszcza wobec zgóry założonego celu: — sprawdzenia wpływu założeń uprawniających przy dmuchaniach tunelowych. Różnice te dadzą się dostatecznie wytłumaczyć.

a) Wpływ prawa podobieństwa.

Model zredukowany, używany podczas pomiarów tunelowych, jest podobny geometrycznie do rzeczywistego szybowca o tyle, o ile to jest możliwe. Aby móc przenieść wyniki badań tunelowych na szybowiec rzeczywistej wielkości w locie normalnym, trzeba uwzględnić prawa podobieństwa (Reynolds, Bairstow, Froude). — Wpływ praw Bairstow’a i Froude’go jest bardzo mały, tak, że normalnie go pomijamy, uwzględniając tylko wpływ liczby Reynolds’a. Dmuchania tunelowe są zbliżone naogół przy stosunkowo małej liczbie Reynolds’a. W dzisiejszych tunelach aerodynamicznych uzyskuje się zaledwie od $\frac{1}{5}$ do $\frac{1}{25}$ R , odpowiadającego lotowi rzeczywistemu [1]. Inne są z tego powodu współczynniki reakcji aerodynamicznej w tunelu i w locie. Zmiana tych współczynników ze zmianą liczby Reynolds’a jest dość znaczna [1] [16], co wpływa na stateczność szybowca, która w pierwszym rzędzie zależy od wielkości odpowiednich współczynników wyporu i oporu płata i wsteczenia.

b) Wpływ oporów szkodliwych.

Przy modelu zredukowanym opuszczamy ściegna, słupki, zastrzały, gdyż zbyt ich zmniejszenie (mała wartość liczby Reynolds’a) dałoby wyniki niezgodne z rzeczywistością. — Opory takich zmniejszonych części bardzo silnie zmieniają się z wielkością liczby Reynolds’a.

c) Wpływ zawieszenia modelu.

W locie normalnym — rzeczywistym szybowca wszystkie parametry, określające jego ruch zmieniają się równocześnie. Podczas pomiarów tunelowych zakładamy, że są one w czasie trwania pomiaru stałe. Szybowiec jest zamocowany sztywnie i jego środek ciężkości w czasie pomiaru nie może oscylować swobodnie, gdy tymczasem w locie rzeczywistym środek ten posiada we wszystkich kierunkach swobodę [20].

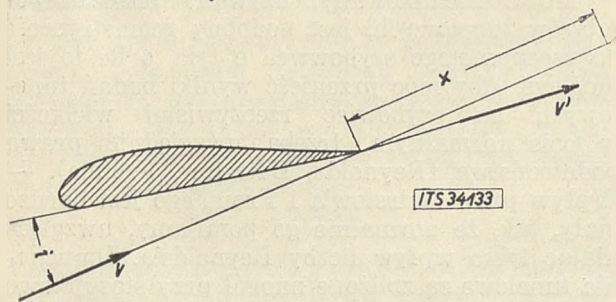
d) Wpływ rozkładu szybkości.

Z powodu oddziaływania płata na usterzenie zmienia się prócz kąta natarcia steru także szybkość powietrza nań działającego. Zmiana tej szybkości wywiera znaczny wpływ na wartość współczynnika stateczności statycznej podłużnej. Toussaint z pomiarów wyprowadził współczynnik empiryczny (k), uwzględniający stosunek szybkości strug na płacie i usterzeniu poziomem. Spółczynnik ten przedstawia stosunek kwadratów szybkości rzeczywistej na usterzeniu i szybkości lotu szybowca [4] [5]. Ta zmiana szybkości występuje z powodu zwirowania strug

powietrza za płatem. Wartość tego współczynnika oblicza się podług norm (ryc. 15):

$$k = \left(\frac{v - v'}{V} \right)^2 = 0,063 + \frac{1}{9} \sqrt{\frac{x_T}{l}}$$

We wzorze tym nie uwzględniono zmiany tego współczynnika z kątem pochyłości szybowca. Nowsze pomiary [12] wykazały, że stosunek tych szybkości zmienia się dość znacznie razem z kątem natarcia szybowca.



Ryc. 14.

Zmiana szybkości za płatem.

Od stosunku tych szybkości należy w znacznym stopniu skuteczność działania usterzenia poziomego, a przez to samo zmienia się także współczynnik stateczności statycznej podłużnej. Okazało się także, że w tunelu stosunek szybkości na płacie i usterzeniu zmienia się razem z kątem natarcia płata, lecz zmiana ta ma inny charakter, niż na szybowcu w locie rzeczywistym [12]. Na podstawie tego można wnioskować, że krzywe stateczności uzyskane w tunelu, różnią się od tych krzywych wyznaczonych w locie rzeczywistym.

e) Wpływ szpary na usterzeniu.

Pomiary wykonane w Niemczech wykazały znaczny wpływ szpary na usterzeniu na własności stateczne płatowca [8].

Przez usunięcie szpary uzyskano lepsze wyniki pod względem stateczności o kilka procent. Płatowiec był bardziej stateczny. Współczynnik stateczności równy zero osiągało się dla położenia środka ciężkości, przesuniętego bardziej do tyłu. Podczas pomiarów tunelowych szpara jest tak mała, że można uważać że szpary nie ma. W rzeczywistości szpara istnieje, a więc wpływ jej pogarszający własności już się objawia.

12. Zakończenie.

Aby wyznaczyć średnie wartości współczynników pomiarowych dla pomiarów w locie i tunelu aerodynamicznym, należałoby przeprowadzić cały szereg pomiarów w locie na różnych typach szybowców. W tym celu należy przygotować tabor i personel pomiarowy, świadomy swego zadania. Następnie należałoby udoskonalić przyrządy pomiarowe i wprowadzić nowe, któreby pozwalały na bezpośredni pomiar kąta natarcia płata, co pozwoliłoby na wyznaczanie zależności w zależności od tego kąta.

Wartości współczynników podanych w niniejszej pracy należy uważać za wielkości orienta-

cyjne. Celem bowiem głównym niniejszego sprawozdania było podanie metody pomiarów i drogi, którąby iść należało w celu dokładniejszego wyznaczenia współczynników średnich.

Literatura.

1. E. Allard: Cours d'aéronautique.
2. C. Biechteler: Einfluss eines Ausschnittes im Höhernder auf die statische Längsstabilität und die statische Höhenruderwirkung. — Luftfahrt Forschung B. 11. N. 1, S. 1. 1934.
3. A. Étéré; Les essais de centrage des avions. — Rap. I. congr. int. de la séc. aer. t. I, p. 42/III c.
4. Fr. Hans: Stabilité et maniabilité des avions.
5. Fr. Hans: Stabilité automatique des avions. — L'Aéronautique Nr. 156, 1932.
6. Fr. Hans: Le problème de la stabilité. — Rap. I. congr. int. de la séc. aer. t. 1, p. 3/III c.
7. W. Hübner: Stabilitätsmessungen im Fluge. — V. congr. int. de la navig. aer. La Haie 1930, p. 390.
8. W. Hübner: Flugmessungen über den Einfluss eines Spaltes zwischen Höhenruder und flosse auf die statische Stabilität und Steuerbarkeit um die Querachse. — ZFM. 1932, Nr. 11, S. 318.
9. W. Hübner: Einige Ergebnisse der erweiterten Prüfung der Eigenschaften des Flugzeugs Focke-Wulf F. 19 a >> Ente <<. — ZFM. 1933. Nr. 8, S. 223 u. Nr. 9, S. 255.
10. W. Hübner: Weitere Ergebnisse von Messungen der statischen Längsstabilität. — Luftfahrt-Forschung B. 11. Nr. 1, S. 5, 1934.
11. J. Köppen: Die Entwicklungsrichtung der Flugeigenschaften. — ZFM. 1933, Nr. 18, S. 505.
12. J. Leseure et Ch. Gourdon: La stabilité. — Rap. I. congr. int. de la séc. aer. t. III, p. 97.
13. G. Mokrzycki: Badanie stateczności w projekcie wstępnym płatowca.
14. J. Van Der Maas: Expériences en grandeur sur la stabilité longitudinale. — Rap. I. congr. int. de la séc. aer. p. 48/III.
15. J. Van Der Maas: Full scale experiments on longitudinal stability. Some notes on the means to reduce the danger of stalling. — Rap. V. congr. int. de la nav. aer. t. I, p. 376.
16. R. Pris: Influence des lois de similitude sur la mesure des forces et de la stabilité en soufflerie. — Rap. I. congr. int. de la séc. aer. t. III, p. 128/III c.
17. M. Pillard: L'efficacité des gouvernes. — Rap. I. comp. int. de la séc. aer. t. III, p. 55/III c.
18. M. Roy: Stabilité, centrage et maniabilité des avions dans le vol longitudinal, empenage et gouvernes de profondeur.
19. R. Toussaint: Essais en vol des avions.
20. J. Quessette: Etude théorique et expérimentale de la stabilité des avions.
21. J. Quessette: Les essais de stabilité. — L'Aéronautique Nr. 156. 1932.
22. A. Volmerange: La notion de stabilité et l'avion. Rap. I. congr. int. de la séc. aer. t. I, p. 69/III c.

Zastosowanie wykresów logarytmicznych w projekcie wstępnym szybowca.

L'application des diagrammes logarithmiques dans l'avant-projet d'un planeur.

L'Institut de la Technique du Vol sans Moteur a adapté aux buts de l'aviation sans moteur et des motoplans les méthodes des diagrammes logarithmiques introduits dans l'aviation par Eiffel. La première partie de l'étude rappelle les principes généraux de ces méthodes et donne leur adaptation aux buts de l'aviation sans moteur. La deuxième partie contient le mode d'emploi pratique des diagrammes.

Mode d'emploi des diagrammes. Les diagrammes sont exécutés en deux parties, le fond et le transparent. On trace sur le fond la polaire du profil ou du planeur et on peut déterminer, en appliquant le transparent, les quantités suivantes pour un point quelconque de la polaire:

a) Finesse. Elle est déterminée sur l'échelle de c_y/c_x par une droite passant par le point considéré et appartenant au réseau de droites inclinées à 45° . La valeur maximum de la finesse est déterminée par une droite tangente à la polaire.

b) c_y^3/c_x^2 . Ce rapport est déterminé sur l'échelle correspondant par une droite passant par le point considéré et appartenant au réseau de droites au coefficient angulaire $2/3$. La droite tangente à la polaire détermine $(c_y^3/c_x^2)_{max}$.

c) Vitesse sur la trajectoire ou vitesse horizontale. Elle est représentée par la longueur de la droite $c_y^3/c_x^2 = \text{const}$ contenue entre le point considéré de la polaire et le point d'intersection de cette droite avec la droite $\frac{Q}{S} = \text{const}$. On lit la valeur de la vitesse, exprimée en km/h , en portant cette longueur sur l'échelle de vitesse à gauche du point 0 ($50 km/h$), si le point en question de la polaire est situé au-dessous de la droite $\frac{Q}{S} = \text{const}$, et à droite dans le contraire.

d) Vitesse de descente du planeur. Elle est déterminée sur l'échelle v_y relativement w_z du transparent par une droite parallèle au réseau de droites $c_y/c_x = \text{const}$ et menée du point d'intersection de la droite $\frac{Q}{S} = \text{const}$ avec la droite $c_y^3/c_x^2 = \text{const}$ passant par le point en question de la polaire. La vitesse minimum de descente est déterminée par la droite menée du point d'intersection de la droite $\frac{Q}{S} = \text{const}$ et de la droite $c_y^3/c_x^2 = \text{const}$ tangente à la polaire.

e) Vitesse ascensionnelle d'un motoplaneur. Elle est la différence de deux quantités $w_{z_1} - w_{z_2}$. La quantité w_{z_2} est déterminée sur l'échelle v_y relat. w_z par une droite parallèle au réseau de droites $c_y/c_x = \text{const}$ et menée du point $\left(\frac{Q}{S}, \frac{N}{S}\right)$, la quantité w_{z_1} par une droite analogue menée du

point d'intersection de la droite $\frac{Q}{S} = \text{const}$ avec la droite $c_y/c_x^2 = \text{const}$ et passant par le point en question de la polaire. La vitesse ascensionnelle maximum sera égale à $w_{z_1} - w_{z_2}$. On détermine w_{z_2} de la même façon que la vitesse de descente minimum d'un planeur.

Oznaczenia: [W nawiasach podane jednostki używane w praktycznym zastosowaniu wykresów]

Q = ciężar w locie [kg];

S = powierzchnia nośna [m^2];

N = moc [KM z uwzględnieniem sprawności śmigła];

ρ = gęstość powietrza $\left[\frac{kg \text{ sek}^2}{m^4}\right]$;

c_y = spólc. siły nośnej;

c_x = spólc. oporu;

v = szybkość po torze wzgl. pozioma [$km/godz$];

v_y = szybkość opadania [m/sek];

w_z = szybkość wznoszenia [m/sek].

I. Założenia ogólne oraz uzasadnienie metody.

W projekcie wstępnym szybowca, po ustaleniu celu, do jakiego ten szybowiec ma służyć, konstruktor decyduje się na pewną koncepcję ogólną i w związku z tem przyjmuje pewne założenia dla takich wielkości jak: ciężar całkowity w locie, wymiary całości i niektórych elementów (np. przekrój kadłuba). Mając ustaloną koncepcję ogólną i wymiary niektórych elementów, może ocenić w pewnych granicach ścisłości wielkość oporów szkodliwych.

Chcąc osiągnąć możliwie najlepsze charakterystyki aerodynamiczne i wyczyny szybowca (doskonałość, szybkość opadania, szybkość po torze, zmiany tych wielkości) z uwzględnieniem przeznaczenia, do którego szybowiec ma służyć, konstruktor może dysponować doбором takich czynników jak profil, wydłużenie płata oraz obciążenie powierzchniowe. Dlatego ważnym jest móc łatwo i szybko, nawet kosztem pewnej dokładności, wyznaczać wartości funkcji $f(c_y) = c_y/c_x$ względnie $f_1(c_y) = c_y^3/c_x^2$ i mając ustaloną biegunową całego szybowca odczytywać małym nakładem pracy jego wyczyny dla różnych punktów biegunowej, jak szybkość po torze v i szybkość opadania v_y , w zależności od obciążenia powierzchni $Q/S \text{ kg/m}^2$. Obecnie wobec wzrastającej aktualności szybowców z silnikami, celem jest danie możliwości łatwego wyznaczania mocy potrzebnej do lotu poziomego N i szybkości wznoszenia przy ziemi w_z . Do wspomnianych celów bardzo dobrze nadaje się metoda biegunowych logarytmicznych, wprowadzona do projektowania płatowców przez Eiffla [1] i chętnie stosowana na Zachodzie w projekcie wstępnym.

W układzie prostokątnym zamiast wartości współczynników c_y i c_x , nanosimy logarytmy tych wartości. Przy takim ujęciu, dla stałych wartości funkcji $f(c_y) = c_y/c_x = \text{const}$ oraz $f_1(c_y) = c_y^3/c_x^2 = \text{const}_1$ otrzymamy odpowiednio:

$$\lg \text{const} = \lg c_y - \lg c_x$$

oraz $\lg \text{const}_1 = 3 \lg c_y - 2 \lg c_x$;

są to równania prostych o współczynnikach kierunkowych 1 i $2/3$.

Chcąc wyprowadzić interesujące nas związki dla całego szybowca, wychodzimy z zasadniczych równań lotu poziomego: [2]

$$Q = \frac{\rho}{2} \cdot c_y \cdot S \cdot v^2 \dots \dots \dots (1)$$

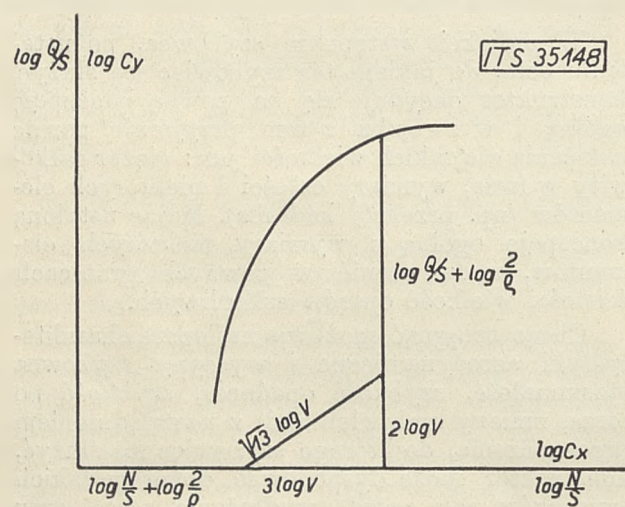
$$N = \frac{\rho}{2} \cdot c_x \cdot S \cdot v^3 \dots \dots \dots (2)$$

Równania powyższe zlogarytmowane przyjmą postać:

$$\lg c_y = \lg \frac{2}{\rho} + \lg \frac{Q}{S} - 2 \lg v$$

$$\lg c_x = \lg \frac{2}{\rho} + \lg \frac{N}{S} - 3 \lg v$$

Możemy przyjąć zatem, że odcięta biegunowej logarytmicznej składa się z odcinka $\lg \frac{2}{\rho} + \lg \frac{N}{S}$ pomniejszonego o odcinek $3 \lg v$ (ryc. 1), rzędna zaś z odcinka $\lg \frac{2}{\rho} + \lg \frac{Q}{S}$ po-



Ryc. 1.

Objaśnienie zasady sporządzania wykresów logarytmicznych.

mnieszonego o odcinek $2 \lg v$. Długość wypadkowej odcinków $2 \lg v$ i $3 \lg v$ może nam służyć do odczytywania prędkości lotu poziomego, gdyż jest ona proporcjonalna do tej prędkości:

$$\lg v \sqrt{3^2 + 2^2} = \sqrt{13} \lg v$$

zaś kierunek jej jest stały i odpowiada współczynnikowi $2/3$. Należy podać jedynie skalę z naniesionymi wartościami szybkości. Umieszczenie na osi odciętych odpowiedniej skali wartości

$\lg \frac{N}{S}$ oraz $\lg c_x$, na osi zaś rzędnych wartości

$\lg \frac{Q}{S}$ oraz $\lg c_y$, pozwala nam na znajdowanie

związków pomiędzy punktami biegunowej, obciążeniem powierzchniowym, szybkością lotu poziomego i mocą potrzebną do tego lotu. (Szczegółowe objaśnienia dotyczące się doboru i nanoszenia skal oraz konkretny opis użycia metody logarytmicznej znajduje się w części drugiej niniejszego artykułu).

W locie ślizgowym dla szybowców, wobec małych kątów planowania, ważnym jest równanie zasadnicze (1) przy czym $v = \infty v_x$ jest szybkością po torze, zaś v_x składową poziomą szybkości.

Moc potrzebną na pokonywanie oporów otrzymuje się z energii spadku, czyli:

$$N = \frac{\rho}{2} S c_x v^3 = Q \cdot v_y$$

Dzieląc przez S i logarytmując, otrzymujemy:

$$\lg v_y = \lg \frac{N}{S} - \lg \frac{Q}{S} \dots \dots \dots (3)$$

Związek ten wskazuje, że odcinek reprezentujący wartość $\lg v_y$, możemy przedstawić jako różnicę algebraiczną odcinków $\lg \frac{N}{S}$ oraz $\lg \frac{Q}{S}$.

Dla dowolnego punktu biegunowej logarytmicznej, mając obciążenie powierzchni, moc potrzebną do pokonywania oporów a wyrażającą się równaniem (2) znajdujemy, prowadząc prostą o współczynniku kierunkowym $2/3$ (równoległą do skali szybkości) aż do przecięcia się z prostą $\frac{Q}{S} = \text{const}$. Odcięta punktu przecięcia się tych prostych daje szukaną moc. Odejmowanie wyrażone równaniem (3) wykonujemy, prowadząc z wyznaczonego w powyższy sposób punktu prostą nachyloną pod kątem 45° do osi odciętych. Operacja ta posłuży nam do naniesienia skali szybkości opadania (patrz część druga).

Prędkość wznoszenia przy ziemi dla szybowca z silnikiem, możemy wyznaczyć dla dowolnego punktu biegunowej wychodząc z bilansu mocy w locie wznoszącym:

$$N = N_p + N_w$$

N_p jest mocą potrzebną na pokonanie oporów lotu (2), zaś N_w mocą zużywaną na wznoszenie:

$$N_w = Q w_z$$

czyli analogicznie do równania (3)

$$\lg w_z = \lg \frac{N_w}{S} - \lg \frac{Q}{S}$$

N_w wyznaczamy z wykresu logarytmicznego jako różnicę między mocą dostarczoną przez silnik z uwzględnieniem sprawności śmigła oraz mocą potrzebną do lotu poziomego w danym punkcie biegunowej, której sposób wyznaczania omówiliśmy wyżej. Do bezpośredniego wyznaczania w_z wzg. v_y służy osobna skala (patrz cz. II).

II. Sposób użytkowania.

1). Ogólne uwagi o sporządzaniu skal.

Do użytku praktycznego wykonujemy wykresy logarytmiczne w dwóch częściach jako tło i jako przeźroczce (ryc. 2 i 3).

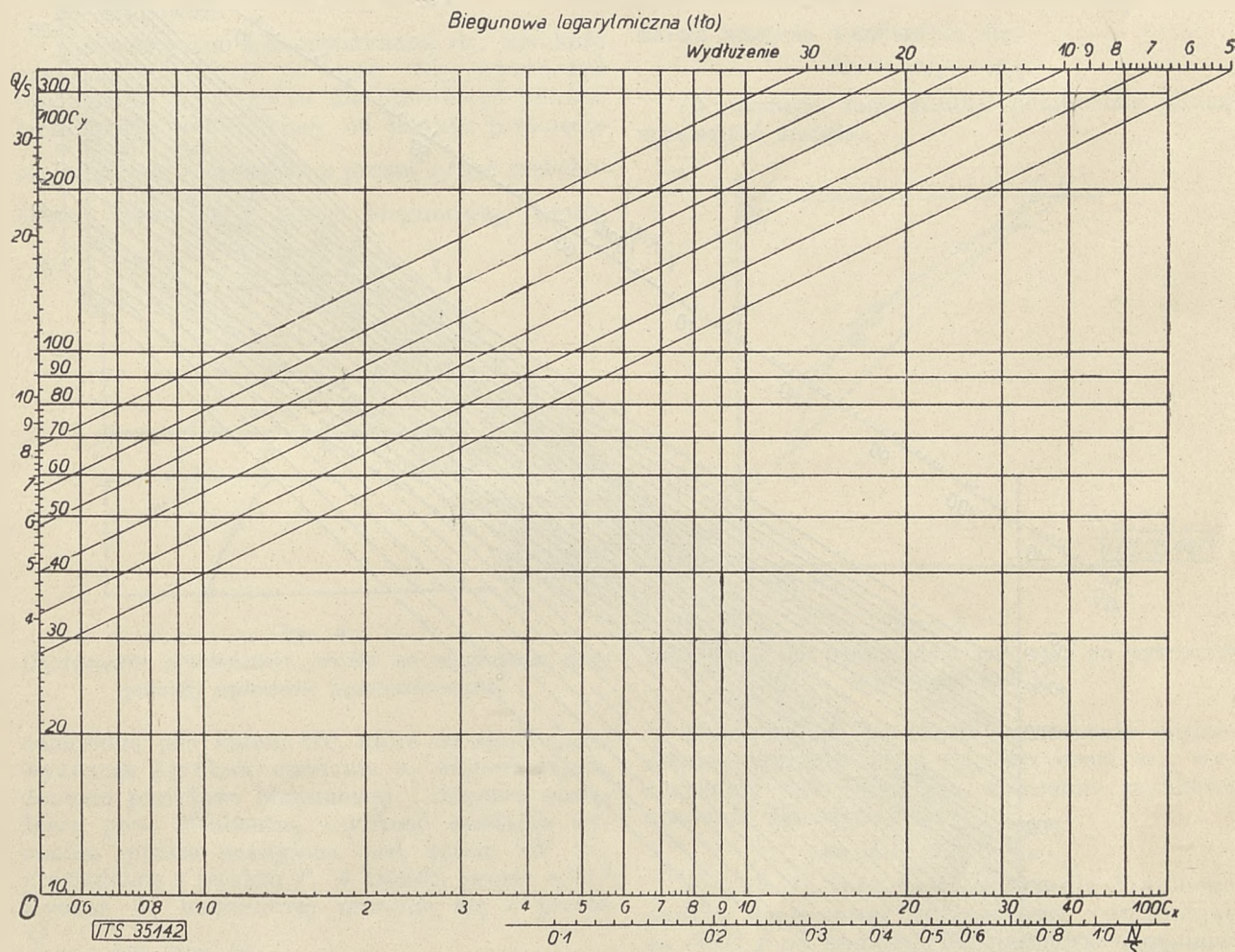
Jak wyżej wspomniano, na tle o współrzędnych logarytmicznych nanosimy na osi odciętych skalę $\frac{N}{S} \frac{KM}{m^2}$ oraz c_x , zaś na osi rzędnych skalę $\frac{Q}{S} \frac{kg}{m^2}$ oraz c_y . Poza tem wkreślamy proste i skalę współczynnika oporu indukowanego c_x dla różnych wydłużeń λ (patrz punkt 3).

Zorjentowanie skali Q/S względem c_y oraz $\frac{N_0}{S}$ względem c_x uskuteczniamy, wychodząc z równań zasadniczych dla lotu poziomego (1) i (2) przy założeniu gęstości $\varrho = \frac{1}{8} \frac{kg}{m^3}$ oraz szyb-

Drugą część wykresu czyli przeźroczę zawiera skalę szybkości poziomych względnie po torze v , szybkości opadania względnie wznoszenia (v_y i w_z) oraz pęki prostych $c_y/c_x = \text{const}$ i $c_y^3/c_x^2 = \text{const}$. Skalę v nanosimy na osobnej prostej, pamiętając, że w myśl wywodów cz. I jednostki jej są $\sqrt{13}$ razy większe od jednostek skali tła. Punkt $v_0 = 50 \text{ km/godz}$ oznaczamy znakiem O , gdyż stanowi on punkt wyjściowy dla odczytywania szybkości (patrz niżej).

Skalę v_y (w_z) sporządzamy korzystając z zależności

$$v_y = v \frac{c_x}{c_y}$$



Ryc. 2.

Tło dla wkreślenia biegunowej w spółrzędnych logarytmicznych.

kości $v_0 = 50 \text{ km/godz} = 13.9 \text{ m/sek}$. Pewnej zatem obranej wartości c_y wzgl. c_x odpowiada ściśle oznaczona wielkość $\frac{Q}{S}$ wzgl. $\frac{N}{S}$. Tak np.

wartości $c_y = 1.0$ odpowiada wartość $\frac{Q}{S} = 12.06$

zaś dla wartości $c_x = 0.2$, $\frac{N}{S} = 0.45$. Ponie-

waż wszystkie skale są identyczne, a tylko przesunięte względem siebie, te dwie pary liczb wystarczą do naniesienia dalszych wartości

$\frac{Q}{S}$ oraz $\frac{N}{S}$ bez przeliczania.

posługując się przytem naniesionym pękiem prostych $c_y/c_x = \text{const}$. W myśl tej zależności bowiem obrawszy $\frac{c_y}{c_x} = 33$ czyli $\frac{c_x}{c_y} = 0.030303$

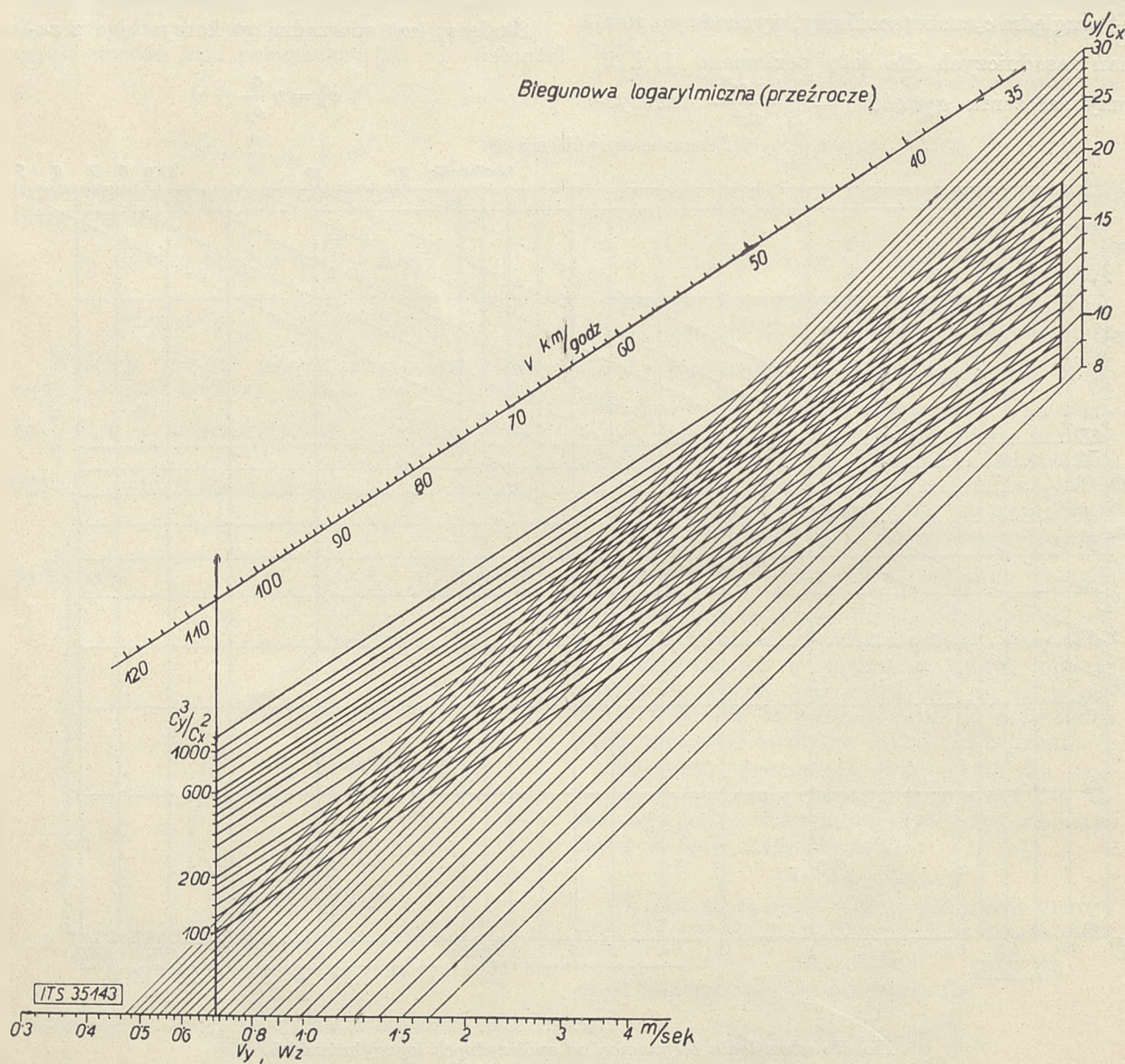
otrzymujemy przy $v_0 = 13.9 \text{ m/sek}$ $v_y = 0.42 \text{ m/sek}$. Mając dany w ten sposób jeden punkt tej skali sporządzamy dalszy podział bez trudności gdyż skala v_y (w_z) jest również analogiczna do skal tła.

2). Odczytywanie wielkości charakterystycznych profili: c_y/c_x oraz c_y^3/c_x^2 .

Na tło z nakreśloną biegunową danego profilu przykładamy przeźroczę, orjentując oba wykresy względem siebie według punktu O

przyczem skala $v_y (w_z)$ przeźrocza ma się nakrywać ze skalą $c_x \left(\frac{N}{S} \right)$ tła. Dla żadanego punktu wyznaczamy interesujące nas wielkości obserwując, która z prostych c_y/c_x wzgl. c_y^3/c_x^2 przechodzi przez ten punkt, przyczem na skalach odczytujemy wartości liczbowe tych stosunków. Maksymalne ich wartości określają odpowiednie proste styczne do biegunowej.

parabole oporu indukowanego w układzie logarytmicznym przedstawia się jako proste o współczynniku kierunkowym $1/2$. Różnicę oporów między biegunową a prostą oporu wzbudzonego dla tego samego wydłużenia czyli opór profilowy, odcinamy od prostej oporu wzbudzonego dla wydłużenia na które chcemy przeliczyć. Ze względu na niejednostajną wielkość jednostek w skali logarytmicznej posługujemy się osobną podziałką.



Ryc. 3.
Przeźrocze dla odczytywania wyczynów metodą logarytmiczną.

3). Przeliczanie na wydłużenie oraz uwzględnianie oporów szkodliwych.

Mając dany profil z pomiarów tunelowych dla wydłużenia n. p. $\lambda = 5$ korzystając z założenia że opór profilowy nie zależy od wydłużenia, możemy przeliczyć go na inne wydłużenie. Jak wynika ze wzoru na opór indukowany po zlogarytmowaniu:

$$\lg c_{xi} = 2 \lg c_y - \lg \pi - \lg \lambda$$

Przykładając ruchomą podziałkę z naniesioną skalą c_x , odczytujemy wielkość oporu profilowego $0'O'' = m$ działek dla λ_1 (ryc. 4). Nie zmieniając położenia początku podziałki, który musi oczywiście stale posuwać się po osi Q/S wzgl. c_y , odmierzamy od punktu 0 taką samą ilość działek m , otrzymując punkt $0'''$ biegunowej odpowiadający wydłużeniu λ_2 .

Przy uwzględnianiu oporu szkodliwego c_{xs} postępujemy analogicznie jak przy uwzględnia-

niu oporu profilowego, odmieniając ilość działek odpowiadającą przyjętemu c_x od biegunowej.

Przez jedną działkę należy rozumieć w obu wypadkach odstęp dwu kresek odpowiadający tej samej wielkości liczbowej a więc n. p. 0.1 jednostki.

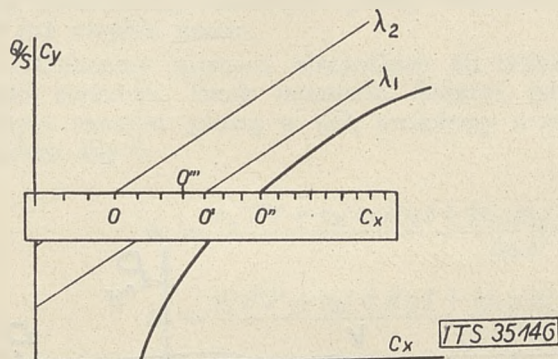
4). Odczytywanie wyczynów.

Mając narysowaną na tle biegunową całego szybowca względnie szybowca z silnikiem, odczytujemy jego wyczyny posługując się również przeźroczem.

Ponieważ odczytywanie wyczynów w obydwu wypadkach jest nieco odmienne, potraktujemy je osobno.

a) Szybowiec.

Interesującymi nas wyczynami są: szybkość opadania i szybkość po torze. Aby wyznaczyć szybkość opadania dla dowolnego punktu biegunowej, prowadzimy od punktu przecięcia się prostych $\frac{Q}{S} = \text{const}$ z prostą c_y^3/c_x^2 przechodzącej przez dany punkt biegunowej, prostą



Ryc. 4.

Objaśnienie przeliczania profilu na wydłużenie przy pomocy wykresów logarytmicznych.

nachyloną pod kątem 45° , która na skali $v_y(w_z)$ wyznacza szybkość opadania v_y odpowiadającą danemu punktowi biegunowej i danemu obciążeniu pow. Minimalną szybkość opadania wyznacza prosta nachylona pod kątem 45° poprowadzona z punktu P , w którym prosta c_y^3/c_x^2 styczna do biegunowej przecina się z prostą $\frac{Q}{S} = \text{const}$ (ryc. 5).

Szybkość szybowca po torze dla dowolnego punktu biegunowej i danego obciążenia pow. np. dla punktu odpowiadającego maksymalnej doskonałości, wyznaczamy prowadząc z punktu N [max. doskonałości] na biegunowej prostą $c_y^3/c_x^2 = \text{const}$ aż do punktu M przecięcia się z prostą $Q/S = \text{const}$. (ryc. 5). Odcinek $M.N$ odmierzamy na skali szybkości od punktu 0 (50) w kierunku rosnących v gdy wielkość jego liczymy w dół od prostej $\frac{Q}{S}$, w kierunku malejących v gdy leży nad prostą $\frac{Q}{S}$.

b) Szybowiec z silnikiem.

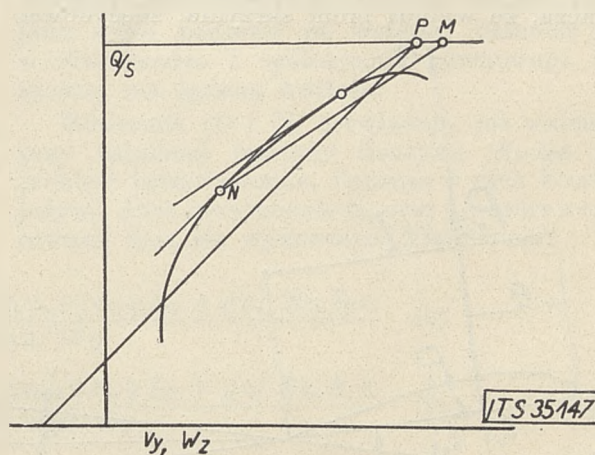
Szybkość wznoszenia przy ziemi dla dowolnego punktu biegunowej odczytujemy

posługując się skalą $w_z(v_y)$. Prowadząc z punktu tego prostą $c_y^3/c_x^2 = \text{const}$ aż do przecięcia się z prostą $\frac{Q}{S} = \text{const}$ otrzymujemy punkt, z którego poprowadzona prosta pod kątem 45° wyznacza na skali $w_z(v_y)$ pewną wartość w_{z1} . Jest to wartość fikcyjna na prędkość wznoszenia, jaką posiadałby nasz szybowiec, gdyby moc jaką zużywa na lot poziomy, poszła na wznoszenie.

Tę fikcyjną szybkość należy odjąć od szybkości w_{z2} jaką posiadałby zużywając na wznoszenie moc całkowitą, którą dysponuje. Wartość w_{z2} wyznaczamy prowadząc prostą nachyloną pod kątem 45° z punktu $\left(\frac{Q}{S}, \frac{N}{S}\right)$. Prawdziwa wartość wznoszenia się:

$$w_z = w_{z2} - w_{z1}.$$

(N oznacza moc silnika pomnożoną przez sprawność śmigła).



Ryc. 5.

Objaśnienie dla wyznaczania prędkości na wykresach logarytmicznych.

Maksymalna szybkość wznoszenia będzie różnicą wartości w_{z2} i w_{z0} , przyczem w_{z0} wyznaczamy tak samo jak minimum szybkości opadania dla szybowca:

$$w_{z \max} = w_{z2} - w_{z0}.$$

Szybkość lotu poziomego dla dowolnego punktu biegunowej wyznaczamy odmieniając na skali v od punktu 0 (50) począwszy, odcinek równoległy do prostych $c_y^3/c_x^2 = \text{const}$ zawarty między danym punktem biegunowej a punktem przecięcia się tej prostej z prostą $\frac{Q}{S} = \text{const}$. [odcięta tego punktu przecięcia się, daje moc potrzebną do lotu poziomego].

Maksymalną szybkość reprezentuje analogiczny odcinek zawarty między punktem $\left(\frac{Q}{S}, \frac{N}{S}\right)$ a biegunową. Przy odmierzaniu odcinków na skali obowiązuje reguła podana powyżej przy odczytywaniu szybkości szybowca po torze.

Dokładność wyników odczytywanych przy pomocy wykresów logarytmicznych jest równa dokładności zwykłego suwaka rachunkowego o długości 27 cm.

G. A. MOKRZYCKI

Wyważanie samolotów.

Le Centrage des avions.

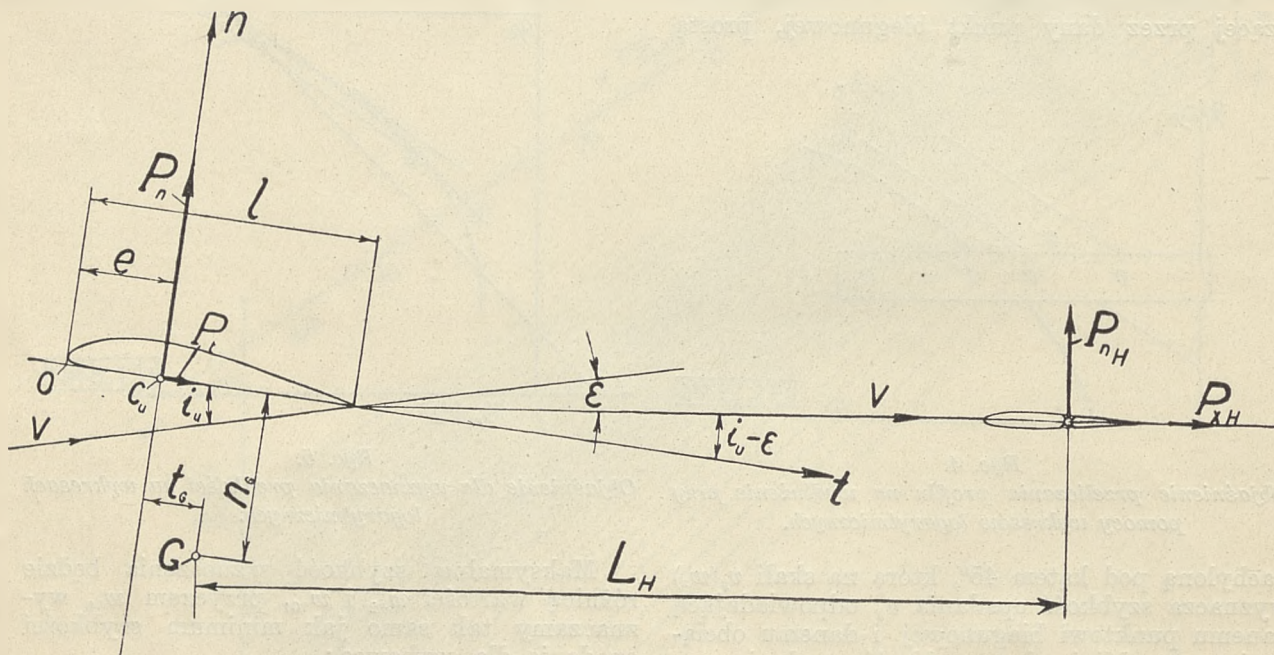
L'auteur donne la solution de problème suivant: Etant donné un avion fixé par l'avantprojet, indiquer la position du centre de gravité, afin que l'avion puisse voler à l'angle choisie i_u en possédant le coefficient de stabilité statique $\mu = \frac{dc_M}{di}$, dont la valeur est aussi conformément fixée par le constructeur.

Zagadnienie wyważenia samolotu w projekcie wstępnym, więc na drodze rachunkowej, da się sformułować następująco:

Konstruktor ustalił kształt samolotu zapożyczając szkicu, obliczył wyczyny samolotu, co oznacza, że wybrał profil skrzydła, zdecydował

kształt geometryczny jest również ustalony. Dla szeregu wychyleń steru wysokości znamy również w funkcji kąta natarcia usterzenia jego współczynniki siły normalnej do cięciwy profilu c_{nH} , oraz równoległej do niej c_{tH} . (Bliższe dane co do ustalenia C_{nH} , znajdzie czytelnik w *Fuchs-Hopf-Seewald: Aerodynamik I* Tom, str. 175).

Logiczniej jest przeprowadzić obliczenia dla wypadku, w którym drąg sterowy trzyma pilot w rękę. (Gdyby konstruktor chciał przeprowadzić obliczenie w wypadku luźno puszczonego steru wysokości, wyrazi się to odpowiednią wartością c_{nH} , którą najlepiej ustalić pomiarem).



Ryc. 1.

kształt usterzenia poziomego, zna wielkość ciągu i położenie środka ciężkości, oraz określił użytkowy kąt natarcia, na którym samolot najczęściej będzie latał.

Zazwyczaj wyważenie przeprowadzamy wychodząc z założenia, aby przy locie na użytkowym kącie natarcia i_u , opór usterzenia był jak najmniejszy. Ponieważ na usterzeniu używa się dziś przeważnie profilu bisymetrycznego, jest to równoznaczne z warunkiem, aby kąt natarcia statecznika, kąt załamania steru wysokości i udźwig usterzenia wynosił zero.

Pozatem konstruktor stawia wymaganie, aby (zależnie od typu budowanego samolotu) współczynnik równowagi statycznej $\frac{dc_M}{di} = c_M'$ miał pewną obraną wartość.

Statecznik wybieramy z katalogów publikowanych przez instytuty badawcze, tak że jego

Poniżej wskażemy drogę rachunkową, prowadzącą wprost do celu. Często bowiem konstruktor realizował wyważenie drogą kolejnych prób, albo też zadowalał się taką wartością współczynnika równowagi statycznej c_M' jaka przypadkiem wypadła.

1. Obliczamy kąt odgięcia wdół strugi poza skrzydłem jednym z wzorów powszechnie znanych, uwzględniając również ewentualnie odgięcie spowodowane działaniem strumienia śmigłowego.

Dla jednopłata można np. stosować wzór Munka:

$$\varepsilon = -\frac{1.6}{\pi} \frac{c_y S}{L^2} 57,3$$

(S — powierzchnia skrzydła, L — rozpiętość skrzydła).

(Dokładniejsze metody obliczenia kąta odgięcia daje nowe wydanie *Fuchs-Hopf-Seewald Aerodynamik* Tom I, str. 185).

2. Klinujemy statecznik przy niezalamanym sterze wysokości, tak aby jego cięciwa tworzyła z kierunkiem wiatru głównego strumienia kąt ε , lub z cięciwą profilu płata kąt $i_u - \varepsilon$.

Wówczas gdy współczynnik oporu statecznika przy kącie natarcia $i_H = 0$ nazwiemy $(c_{xH})_{\min}$, współczynnik oporu w kierunku lotu będzie $(c_{xH})_{\min} \cos \varepsilon$. Wówczas dla profilu bisymetrycznego wypór P_{nH} równa się zeru.

3. Obieramy jako początek układu środków parcia C_u dla kąta użytkowego i_u , uważając za osie normalną do cięciwy profilu n i cięciwę profilu t . Niech spólrzędne środka ciężkości G w tym układzie wynoszą n_G i t_G .

Położenie środka parcia C_u wobec brzegu natarcia O oznacza związek

$$e = \frac{c_m}{c_y \cos i_u + c_x \sin i_u} l$$

(c_m , c_y , c_x współczynniki aerodynamiczne przy kącie natarcia i_u , l szerokość płata). Wielkość e jest już zwykle znana.

4. Obliczymy moment wszystkich sił wobec środka ciężkości. Znak momentu dodatni, gdy pochyla samolot głową w dół, zwiążemy z ramieniem siły¹⁾.

$$n_G = \frac{c_n' F f + c_m' c_n S q l + (c_{nH} c_n' - c_n c_{nH}') S_H q L_H + q c_n' \Sigma c_x S_s r_s}{(c_n c_i' - c_i c_n') S q} \quad (3)$$

$$t_G = \frac{c_i' F P + c_m' c_i S q l + (c_{nH} c_i' - c_i c_{nH}') S_H q L_H + q c_i' \Sigma c_x S_s r_s}{(c_i c_n' c_i' Y' - c_n c_i') S q} \quad (4)$$

a) Moment skrzydeł wynosi:

$$M_{skrz.} = P_n t_G + P_t n_G = c_n S q t_G + c_t S q n_G$$

c_n , c_t , q są to wartości dla kąta użytkowego i_u .

b) Moment usterzenia; uwzględniamy jedynie moment od siły normalnej P_{nH} , zaczepiającej w odległości L_H od środka ciężkości. Moment od siły P_{xH} doliczymy — jak zwykle — do momentu oporów szkodliwych, nie uwzględniając dla małych różnic jego zmienności z kątem natarcia.

$$M_H = P_{nH} L_H = c_{nH} S_H q L_H$$

S_H powierzchnia statecznika.

c) Moment oporów szkodliwych. Jeżeli opór jakiejś części wynosi: $c_x S_s q$ (S_s powierzchnia odniesienia) i ramię tej siły wobec środka ciężkości wynosi r_s , moment wynosi oczywiście: $c_x S_s q r_s$. Sumując momenty poszczególnych części, mamy:

$$M_s = q \Sigma c_x S_s r_s.$$

Należy tu doliczyć moment od P_{xH} jak to wspomniano w b).

d) Wreszcie moment od ciągu śmigła F , gdy

odległość osi silnika od środka ciężkości wynosi f :

$$M_F = F f$$

5. Gdy zachodzi równowaga na kącie użytkowym i_u , moment wszystkich sił wobec środka ciężkości wynosi zero. Dodając momenty obliczone w punkcie 4 a, b, c, d mamy:

$$M_G = c_m S q l = c_n S q t_G + c_t S q n_G + c_{nH} S_H q L_H + q \Sigma c_x S_s r_s + F f = 0 \quad (1)$$

(c_m współczynnik momentu wobec środka ciężkości).

6. Znajdźmy pochodną równania (1) wobec i :

$$\frac{d c_m}{d i} = c_m' = \frac{t_G}{l} c_n' + \frac{n_G}{l} c_t' + \frac{S_H L_H}{S l} c_{nH}' \quad (2)$$

$$\text{gdzie}^2) c_n' = \frac{\partial c_n}{\partial i}; \quad c_t' = \frac{\partial c_t}{\partial i}; \quad c_{nH}' = \frac{\partial c_{nH}}{\partial i}$$

7. Kładąc w (1) dla kąta użytkowego i_u , $M_G = 0$, oraz podstawiając w (2) za c_m' wartość ustaloną, rozwiązuje konstruktor zagadnienie, jakie sobie postawił na wstępie. Samolot jest w równowadze i współczynnik równowagi statycznej ma żadaną wartość.

Równania (1) i (2) rozwiązują, jak widzimy, przy ustalonej wartości iloczynu ($S_H L_H$) ten problem jednoznacznie, figurując w nich bowiem jedynie dwie niewiadome n_G oraz t_G , które z tych równań dają się wyznaczyć. Mianowicie:

Odległość środka ciężkości od brzegu natarcia określa zależność:

$$t_G' = e + t_G.$$

8. W wypadku szczególnym, przy zaklinowaniu obranem w (2), $c_{nH} = 0$, przez co liczniki wzorów (3) i (4) upraszczają się. Po obliczeniu n_G i t_G wyważenie skutecznie przesuwając skrzydło tak, aby odległość środka parcia od środka ciężkości określona była wartościami (3) i (4). Natomiast naogół nie jest wskazaniem zmieniać położenie środka ciężkości przez przesuwanie mas w kadłubie.

9. Ponieważ wysokość płata nad środkiem ciężkości określona przez n_G , nie daje się ze względów konstrukcyjnych wiele zmieniać i jej wpływ jest nieduży, najlepiej przyjąć n_G takie, jakie ustaliliśmy szkicem i uważać w równaniach (1) i (2) za niewiadome t_G , oraz iloczyn ($S_H L_H$), charakteryzujący wielkość usterzenia i jego odległość od środka ciężkości. W iloczynie tym możemy, kierując się względami konstrukcyjnymi zmienić jeszcze powierzchnię usterzenia S_H , lub długość kadłuba.

W ten sposób rozwiązane równania (1) i (2) dają:

¹⁾ N. p. gdy tak jak na ryc. 1 siły P_n oraz P_t dają moment podnoszący łeb w górę, należy t_G oraz n_G wstawić ze znakiem ujemnym.

²⁾ Wartość c_n' , c_t' , c_{nH}' bierzemy z wykresów: $c_n = f(i)$; $c_t = f(i)$; $c_{nH} = f(i)$.

$$t_G = \frac{n_G (c_i c_{nH}' - c_i' c_{nH}) + l c_{nH} c_{M'} + \frac{c_{nH}'}{S} \left(\frac{F}{q} f + \sum c_x S_x r_x \right)}{c_{nH} c_{n'} - c_{nH}' c_n} \quad (5)$$

$$S_H L_H = \frac{n_G S (c_i c_{n'} - c_i' c_n) + c_n S l c_{M'} + c_n' \left(\frac{F}{q} f + \sum c_x S_x r_x \right)}{c_{nH} c_{n'} - c_{nH}' c_n} \quad (6)$$

W wypadku gdy statecznik jest zaklinowany tak, jak to ustaliliśmy w (2), $c_{nH}=0$, co uwzględnione w (5) i (6) daje:

$$t_G = - \frac{n_G c_i + \frac{1}{S} \left(\frac{F}{q} f + \sum c_x S_x r_x \right)}{c_n} \quad (5a)$$

$$S_H L_H = \frac{n_G S (c_i c_{n'} - c_i' c_n) + c_n S l c_{M'} + c_n' \left(\frac{F}{q} f + \sum c_x S_x r_x \right)}{c_n c_{nH}'} \quad (6a)$$

Odległość środka ciężkości od brzegu natarcia skrzydła daje znowu zależność:

$$t_G' = e + t_G.$$

ZBIGNIEW LEIWA KRZYWOBŁOCKI

Możliwości zastosowania napędu raketowego w lotnictwie.

Possibilités de l'application de la propulsion à fusée dans l'aviation.

L'auteur présente brièvement les principes de la propulsion à fusée et établit les formules suivantes:

1. Formule de l'accélération de la fusée dans la n -ième seconde (13).

2. Formule du nombre de secondes écoulées jusqu'au moment où l'accélération de la fusée atteint une valeur infinie (14).

3. Formule de la masse des gaz d'échappement dans la n -ième seconde, dans l'hypothèse que l'accélération de la fusée est constante (15).

4. Formule du rendement moyen de la fusée dans une période définie, pour une vitesse variable et une accélération constante (16 et 18).

5. Formule de l'altitude optimum du vol pour un combustible donné, c'est-à-dire l'altitude où le rendement est maximum (28).

L'auteur examine ensuite la possibilité de l'application de la propulsion à fusée dans les différents genres d'aviation. Il arrive à la conclusion que cette propulsion peut être employée, dans l'état actuel de la technique, dans l'aviation de chasse, dans l'aviation sans moteur et dans l'aviation sans équipage, mais qu'elle ne sera pas appliquée — au moins à l'avenir prochain — dans l'aviation de transport, de bombardement et de reconnaissance.

Wobec przejawiającego się w ostatnich czasach zainteresowania napędem raketowym w lotnictwie, omówię w poniższym artykule pokrótce w elementarny sposób zasady napędu raketowego a następnie przedstawię możliwości zastosowania tego napędu w niektórych rodzajach lotnictwa. W tekście podaję następujące wzory:

- a) wzór na siłę pociągową rakiety (1),
b) „ „ prędkość wylotową gazów (3),

c) wzór na energię jednostkową rakiety (6),

d) „ „ chwilowy współczynnik sprawności zewnętrznej rakiety (7),

e) wzór na przyspieszenie rakiety w „ n -tej” sekundzie (13),

f) wzór na czas, po którym przyspieszenie rakiety staje się nieskończenie wielkie (14),

g) wzór na masę wylotowych gazów w „ n -tej” sekundzie przy stałym przyspieszeniu rakiety (15),

h) wzór na średni współczynnik sprawności rakiety (16),

j) wzór na najlepszą wysokość lotu dla danego materiału pędnego (28),

k) wzór na całkowitą sprawność rakiety (30).

W końcu przedstawiam kierunki, w jakich badania raketowe mogą się rozwijać, z uwzględnieniem podziału na rakiety prochowe, rakiety na paliwo ciekłe i rakiety małe, przystosowane do potrzeb szybownictwa.

Siła pociągowa rakiety.

W napędzie raketowym siłą, nadającą przyspieszenie, jest reakcja wylotowych gazów.

Siłę tę obliczymy z wzoru:

$$P = \frac{G_i}{g} \times C \dots \dots (1)^1$$

¹⁾ Wzór (1) wynika z wzoru:

$$P \times t = m \times c$$

lub:

$$P = \frac{m}{t} \cdot c$$

Zakładając $t=1 \text{ sek}$, otrzymujemy wzór (1).

gdzie oznaczają:

P = siła,

G_s = ciężar wylotowych gazów w czasie 1 sekundy,

c = prędkość wylotowych gazów.

Poniższe rozważania przeprowadzam przy następujących założeniach:

1. Ruch rakiety w rozpatrywanych przedziałach czasu traktuję jako ruch ustalony.

2. Nie uwzględniam wpływu przyciągania ziemi.

3. We wzorach na przyspieszenie biorę zamiast istotnych przyspieszeń — ich średnie wartości w przedziale 1 sek; uzyskany w ten sposób obraz ruchu zbliża się dość prawdopodobnie do rzeczywistego obrazu ruchu rakiety.

Prędkość wylotowa gazów.

Oznaczmy:

v = prędkość rakiety,

E = wartość opałowa 1 kilograma materiału pędnego.

Przy założeniu, że sprawność spalania wynosi 100%, wartość opałowa będzie równą energii kinetycznej gazów, otrzymanych ze spalania 1 kilograma materiału pędnego; zatem:

$$E = \frac{1}{g} \frac{c^2}{2} \dots \dots \dots (2)$$

lub: $c = \text{const} \sqrt{E} \dots \dots \dots (3)$

Ponieważ c jest proporcjonalne do \sqrt{E} , zatem, chcąc uzyskać małe wartości c , należy brać materiały o bardzo małej wartości E .

Poniżej podajemy niektóre szybkości wylotowe według Goddard'a i prof. Oberth'a, zaczerpnięte z „Raketenflugtechnik“ Dr. Sängera [1]:

Według Goddard'a:

Materiał pędny	Wartość opałowa E w 10^6 kgm/kg	Szybkość wylotowa teoretycz. $w \frac{m}{sek}$	Szybkość wylotowa mierzona $w \frac{m}{sek}$
Proch z rakiety okrętowej Coston'a	0,232	2350	1600
Proch pistoletowy Nr. 3 Tow. Dupont Powder Co.	0,415	2860	2290
Bezdyminy proch „Infalible“ Tow. Hercules Powder Co.	0,528	3220	2434

Według prof. Oberth'a:

Materiał pędny	Wartość opałowa E w 10^6 kgm/kg	Szybkość wylotowa teoretycz. $w \frac{m}{sek}$	Szybkość wylotowa mierzona $w \frac{m}{sek}$
Mieszanka benzynowa	—	2190	1700
Wodór + tlen (gramodrobiny)	1,03	4470	4000

Energja jednostkowa rakiety.

Niech rakietą porusza się ruchem jednostajnym t. z., że opór środowiska jest stały i zawsze zrównoważony reakcją gazów wylotowych²⁾.

Bierzemy pod uwagę jednostkę masy materiału pędnego, znajdującą się w komorze spalnicowej rakiety, poruszającą się z prędkością v . Ta jednostka posiada w danej chwili energję (przy założeniu, że η spalania wynosi 100%):

$$L_1 = \frac{c^2}{2} + \frac{v^2}{2} \dots \dots \dots (4a)$$

Gdyby rakietą była w spoczynku, to gazy po spalaniu uszłyby z prędkością „ $n-c$ ” — uważając kierunek ruchu gazów za ujemny a rakiety za dodatni — a ponieważ rakietą porusza się z prędkością „ $n+v$ ”, zatem bezwzględna prędkość wylotowych gazów wynosi $(-c+v)$ a energja uchodzących gazów:

$$L_2 = \frac{(v-c)^2}{2} \dots \dots \dots (4b)$$

Przyrost energii rakiety wyniesie:

$$L = L_1 - L_2 = vc \dots \dots \dots (4)$$

lub:

$$L = \sqrt{2g} v \sqrt{E} \dots \dots \dots (5)$$

Zakładamy $g = \text{const}$ i $v = \text{const}$; chcąc uzyskać dużą wartość energii kinetycznej rakiety w danej chwili, należy powiększyć E w drugiej potęgę czyli użyć materiału pędnego o bardzo wielkiej wartości opałowej.

Z powyższych:

$$\frac{L}{E} = \frac{vc}{E} = \frac{2vcg}{c^2} = \frac{2vg}{c} \dots \dots \dots (6)$$

Wzór (6) przedstawia energję rakiety, uzyskaną z jednostki wartości opałowej materiału pędnego; aby ta energja była dużą, należy mieć dużą v lub małą c ; aby ta „jednostkowa energja” była stałą dla różnych materiałów pędnych, należy odpowiednio zmieniać v .

²⁾ Należy zaznaczyć, że niektórzy autorzy (np. Sängera) wyprowadzają wzór (7) pod założeniem, że niema oporu środowisku. Założenie to jest o tyle nieścisłe, że przy braku oporu środowisku ruch rakiety nie będzie ruchem jednostajnym.

Drugim zastrzeżeniem, które należy tu zrobić, jest to, że w tem rozważaniu nie biorę pod uwagę zmiany masy poruszającej się bryły.

Chwilowy współczynnik sprawności zewnętrznej rakiety.

Dzielimy (4) przez (4a) i ten stosunek nazwijmy współczynnikiem sprawności zewnętrznej rakiety w danej chwili [1]; otrzymamy:

$$\eta_z = \frac{L}{L_1} = \frac{2vc}{c^2 + v^2} \dots (7)$$

Zakładamy $c = \text{constans}$, t. z. przyjmujemy, że materiał pędny jest stale ten sam i że gazy spalinowe wpływają z dyszy nieprzerwanym strumieniem ze stałą prędkością. Szukamy $\eta_z \cdot \text{max.}$, uważając v za zmienną niezależną. Z warunku:

$$f'(v) = 0$$

otrzymamy:

$$v = c \dots (8)$$

zaś:

$$\eta_z \cdot \text{max.} = \frac{2v^2}{2c^2} = 1 \dots (9)$$

Ten sam wynik otrzymamy, gdy η_z przedstawimy w postaci:

$$\eta_z = \frac{2\left(\frac{v}{c}\right)}{\left(\frac{v}{c}\right)^2 + 1} \dots (10)$$

i będziemy uważali η_z za funkcję $\left(\frac{v}{c}\right)$.

Aby nasz współczynnik wynosił stale 1, prędkość rakiety musi być stałą i równą prędkości względnej gazów wylotowych³⁾.

³⁾ Nie należy fałszywie rozumieć tego wyniku; wzór (9) względnie (10) odnosi się do jednostajnego ruchu rakiety. Atoli ruch rakiety nie jest stale jednostajnym, lecz na początku musi być ruchem zmiennym. Zatem wzory (9) i (10) mogą się odnosić do pewnej części ruchu rakiety, a mianowicie do tej, w której jest on jednostajnym, a nie do całego ruchu. Nie należy porównywać tego zdania ze zdaniem Scherschevsky'ego [5], że: „popularny sąd, że największy stopień sprawności osiąga się, gdy prędkość rakiety jest równą prędkości gazów wylotowych, jest błędny”, gdyż rozważania Scherschevsky'ego odnoszą się do ruchu zmiennego.

Odnośnie do zagadnienia sprawności zewnętrznej, Noordung [6] podaje następujący wzór:

$$\eta_z = \left(2 - \frac{v}{c}\right) \frac{v}{c} \dots (7a)$$

Ten wzór jest fałszywy, co poniżej udowodnię. Autor rozumuje tak:

$$\eta_z = \frac{\text{energia zyskana}}{\text{energia zużytkowana}} = \frac{\text{energia zużytkowana} - \text{energia stracona}}{\text{energia zużytkowana}}.$$

$$\text{Energja zużytkowana} = \frac{mc^2}{2}$$

$$\text{Energja stracona} = \frac{m(c-v)^2}{2}$$

m = masa wylotowych gazów.

c, v mają znaczenie jak w tekście.

$$\eta_z = \frac{mc^2 - m(c-v)^2}{mc^2} = \left(2 - \frac{v}{c}\right) \frac{v}{c}.$$

Błąd pochodzi stąd, że energja zużytkowana wynosi $\frac{m(c^2 + v^2)}{2}$ a nie $\frac{mc^2}{2}$, bo przecież masa „ m ” tuż

Przyspieszenie rakiety w „ n -tej” sekundzie.

Przeprowadzimy teraz następujące rozważanie, wykluczając opór środowiska:

Rakieta ma w pewnej chwili prędkość v_0 ; prędkość wylotowa gazów $c = \text{constans}$; pod wpływem stałej reakcji gazów ruch rakiety jest ruchem przyspieszonym; masa wylatujących gazów dm zmniejsza o swoją wielkość masę rakiety. Oznaczamy:

dm = masa wylatujących gazów w czasie dt ,

m = masa pozostała rakiety,

dv = przyrost prędkości pozostałej masy rakiety w czasie dt .

Z zasady pędów mamy:

$$c \, dm = -m \, dv \dots (11)$$

Równanie to zostało podane przez prof. Oberth'a [2]. Bierzemy taki czas pod uwagę, by masa rakiety zmieniła się z m_0 do m_1 a prędkość z v_0 do v_1 .

$$c \, dm = -m \, dv$$

$$-c \frac{dm}{m} = dv$$

$$-c \int_{m_0}^{m_1} \frac{dm}{m} = \int_{v_0}^{v_1} dv$$

$$c (\ln m_0 - \ln m_1) = v_1 - v_0$$

$$v_1 - v_0 = c \ln \frac{m_0}{m_1} = \ln \left(\frac{m_0}{m_1} \right)^c \dots (12)$$

To jest wzór na przyrost prędkości w czasie, w którym masa rakiety zmniejszy się o $(m_0 - m_1)$. Gdy za ten czas przyjmiemy 1 sekundę, to wzór (12) przedstawi nam średnie przyspieszenie rakiety (t. z. przyjmując ruch ustalony w czasie 1 sek) a $(m_0 - m_1)$ ubytek masy rakiety w tej sekundzie.

Oznaczmy masę początkową rakiety, jak wyżej, przez m_0 , stały ubytek masy rakiety w jednej sekundzie przez „ Δm ”, zaś przyspieszenie rakiety przez „ a ”, to przyspieszenia po poszczególnych sekundach przedstawia się:

$$a_1 = c \log \frac{m_0}{m_0 - \Delta m}$$

$$a_2 = c \log \frac{m_0 - \Delta m}{m_0 - 2 \Delta m}$$

$$a_3 = c \log \frac{m_0 - 2 \Delta m}{m_0 - 3 \Delta m}$$

$$a_n = c \log \frac{m_0 - (n+1) \Delta m}{m_0 - n \Delta m} \dots (13)^4$$

przed spalaniem porusza się z prędkością „ v ”; po uwzględnieniu tego otrzymamy wzór (7). Dalej według Noordunga η_z może mieć czasami wartość ujemną — gdy $\frac{v}{c} > 2$; otóż znowu nie można się z tem zgodzić, bo z pojęcia współczynnika sprawności wynika, że musi $\eta \geq 0$, nie może $\eta < 0$. Skutkiem (7a) wszystkie rozumowania Noordunga od str. 28—34 powinny ulec zmianie. (Na ten fakt już zwrócił mimochodem uwagę Dr. Sanger).

⁴⁾ Scherschevsky dochodzi do następującego wzoru na przyspieszenie w „ n -tej” sekundzie:

Ponieważ $c = \text{const.}$ a wyrażenia logarytmowane są coraz większe, zatem przyspieszenia będą rosły; wzór (13) pozwala nam obliczyć przyspieszenie w „ n ”-tej sekundzie, gdy znamy m_0 i n .

Czas, po którym przyspieszenie rakiety staje się nieskończenie wielkie.

Wyrażenie na a_n osiągnie wartość nieskończenie wielką, gdy $n \Delta m = m_0$. Z tego:

$$n = \frac{m_0}{\Delta m} \quad \dots \quad (14)$$

Wzór (14) określa nam ilość sekund, po których przyspieszenie rakiety staje się nieskończenie wielkie pod wyżej ustalonymi założeniami.

Masa wylotowych gazów w „ n ”-tej sekundzie przy stałym przyspieszeniu rakiety.

Stawiamy sobie następujący cel: przyspieszenie rakiety ma być stałe. Z wzoru (13) wiadać, że wyrażenie logarytmowane musi być zawsze stałe, czyli masa wylotowych gazów w poszczególnych sekundach będzie zmienną, gdyż masa rakiety ciągle się zmniejsza o masę wylotowych gazów; oznaczając zmienne masy wylotowych gazów w poszczególnych sekundach przez Δm_1 , Δm_2 , będziemy mieli równości:

$$\begin{aligned} \frac{m_0}{m_0 - \Delta m_1} &= \frac{m_0 - \Delta m_1}{m_0 - \Delta m_1 - \Delta m_2} = \frac{m_0 - \Delta m_1 - \Delta m_2}{m_0 - \Delta m_1 - \Delta m_2 - \Delta m_3} = \\ &= \dots = \frac{m_0 - \sum_{x=0}^{x=n} \Delta m_x}{m_0 - \sum_{x=1}^{x=n+1} \Delta m_x} \end{aligned}$$

Z wartości pierwszej i drugiej mamy:

$$\Delta m_2 = \Delta m_1 - \frac{\Delta m_1^2}{m_0}$$

Z pierwszej i trzeciej:

$$\Delta m_3 = \Delta m_1 - 2 \frac{\Delta m_1^2}{m_0} + \frac{\Delta m_1^3}{m_0^2}$$

Z tego można osiągnąć taki wzór rekursywny:

$$b_r = - \frac{c}{m_r + m_a} \cdot \frac{dm_a}{dt} \quad \dots \quad (13a)$$

gdzie c = prędkość gazów wylotowych,

m_r = masa pustej rakiety,

m_a = „materiału pędnego, będącego w rakiecie w danej chwili,

$\frac{dm_a}{dt}$ = masa materiału pędnego, spalona w danej jednostce czasu.

W „Die Rakete für Fahrt und Flug“. A. B. Scherschewsky. Verlag C. J. E. Volckman. Berlin-Cherlottenbourg. 2. 1929. przy wartości na b_r (13a) opuszczono w druku znak „-“.

$$\Delta m_n = \Delta m_1 - \Delta m_1 \left[\sum_{x=1}^{x=n-1} \Delta m_x \right] \frac{1}{m_0} \quad (15)^5$$

Ten wzór pozwala nam obliczyć masę wylotowych gazów w „ n ”-tej sekundzie, gdy znamy masę początkową rakiety i masy wyrzucone we wszystkich poprzednich sekundach, przy założeniu, że przyspieszenie jest stałe⁶⁾.

⁵⁾ Scherschewsky [5] podaje taki wzór na $\left(\frac{dm_a}{dt}\right)_t$, pod warunkiem, że przyspieszenie jest stałe:

$$\left(\frac{dm_a}{dt}\right)_t = \text{Const} (m_r + m_a) \quad \dots \quad (15a)$$

gdzie:

$$\left(\frac{dm_a}{dt}\right)_t = \text{masa materiału pędnego, spalonego}$$

w jednostce czasu w „ t ”-tej sekundzie.

m_r = masa pustej rakiety.

m_a = „materiału pędnego, będącego w rakiecie w danej chwili.

⁶⁾ W czasie dyskusji z prof. Dr. Burzyńskim okazało się, że wzór na Δm_n może mieć również postać:

$$\Delta m_n = \Delta m_1 \left(\frac{m_0 - \Delta m_1}{m_0} \right)^{n-1} \quad \dots \quad (15b)$$

Scherschewsky podaje taki wzór na czas, po którym nastąpi całkowite spalanie materiału pędnego przy stałym przyspieszeniu i prędkość osiągnie swoją maksymalną wartość:

$$t = \frac{c}{b_r} \log_n \left(1 + \frac{m_a}{m_0} \right) \quad \dots \quad (15c)$$

gdzie:

c = prędkość wylotowa gazów,

b_r = stałe przyspieszenie rakiety,

m_a = masa materiału pędnego na początku ruchu,

m_r = „pustej rakiety.

(W wydaniu niemieckim: Die Rakete für Fahrt und Flug von A. B. Scherschewsky. Verlag C. J. E. Volckmann. Berlin-Charlottenburg 2. 1929 należałoby dobitnie przy wzorze (15c) zaznaczyć, że ważny on jest przy stałym przyspieszeniu rakiety).

Hohmann [3] przy założeniu stałego przyspieszenia dochodzi do następujących wzorów:

Z równania: $c \cdot dm = -m \cdot dv$,

lub: $\frac{c \cdot dm}{dt} = - \frac{m \cdot dv}{dt}$

mamy: $\frac{dm}{dt} = -m \cdot \frac{dv}{dt} \cdot \frac{1}{c}$

Uważając c i $\frac{dv}{dt}$ za stałe, mamy:

$$\frac{dm}{dt} = -\text{cons} \cdot m \text{ lub}$$

$$\ln m = -\text{cons} \cdot t + Z.$$

Stałą całkowania znachodzi się z warunku początkowego:

dla $t=0$, $m=m_0$, $Z=\ln m_0$.

Zatem: $\ln m = -\text{cons} \cdot t + \ln m_0$

lub: $\frac{m}{m_0} = e^{-\text{cons} \cdot t}$

względnie: $\frac{m_0}{m} = e^{\text{cons} \cdot t}$

wreszcie: $m = \frac{m_0}{e^{\text{cons} \cdot t}}$

Wzory te pozwalają obliczyć masę końcową „ m ” względnie czas palenia „ t ” przy stałym przyspieszeniu. Wzór Hohmann'a przytacza również Valier [8].

Średni współczynnik sprawności rakiety.

Zakładamy:

- początkowa masa rakiety m_0 ;
- masa rakiety po czasie τ^{tu} m_1 ;
- początkowa prędkość rakiety v_0 ;
- prędkość rakiety po czasie τ^{tu} v_1 .

$$m_0 > m_1; v_0 < v_1.$$

Różnica mas zostaje wyrzucona w postaci gazów; przyrost energii masy τ^{tu} :

$$\frac{m_1 (v_1^2 - v_0^2)}{2}$$

W czasie τ^{tu} wydaliśmy energię pod postacią gazów wylotowych:

$$\frac{(m_0 - m_1) c^2}{2}$$

Nadto mamy jeszcze stratę energii z powodu zmniejszenia się masy rakiety:

$$\frac{(m_0 - m_1) v_0^2}{2}$$

Stosunek energii zyskanej przez rakietę do energii wydanej nazwiemy średnim współczynnikiem sprawności zewnętrznej w czasie τ^{tu} . Zatem [1]:

$$\eta_z \text{ śr.} = \frac{\frac{m_1 (v_1^2 - v_0^2)}{2}}{\frac{(m_0 - m_1) c^2}{2} + \frac{(m_0 - m_1) v_0^2}{2}} = \frac{m_1 (v_1^2 - v_0^2)}{(m_0 - m_1) c^2 + (m_0 - m_1) v_0^2} = \frac{m_1 (v_1^2 - v_0^2)}{(m_0 - m_1) (c^2 + v_0^2)}$$

Celem uproszczenia rachunkowego wstawimy w miejsce $(v_1^2 - v_0^2)$ wyrażenie $(v_1 - v_0)^2$; popełniamy przez to błąd na niekorzyść współczynnika η_z śr., bo najwidoczniej jest $(v_1 - v_0)^2 < v_1^2 - v_0^2$.

Zatem:

$$\eta_z \text{ śr.} = \frac{m_1 (v_1 - v_0)^2}{(m_0 - m_1) (c^2 + v_0^2)} = \frac{(v_1 - v_0)^2}{\left(\frac{m_0}{m_1} - 1\right) (c^2 + v_0^2)}$$

Zakładamy, że masa wylotowych gazów jest w każdej sekundzie jednakową; przyspieszenie będzie zatem zmienne; mieliśmy przedtem wzór:

$$(v_1 - v_0) = c (\ln m_0 - \ln m_1) = c \ln \frac{m_0}{m_1} \text{ lub:}$$

$$e^{\frac{v_1 - v_0}{c}} = \frac{m_0}{m_1}$$

Powyższą wartość wstawiamy we wzór na η_z śr.

$$\eta_z \text{ śr.} = \frac{(v_1 - v_0)^2}{(e^{\frac{v_1 - v_0}{c}} - 1) (c^2 + v_0^2)} = \frac{(v_1 - v_0)^2}{(e^{\frac{v_1 - v_0}{c}} - 1) \left(\frac{v_0^2}{c^2} + 1\right)} \quad (16)$$

⁷⁾ Należy zaznaczyć, że w tem rozważaniu wziąłem pod uwagę tylko początkowy i końcowy stan, w odstępie czasu τ^{tu} , nie zajmując się stanami pośrednimi.

Uważajmy wielkość $\left(\frac{v_1 - v_0}{c}\right)$ za zmienną niezależną i obliczmy maximum funkcji $\eta_z \text{ śr.} = f\left(\frac{v_1 - v_0}{c}\right)$. Z warunku:

$$f'\left(\frac{v_1 - v_0}{c}\right) = 0 \text{ mamy:}$$

$$\frac{v_1 - v_0}{c} = 1.593 \dots \dots (17)^8$$

$$\eta_z \text{ śr. max.} = \frac{1.593^2}{e^{1.593} - 1} \times \frac{1}{\frac{v_0^2}{c^2} + 1} \dots (18)$$

Jeżeli w powyższym wzorze przyjmujemy $v_0 = 0$, t. z. będziemy rozważali ruch rakiety od spoczynku, to otrzymamy wzory podane np. w „Raketenflugtechnik“ Dr. Sängera [1] lub przez Oberth'a [2]:

$$\eta_z \text{ śr.} = \frac{\left(\frac{v_1}{c}\right)^2}{\frac{v_1}{c} - 1} \dots \dots (19)$$

$$\frac{v_1}{c} = 1.593 \dots \dots (20)$$

$$\eta_z \text{ śr. max.} = \frac{1.593^2}{e^{1.593} - 1} = 0.647 \dots (21)^9$$

Najlepsza wysokość lotu dla danego materiału pędnego.

Dotychczas rozważaliśmy ruch rakiety bez oporu i bez wpływu przyciągania ziemi. Gdybyśmy wzięli pod uwagę opór powietrza, to musielibyśmy wziąć pod uwagę zmianę gęstości powietrza z wysokością. Opór powietrza można przedstawić wzorem:

$$R = a \times \varrho \times S \times v^2 \dots \dots (22)$$

a = współczynnik doświadczalny,

ϱ = gęstość powietrza,

S = powierzchnia poruszającego się ciała, odniesiona według umowy do jakiegoś kierunku,

v = prędkość poruszającego się ciała.

Ten opór można przedstawić:

$$R = k \times \varrho \times v^2 \dots \dots (23)$$

Współczynnik $k = a \times S$ uważamy za stały. Niech ruch naszej rakiety odbywa się na stałej wysokości, ze stałą prędkością; zatem w każdej chwili siła pociągowa rakiety równoważy się z oporem powietrza; siłę tę da nam teraz po prawionym wzór (1):

⁸⁾ Ścisłe rozważania matematyczne doprowadzają do wniosku, że wyrażenie $\frac{v_1 - v_0}{c}$ nie jest stałe, lecz zależy od $\frac{v_0}{c}$; celem uproszczenia rachunku przyjęto powyżej $(v_1 - v_0)^2$ zamiast $v_1^2 - v_0^2$, z czego wynikł wzór (17) przybliżony.

⁹⁾ Scherschewsky dochodzi do $\eta_z \text{ śr. max.} = 0.647$ przy $\frac{v_1}{c} = 1.61$, zaś Noordung [6] podaje 0.65 przy $\frac{v_1}{c} = 1.59$.

$$R = k \times \varrho \times v^2 = P' = \frac{G_s}{g} \times c + p_0 \times F \quad (24)$$

gdzie: p_0 = ciśnienie u wylotu dyszy.

F = powierzchnia przekroju wylotu dyszy.

Wyrażenie $p_0 \times F$ jest małe, możemy je pominąć; ponieważ nasz ruch jest ruchem jednostajnym, więc możemy zastosować wzór (7). Z wzoru (24) obliczamy v i podstawiamy we wzór (7):

$$v^2 = \frac{m \times c}{k \times \varrho} = \frac{B}{\varrho} \quad \text{gdzie } m = \frac{G_s}{g}$$

$$v = \frac{D}{\sqrt{\varrho}} \quad (25)$$

$$\eta_z = \frac{2 c D \varrho^{-\frac{1}{2}}}{c^2 + D^2 \varrho^{-1}} \quad (26)$$

Uważajmy η_z za funkcję ϱ , to widać, że dla danego materiału pędnego η_z zależy tylko od ϱ czyli od wysokości lotu. Znajdziemy gęstość, dla której η_z jest maximum:

$$\frac{d \eta_z}{d \varrho} = 0 \quad \text{z tego:}$$

$$\varrho = \frac{D^2}{c^2} \quad (27)$$

Po podstawieniu równania (3):

$$\varrho = \frac{\text{const}}{E} \quad (28a)$$

Wiążąc ϱ względnie ciężar właściwy powietrza γ (kg/m^3) z wysokością z (klm) wzorem Hohmanna [3]:

$$\varrho = \varrho_0 \left(1 - \frac{z}{400.000}\right)^{49} \quad (28b)$$

otrzymamy wzór na najlepszą wysokość lotu:

$$\left(1 - \frac{z}{400.000}\right)^{49} = \frac{\text{const}'}{E} = \frac{\text{const}''}{c^2} \quad (28)$$

Porównanie sprawności samolotu raketowego i samolotu z napędem śmigło-silnikowym.

Zastanowimy się nad niektórymi wynikami. Niech ruch samolotu raketowego będzie ruchem jednostajnym na stałej wysokości. Do tego rodzaju ruchu odnosi się wzór (7). Oprócz η_z jednak musimy jeszcze uwzględnić sprawność wewnętrzną, indykowaną η_i ; te wewnętrzne straty pochodzą np. od niezupełnego spalania. Dr. Sängger [1] określa wartość η_i na podstawie doświadczeń na:

$$\eta_i = 0.7 \quad (29)$$

Zatem całkowita sprawność:

$$\eta = \eta_z \cdot \eta_i = 0.7 \cdot \eta_z \quad (30)$$

Przy danym materiale pędnym η będzie zależne tylko od prędkości v . Jako materiał pędny obieramy mieszanekę benzynową, której ekwiwalent wartości opałowej „ $c_{teor.}$ ” = 2190 m/sec (mieszanek benzynowa posiada stosunkowo małą wartość „ $c_{teor.}$ ”, niższą w każdym razie od tych wartości dla prochu).

Poniższa tabela przedstawia nam wartości η dla różnych v :

$v =$	100	200	300	400	500	600	700	m/sec
$\eta =$	0.0638	0.1270	0.1885	0.2479	0.3010	0.3500	0.3940	

Sprawność dzisiejszego silnika lotniczego wybuchowego = ~ 0.24 ; sprawność śmigła wynosi przeciętnie ~ 0.7 ; zatem całkowita sprawność napędu śmigło-silnikowego wynosi ~ 0.168 . Aby napęd raketowy miał tę samą sprawność, co napęd śmigło-silnikowy, musiałaby prędkość rakiety wynosić od 200—300 m/sec czyli od 720—1080 $km/godz$. Ponieważ szybkość $\sim 200 m/sec$ została już dzisiaj osiągnięta przez rekordowe samoloty w troposferze, więc niektórzy konstruktorzy usiłują zastąpić dotychczasowy napęd samolotów napędem raketowym. Jednakże należy pamiętać o tem, że uzyskanie prędkości 200 m/sec jest połączone z dużą mocą silnika, i dlatego jest rzeczą wątpliwą, czy klasyczny napęd raketowy benzynowy wyprze dotychczasowy silnik lotniczy, jeżeli chodzi o loty w troposferze ze średnią prędkością. Możliwe, że zastosowanie wielokrotnej dyszy wylotowej Melot'a da jakieś znośne wyniki, choć podnoszą się poważne głosy przeciwko takiej dyszy z powodu strat mieszania się strug o różnych prędkościach. Jeżeli chodzi o wydatek benzyny w motorze wybuchowym i raketowym przy prędkości 200 m/sec , to prosty rachunek pokaże, że wydatek ten będzie prawie jednakowy w obu przypadkach. Weźmy motor włoskiej fabryki „Fiat” A S 6 o mocy 3100 KM , który niedawno ustanowił światowy rekord szybkości $\sim 709 km/godz$ t. zn. około 200 m/sec . Zużycie benzyny przyjmujemy wysokie 285 $gr/KM godz^{10}$). Zatem na jedną sekundę silnik ten zużywa:

$$B = \frac{3100 \times 285}{3600} = \sim 246 gr/sec$$

Siłę pociagową śmigła obliczymy z wzoru:

$$T \times v = N \times \eta \dot{m} \quad (31)$$

gdzie:

T = siła pociagowa śmigła w kg

v = prędkość samolotu w m/sec

N = moc silnika

$\eta \dot{m}$ = sprawność śmigła; przyjmujemy 0.7¹¹⁾

$$T = \frac{N \times \eta \dot{m}}{v} = 840 kg \quad (32)$$

¹⁰⁾ Silnik Mercury-Bristol IV — S. 2 wedle danych fabrycznych zużywa 0.273—0.290 $kg/KM godz$; moc 505/590 KM .

Silnik Renault, 9.5 l objętości skokowej, 370 KM , wbudowany na jednym z Caudron'ów, typ 460, który ustanowił rekord światowy (505 $km/godz$), zużywał 310 $gr/KM godz$ [15].

¹¹⁾ Sprawność 2 śmigieł w układzie „tandem” jest większą niż sprawność pojedynczego śmigła [14]. Przyjmujemy jednakże dla wszystkich przypadków sprawność równą 0.7. Silnik „Fiat”, o którym mowa, był zaopatrzony w 2 śmigła „tandem”.

Zakładamy, że lot jest jednostajny, zatem ta siła pociągowa równoważy się z oporem aerodynamicznym samolotu. Gdy nasz samolot będzie posiadał silnik raketowy, to możemy przyjąć zgrubsza, że opór aerodynamiczny będzie taki sam; przyjęcie to może nie jest zupełnie słuszne, bo np. kadłub będzie miał inny kształt, ale do naszego rachunku ono zupełnie wystarczy. Aby samolot raketowy poruszał się z tą samą prędkością, co samolot z silnikiem dzisiejszym, to silnik raketowy, musi nam stale dostarczać siły równej oporowi aerodynamicznemu. Siłę pociągową rakiety obliczymy z wzoru (1), który nie jest zupełnie ścisły, jeżeli chodzi o ruch w powietrzu, lecz który do obliczeń praktycznych zupełnie wystarcza [4]. Po uzgodnieniu wymiarów:

$$P = mc = \frac{G}{g} c = 840 \text{ kg} \dots (1)$$

Z tego wzoru mamy G t. zn. ciężar wylatujących gazów w 1 sekundzie:

$$G = 3,760 \text{ kg} = 3760 \text{ gr.}$$

Biorąc stosunek benzyny do powietrza $= \frac{1}{18}$, widzimy, że na sekundę zużyjemy $\sim 209,0 \text{ gr}$ benzyny; lecz musimy jeszcze uwzględnić sprawność wewnętrzną rakiety (straty spalania) równą 0,7; rzeczywiste zatem zużycie benzyny:

$$B_r = \frac{209,0}{0,7} = \sim 298 \text{ gr/sek.}$$

Wydatki są prawie równe. To samo obliczenie przeprowadzone dla silnika Gnome et Rhone 14 Ksd. 760 K. M., wbudowanego na wojskowym samolocie „Super P. 24“, konstrukcji P. Z. L., rozwijającym $412 \text{ km/godz.} = \sim 114 \text{ m/sek}$, daje zużycie benzyny przez motor wybuchowy $\sim 61 \text{ gr/sek}$ przy $290 \text{ gr/K. M. godz.}$, siłę pociągową równą 355 kg przy $\eta_{im} = 0,7$, wreszcie górną równą 355 kg przy $m_{sm} = 0,7$, wreszcie zużycie benzyny przez silnik raketowy w ilości $\sim 120 \text{ gr/sek}$ przy $\eta = 0,7$. Jest różnica z powodu mniejszej prędkości samolotu; silnik raketowy zużywa 100% więcej. Zatem słusznym jest dążenie do zastosowania silnika raketowego dopiero od 200 m/sek t. z. 720 km/godz [4], lecz będzie to silnik o bardzo dużej mocy. Gdybyśmy chcieli zastosować silnik raketowy mniejszej mocy i rozwijać duże prędkości na dużych wysokościach, gdzie powietrze rzadsze i opór mniejszy, to może słusznym byłby projekt Valier'a [2] użycia na jednym samolocie napędu śmigło-silnikowego do lotu w troposferze i napędu raketowego do lotu w wyższych warstwach, napęd śmigło-silnikowy posłużyłby również do startu, gdyż z silnikiem raketowym start jest dosyć ciężki. Jednakże taki podwójny napęd zmniejszyłby bardzo udźwignięcie samolotu.

Jeżeli chodzi o ruch samolotu raketowego do góry celem osiągnięcia takich wysokości jak 30 do 40 km, to ruch samolotu w ciągu takiego lotu będzie ruchem zmiennym z powodu zmian gęstości powietrza i z powodu zmniejszania się ciężaru własnego samolotu o wyrzucony materiał pędny; tu w niektórych okresach lotu możnaby zastosować wyżej podane wzory (11) — (28). Tego rodzaju lot omawia dokładnie np. Dr. Sängner [1],

jeżeli chodzi o samolot raketowy, lub Prof. Oberth [2], jeżeli chodzi wogóle o raketę. Dr. Sängner [1] przyznaje, że w dolnych warstwach atmosfery sprawność samolotu raketowego przy locie do góry będzie wynosiła 4% (!), lecz za to w górnych warstwach będzie znacznie lepszą. Odnosnie do niektórych obliczeń Dr. Sängera, należy zaznaczyć, że Dr. Sängner w niektórych swoich obliczeniach przyjmuje stosunek paliwa do całkowitego ciężaru samolotu na początku lotu równy 0,6 a nawet 0,8. Jest to liczba bardzo duża, dzisiaj trudna do osiągnięcia; pozbawia takiego samolotu również nie mógłby udźwignąć żadnego ciężaru użytecznego poza materiałem pędym.

Jak widzimy, klasyczny napęd raketowy w zastosowaniu do lotnictwa, nie daje narazie pomyślnych wyników (nawet teoretycznie): na małych prędkościach mała sprawność, na dużych prędkościach w troposferze konieczność użycia bardzo wielkiej mocy, na dużych wysokościach t. z. w stratosferze konieczność dużego zapasu paliwa, przez co wartość handlowa czy bojowa takiego samolotu maleje do zera. Możliwym jest, że zadawalniające wyniki da wielokrotna dysza lub inne urządzenie, zwiększające masę i zmniejszające prędkość wylotowych gazów, lecz dotychczas urządzenia te nie dały pomyślnych wyników [1] i wogóle co do użyteczności ich panują bardzo rozbieżne sądy¹²⁾. Projekty budowania małych samolotów raketowych, o dużym obciążeniu jednostkowym i małym oporze, i nadawania im już na ziemi dużych prędkości przy pomocy specjalnych urządzeń (katapult) celem zaoszczędzenia na materiale pędym, o tyle są trudne do zrealizowania dzisiaj, że, spowodu tego, iż organizm ludzki nie znosi dużych przyspieszeń¹³⁾, te urządzenia startowe musiałyby być bardzo długie; pozbawia to dużą szybkość lądowania sprawiałaby nie małe trudności.

Możliwości zastosowania napędu raketowego w poszczególnych rodzajach lotnictwa.

Zbierając to wszystko, dochodzimy łatwo do następujących wniosków, dotyczących się zastosowania napędu raketowego w lotnictwie:

1. Lotnictwo komunikacyjne, handlowe, pocztowe i t. p.: Napęd raketowy wymaga dużych prędkości lotu i wysokości około 30—40 km. — Kwestią wpływu wysokości lotu na ekonomię transportu lotniczego zajmował się np. Bréguet (również Sikorsky); wnioski, dające się stąd wyciągnąć, ujmując krótko inż. T. C. Karpiński w ten sposób: „Przewidywanie możliwości lotnictwa stratosferycznego, rozwijającego maksymalnie o-

¹²⁾ Dla przykładu podam, że Dr. Sängner wypowiada raz [1] ujemny sąd o wartości zastosowania dyszy wielokrotnej, drugi raz [9] mówi, że „najprostszym sposobem polepszenia współczynnika sprawności zewnętrznej silnika raketowego jest zastosowanie injektora, przez który wysysałoby się powietrze z otoczenia, by następnie odrzucić je w tył“.

¹³⁾ Amerykańskie pomiary lotnicze przy wyrwaniu z lotu nurkowego wykazały, że przy przyspieszeniu równym $\sim 10 g$ występywały u pilotów objawy wstrząsu mózgu; dosyć spokojnie znosi organizm ludzki przyspieszenie 0,1 g, niewygodnie 0,1—1,0 g, zaś za granicę fizjologiczną uważa się 1 g [10]; piloci wojskowi wytrzymują przyspieszenie do 6 g.

siągalne szybkości przelotowe, i ekonomicznego jest — nawet w dalekiej przyszłości — mrzonką. Dlatego, biorąc pod uwagę nieekonomiczność ewentualnego transportu stratosferycznego (spełnialnie pasażerskiego), nie można nawet w dość odległej przyszłości przewidywać rozwiązania problemu b. szybkiego lotnictwa komunikacyjnego w stratosferze“ [11]. Stąd wniosek: przy dzisiejszym stanie techniki lotniczej napęd rakietowy nie znajdzie zastosowania w lotnictwie komunikacyjnym.

2. Lotnictwo bombardujące:

Projekt samolotu bombardującego z napędem rakietowym wysuwa np. Dr. Sängera; lot takiego samolotu miałby się odbywać na wysokości powyżej 40 km; po wyrzuceniu torpedo-bomb (chyba z tej wysokości, o czym należy wnioskować z układu zdań w artykule Dr. Sängera [9]) samolot wróciłby na swoje lotnisko; celowanie miałyby się odbywać przy pomocy specjalnych urządzeń (fale elektromagnetyczne?); orientacja astronomiczna. Biorąc pod uwagę: a) niedużą odległość (z punktu widzenia konstruktora raket), zachodzące przy nalotach samolotów bombardujących — około 1000 km; b) trudności, jakie się dzisiaj napotyka już przy bombardowaniu z wysokości 7.000—8.000 m (niedoskonałość dzisiejszych celowników); c) trudność orientacji z tak dużej wysokości i d) fakt, że wogóle dzisiaj znamy bardzo mało atmosferę na tych wysokościach, musimy dojść do wniosku, że projekty Dr. Sängera zastosowania napędu rakietowego do samolotów bombardujących są grubo przedwcześnie i nierealne przy dzisiejszym stanie techniki. Wniosek: napęd rakietowy w najbliższej przyszłości nie znajdzie zastosowania w konstrukcji samolotów bombardujących.

3. Lotnictwo wywiadowcze, towarzyszące i t. p.

Spowodu koniecznej dużej wysokości lotu dzisiejszy napęd rakietowy nie może być brany w rachubę. — Wniosek: przy dzisiejszym stanie techniki napęd rakietowy nie znajdzie zastosowania w lotnictwie wywiadowczym.

4. Lotnictwo myśliwskie:

Projekty zastosowania napędu rakietowego w lotnictwie myśliwskim spotykamy np. u Sängera [9], w artykułach czysto wojskowych [12] i t. p. Powody tego są następujące:

Wielka wojna światowa i powojenne manewry pokazały, że samolotom myśliwskim rzadko udawało się przeszkodzić nalatującym samolotom bombardującym w wykonaniu ich zadania. Samoloty myśliwskie bardzo często zjawiały się za późno, gdy nieprzyjacielskie samoloty już zrzuciły bomby.

Przewaga samolotu nalatującego leży w tym, że on a nie przeciwnik posiada inicjatywę, że on wybiera trasę przelotu, prostą, bez zboczeń, z jasno wytkniętym celem i t. p. Samolot myśliwski, broniący danego obiektu, musi najpierw wznieść się na odpowiednią wysokość, następnie znaleźć przeciwnika, wybrać odpowiedni rodzaj ataku w zależności od tego, w jakim szyku lecą nieprzy-

jacielskie samoloty i t. p. Nie wspominam już tutaj o złej pogodzie, która jest wybitnym sprzymierzeńcem nalatujących a wrogiem lotnictwa myśliwskiego. Albowiem lot w chmurach przy pomocy dzisiaj świetnie udoskonalonych przyrządów do ślepego pilotażu nie sprawia dużych trudności, ale znalezienie samolotu w chmurach jest bardzo trudne. Fakt ten zresztą jaskrawo ukazał się w czasie ostatnich manewrów angielskich [13] ¹⁴⁾. Dalej należy pamiętać o tem, że rozpiętość szybkości między samolotem bombardującym a myśliwskim od czasu wielkiej wojny światowej bardzo zmalała zamiast wzrosnąć. Wreszcie wysokość nalotów wzrosła do 7.000 m (ostatnie manewry angielskie) i fachowcy-lotnicy liczą się w przyszłej wojnie z możliwością nalotów stratosferycznych.

Jednym z warunków należytego spełnienia zadania przez pilota myśliwskiego jest zdolność osiągania dużych szybkości pionowych, t. z. dużych szybkości wznoszenia się. Jednakże dzisiejszy napęd śmigło-silnikowy nie pozwala na uzyskanie bardzo dużych szybkości wznoszenia się z rozmaitych powodów: spadek mocy silnika wybuchowego czy spalinowego z wysokością, mały współczynnik sprawności śmigła przy tych dużych obrotach, które są konieczne do utrzymania się i wznoszenia samolotu w powietrzu o małej gęstości, jakie znajduje się na dużych wysokościach i t. p. Np. czas wznoszenia się na 5.000 m uzyskiwany dzisiaj przez samoloty myśliwskie — około 4½ do 6 minut, pozwala samolotom bombardującym na przebycie w locie poziomym odległości 35—45 km, co jest bardzo dużo. Zastosowanie napędu rakietowego do takiego samolotu pozwoliłoby na pionowy lot i znacznie szybsze osiągnięcie dużych wysokości, choć z bardzo małą sprawnością (kilka procent). W tym jednym wypadku opłaci się zastosowanie napędu rakietowego w troposferze; Dr. Sängera podaje nawet projekt takiego samolotu [9], któryby wysokość 20 km osiągał w 4 minutach. Czas lotu — ½ godziny, a zatem bardzo krótki. Start z betonu, dosyć krótki; ciężar materiału pędnego ma wynieść 80% całkowitego ciężaru przy startowaniu.

Do popędu takich samolotów lepiej jest użyć materiałów ciekłych a nie prochu tak spowodu bezpieczeństwa (wypadek v. Opel'a) jak i spowodu możności łatwiejszej regulacji. Konstrukcja takiego silnika napotyka jednak na duże trudności ¹⁵⁾.

Wniosek: przy dzisiejszym stanie techniki napęd rakietowy może znaleźć zastosowanie w lotnictwie myśliwskim i zastosowanie go w tem lotnictwie pchnęłoby zagadnienie czynnej obrony przeciwlotniczej na inne tory.

5. Szybownictwo:

Projekty napędu rakietowego do startu szybowców (zamiast dotychczasowych lin gumo-

¹⁴⁾ Przytoczę jedno z końcowych zdań tego artykułu: „Zdaje się, że manewry dobitnie pokazały, że myśliwiec, gotowy do startu, który jednakże startuje dopiero po otrzymaniu meldunku od posterunków obserwacyjnych, ma małe widoki na wykonanie swojego zadania, t. zn. przeszkodzenia przeciwnikowi w bombardowaniu“.

¹⁵⁾ Pod uwagę bierze się tu produkty z ropy naftowej i tlen w stanie gazowym lub ciekłym [9].

wych) są dosyć stare i znane; również przy pomocy tego napędu można by przelatywać z komina do komina bez zbyteńnego zwiększania ciężaru szybowca. Pewne badania w tym kierunku były już robione, choć nie z celem przystosowania tego napędu tylko do celów szybownictwa, lecz wogóle celem zbadania, o ile napęd rakietowy nadaje się do zastosowania go w lotnictwie. [A. Lippisch] [16]. Sądząc jednak podług wyników otrzymanych i z opisów pilota Fr. Stamer'a, napęd ten mógłby w szybownictwie dać zupełnie dobre wyniki (z bardzo małą sprawnością).

Wniosek: napęd rakietowy może znaleźć zastosowanie w szybownictwie.

6. Lotnictwo bez załogi:

Oczywiście, powyższe wnioski nasze są ważne tylko dla samolotów z załogą; rakiety bez załogi możemy tak konstruować, by posiadały mały opór, i na początku już nadać im bardzo duże przyspieszenie¹⁶⁾. Rakiety bez załogi będzie można budować ze skrzydłami (samoloty raketowe) lub bez skrzydeł (pociski raketowe). Samoloty raketowe spowodu dużych prędkości lotu będą posiadały skrzydełka o bardzo małych rozmiarach. Tego rodzaju samoloty i pociski (sterowane falami elektromagnetycznymi)¹⁷⁾ z ładunkiem bomb (samoloty), ekrazytu, lub materiału palnego (pociski) będą mogły zachować swoją dużą początkową prędkość na wielkiej wysokości¹⁸⁾ dzięki nawet słabej reakcji gazów wylotowych i lecieć z dużym współczynnikiem sprawności zewnętrznej¹⁹⁾.

Wniosek: napęd rakietowy znaleźć może zastosowanie w lotnictwie bez załogi.

Kierunki badań rakietowych.

Wobec aktualności badań rakietowych i u nas w Polsce, widać już jasno, w jakich kierunkach one powinny iść:

1. Konstrukcja rakiet prochowych bez załogi ze skrzydłami lub bez (na wzór Goddard'a), celem budowy samolotów bez załogi i pocisków rakietowych; badania laboratoryjne i na poligonie. Jest to droga tańsza i łatwiejsza.

Badania w tym kierunku idące, powinny być prowadzone właściwie przez artylerzystów. Najprawdopodobniej samoloty bez załogi nie będą służyły do przewozu bomb, lecz same będą pociskami dużego kalibru. Badania należałoby prowadzić na podstawie gruntownej znajomości chemii materiałów palnych i balistyki. Konstruktor lotniczy ma tu bardzo małe pole działania.

¹⁶⁾ Pociski armatnie doznają w lufie przyspieszeń $\sim 18.500 \text{ m/sec}^2$ do 19.000 m/sec^2 .

¹⁷⁾ Valier [8] wspomina o rakietach prochowych Goddard'a, które osiągają wysokość ponad 100 km i odległość około 250 km. Rakiety te mogą — według Valier'a — być sterowane elektrycznie i lecieć po krzywiznach, by np. trafić lecący samolot.

Niedawno prasa doniosła o lotach angielskiego samolotu bez załogi, sterowanego przy pomocy fal elektromagnetycznych [17].

¹⁸⁾ Armatnie pociski dużego kalibru wznoszą się na wysokość $\sim 40.000 \text{ m}$; Gail [7] twierdzi, że do 100.000 m.

¹⁹⁾ Pociski raketowe należą właściwie do zagadnień artylerji.

2. Konstrukcja silnika raketowego na paliwo ciekłe, celem przystosowania go w przyszłości do samolotu myśliwskiego (na wzór np. Sängera); badania przedewszystkiem laboratoryjne a następnie na lotnisku. Jest to droga bardzo zmutna, kosztowna i długa²⁰⁾.

Badania należałoby rozpocząć od gruntownego studjum termodynamiki, procesów spalania, energii atomów (jak np. badania Pirquet'a) i t. d. Badania powinien prowadzić właściwie specjalista-termodynamik. Konstruktor lotniczy miałby pole do działania właściwie dopiero po skonstruowaniu silnika raketowego (odpowiedni dobór kształtu kadłuba, skrzydła, zmniejszenie prędkości lądowania i t. p.)²¹⁾.

3. Konstrukcja małych rakiet prochowych a ewentualnie później na paliwa ciekłe celem przystosowania ich do potrzeb szybownictwa (coś w rodzaju badań Lippisch'a); badania laboratoryjne i na szybowisku. Jest to droga najłatwiejsza i najprędzej (przy pomocy małych rakiet prochowych) będzie tu można osiągnąć wyniki.

Konstrukcja małych rakiet prochowych, oczywiście przy pewnej znajomości chemii materiałów palnych i posiadaniu odpowiednich urządzeń (prasy), nie będzie zbyt trudną. Konstruktor szybowcowy ma tu duże pole działania (umieszczenie rakiety, która, paląc się, daje pewien moment względem środka ciężkości szybowca); podobnie pilot szybowcowy, mając do dyspozycji kilka rakiet, różnej długości, może zapalić jedną z nich, kierując się przytem potrzebną długością ewentualnego przelotu z komina do komina oraz znajomością meteorologii lotniczej.

Literatura.

- [1] Dr. E. Sanger: Raketenflugtechnik. 1933.
- [2] Prof. Hermann Oberth: Wege zur Raum-schiffahrt. 1929.
- [3] Hohmann: Die Erreichbarkeit der Himmelskörper. 1925.
- [4] Inż. Bernadzikiewicz, Oderfeld, Sachs: Problem lotniczego silnika reakcyjnego. Technika samochodowa. Czerwiec 1933.
- [5] A. B. Scherschewsky: Die Rakete für Fahrt und Flug. 1929.
- [6] Hermann Noordung: Das Problem der Befahrung des Weltraums — Der Raketen-Motor. Berlin 1929.
- [7] O. W. Gail: Mit Raketenkraft ins Weltenall. Stuttgart. 1928.
- [8] Max Valier: Raketenfahrt. München und Berlin. 1928.
- [9] Dr. Ing. Eugen Sanger: Neuere Ergebnisse der Raketenflugtechnik. Verlag Zeitschrift „Flug“. Wien. 1934.
- [10] Inż. Czesław J. Kączkowski: Zagadnienie wygody w komunikacji pasażerskiej. Skrzydłata Polska. Nr. 8. Sierpień. 1935.

²⁰⁾ Oczywiście, że samoloty bez załogi również będą mogły być pędzone silnikiem raketowym na paliwa ciekłe.

²¹⁾ Badania silnika raketowego przeprowadzali w Polsce w r. 1933 inżynierowie Bernadzikiewicz, Sachs i Oderfeld, którzy skonstruowali 2 modele.

- [11] Inż. Tadeusz Cyga Karpiński: Zagadnienie lotnictwa stratosferycznego. *Skrzydłata Polska*. Nr. 2, 3, 5. 1934.
- [12] Leutnant z. S. Barjot: Das Jagdflugzeug im Luftschutz. *Luftwehr*. Nr. 6. 1934. Aktiver Luftschutz. (Aus: *Revue des Forces Aériennes*).
- [13] Die diesjährigen englischen Luftübungen. *Luftwehr*. Nr. 9. 1935.
- [14] M. Panetti: Sul rendimento delle eliche in tandem; *Aerotecn.* Bd. 14. N. 12 (XII. 34), S. 1365/1370 (6 S., F). Wzmianka: Zwei Treibschrauben hintereinander. *Luftwissen*. Nr. 4. 1935. E. Foku 350404.
- [15] Betrachtungen zu dem Rennen um die Coupe Deutsch de la Meurthe 1935. *Luftwissen*. Nr. 9. 1935.
- [16] A. Lippisch: Raketenversuche mit Flugzeugen und Flugzeugmodellen. *Z. F. M.* Heft 12. 28. Juni 1928. Str. 270—274.
- [17] Ferngesteuerte Zielflugzeuge. *Luftwehr*, Bd. 2. Nr. 7. 1935.
- [18] M. Schrenk: Probleme des Höhenflugs. Raketenantrieb für Höhenflugzeuge? *Z. F. M.* Heft 19. u. 20. (19. Jahrg. 1928). 7. Oktober 1928.
- [19] Inż. J. Tuszyński: Przystosowanie samolotu do lotów stratosferycznych. *Techniczne nowości lotnicze*. Styczeń 1936.

KRONIKA.

Odczyty wygłoszone staraniem Sekeji automobilowo - lotniczej Polskiego Towarzystwa Politechnicznego.

18. XI. 1935. Zbigniew L. Krzywobłocki „Teorie użycia i rozwój lotnictwa wojkowego“.

25. XI. 1935. Bolesław Wiśnicki „Rozwój lotnictwa na tle wystawy Medjolańskiej. (Październik 1935). Część I: Płatowce“.

2. XII. 1935. Jerzy Szablowski: „Rozwój lotnictwa na tle wystawy Medjolańskiej. (Październik 1935). Część II: Silniki“.

18. XII. 1935. Prof. Inż. Stanisław Łukasiewicz i Dr. Adam Kochański „Zdobycze i przyszłość szybownictwa na tle wyczynów polskich i zagranicznych“.

15. I. 1936. Inż. Wiesław Stępniewski „Techniczne zdobycze i kierunki rozwoju szybownictwa i lotnictwa słabosilnikowego“.

TREŚĆ: BIULETYN LABORATORJUM AERODYNAMICZNEGO. Dr. Inż. Zygmunt Fuchs: Wyniki badań aerodynamicznych płatowca „Pou du Ciel“. *Résultats des essais aérodynamiques de l'avion „Pou du Ciel“*. — Dr. Inż. Zygmunt Fuchs: Pomiarzy szybowców na wadze aerodynamicznej o sześciu składowych. Część II. *Essais des planeurs à la balance aérodynamique à six composantes*. — W. S.: Porównanie własności aerodynamicznych szybowca akrobacyjnego CW7 z własnościami szybowca akrobacyjnego „Sokół bis“. *Comparaison des qualités aérodynamiques du planeur d'acrobatie „CW 7“ avec les qualités du planeur d'acrobatie „Sokół bis“*. — Dr. Inż. Zygmunt Fuchs: Przykład liczbowy obliczenia współdziałania podłużnic w skrzydłach wolnonośnych metodą analityczną i analityczno-wykreslną. *Exemple numérique du calcul de la coopération des longerons dans les ailes en porte à faux par la méthode analytique et grapho-analytique*. — **BIULETYN INSTYTUTU TECHNIKI SZYBOWNICTWA.** † Adam Nowotny i Zygmunt Stefan Jabłoński: Pomiar stateczności statycznej podłużnej szybowców w locie. *Mesure en vol de la stabilité statique longitudinale des planeurs*. — Inż. W. Stępniewski i M. Piątek: Zastosowanie wykresów logarytmicznych w projekcie wstępnym szybowca. *L'application des diagrammes logarithmiques dans l'avant-projet d'un planeur*. — **PRACE NADESŁANE.** G. A. Mokrzycki: Wyważanie samolotów. *Le Centrage des avions*. — Zbigniew Leliwa Krzywobłocki: Możliwości zastosowania napędu rakietowego w lotnictwie. *Possibilités de l'application de la propulsion à fusée dans l'aviation*. — **KRONIKA.**



